

Rapport nr. 88.016

TFEM-målinger i Jomafeltet
sommeren 1987

Rapport nr. 88.016	ISSN 0800-3416	Åpen/Fortrolig til—
Tittel: TFEM-målinger i Jomafeltet sommeren 1987		
Forfatter: Jan S. Rønning		Oppdragsgiver: NGU/Grong Gruber A.S
Fylke: Nord-Trøndelag		Kommune: Røyrvik
Kartbladnavn (M. 1:250 000) Groning		Kartbladnr. og -navn (M. 1:50 000) 1924 I Jomafjellet
Forekomstens navn og koordinater: Joma syd 4471 71821		Sidetal: 116 Pris: kr. 155,- Kartbilag: 1
Feltarbeid utført: 15.06.-02.07.87	Rapportdato: 01.02.1988	Prosjektnr.: 1921.00.32 Seksjonssjef: <i>Jan S. Rønning</i>
Sammendrag: Det er utført TFEM-målinger langs 5 profiler syd i Jomafeltet. Hensikten med dette var tredelt; en ønsket en langtidstest av det nye instrumentet, en ønsket å sammenligne ulike energiseringsformer og det var av interesse å se om en kunne påvise nye ledende soner i feltet. Instrumentet viste seg å være driftssikkert, og de parametre som måles synes å være relevante. Påviste svakheter synes ikke å være vesentlige. Studie av responsen fra forskjellige kabelutlegg viser at energiseringsformen må velges med omtanke. TFEM-målingene bekrefter tidligere påviste anomalier og det fremkom nye interessante informasjoner om ledende strukturer.		
Emneord	Bakkemåling	
Geofysikk	Malmforekomst	
Elektromagnetisk måling		Fagrappo

INNHOLD

	Side
1. INNLEDNING	5
2. TIDLIGERE UNDERSØKELSER	5
3. METODE OG UTFØRELSE	6
4. RESULTATER OG TOLKNING	9
4.1. Tidsdomene-data	9
4.2. Frekvensdomene-data	12
5. DISKUSJON	13
5.1. Instrumentelt	14
5.2. Energisering	16
5.3. Geologisk	18
6. KONKLUSJONER	21
6.1. Instrumentelt	21
6.2. Energisering	21
6.3. Geologisk	21
7. REFERANSER	23

TEKSTBILAG

Bilag 1: Kort instrumentbeskrivelse NGU-TFEM
2: Detaljert liste over tegninger

TEGNINGER

Tegning 1-38: TEM Profilene A, B, C, D og E
39-57: Re og Im 25 Hz Profilene A, B, C, D og E
58-66: Re og Im 25 Hz Profilene A+B+C+D+E

67-82: Primærfeltdata Profilene A, B, C, D og E

83-86: Vo/Re 25 Hz Profilene A+B+C+D+E

88.016-01: Oversikts- og tolkningskart TFEM 1987

1. INNLEDNING

I et samarbeid med Grong Gruber A/S utførte NGU TFEM-målinger (Time and Frequency domain Electro Magnetic) i Jomafeltet sommeren 1987. Hensikten med dette var først og fremst å teste ulike energiseringssmetoder mot hverandre, og samtidig vurdere instrumentets driftssikkerhet over lengre tid. Dernest var det av interesse å se om metoden kunne gi supplerende informasjon til bruk ved prospekteringen i feltet. Med dette for øyet blir denne rapporten i hovedsak en oppsummering av erfaringer. Geologisk informasjon blir forsøkt trukket ut, men med de store datamengder som foreligger er dette en enorm oppgave. De viktigste og mest markerte trekk blir kommentert, mens detaljer blir i denne sammenheng oversett. En anbefaler derfor at rapporten benyttes som et oppslagsverk, og at spesielle forhold som ønskes belyst tas opp med forfatteren.

2. TIDLIGERE UNDERSØKELSER

I Jomafeltet er det tidligere utført en lang rekke geofysiske undersøkelser. I det aktuelle området for TFEM-målingene (se oversiktskart, tegning 88.016-01) ble det ved NGUs tidligere turammålinger ikke påvist anomalier (Singsaas 1963). Nyere turammålinger (Elvebakk 1984, Elvebakk & Lile 1985) indikerer en leder ved koordinat A-1350, og denne strekker seg mot sørvest. Ved Syscal-EM-målinger påvises ledende soner i flere nivå (Elvebakk & Lile 1986a, 1986b og 1987).

Ved testmålinger med NGU TFEM høsten 1986 (Rønning 1987a) ble det benyttet en relativt liten sløyfe (1200 m x 700 m). Ved disse målingene ble det svakt indikert en leder ved koordinat A-1350. Forsøk med konduktiv energisering langs profil A viste starten på en meget klar anomali, men målingene måtte avbrytes på grunn av

strømsvikt. Med utgangspunkt i dette var det av interesse å studere effekten av forskjellige energiseringssmetoder.

I NGU regi er det tidligere utført CP-målinger i feltet (Kihle 1979, Rønning 1981). Ved disse målingene fremstår Lindset skjerp som en grunn plate isolert fra hovedmalmen, mens det ellers i feltet ble påvist god kontakt mellom de kjente elektriske lederne. Samtidig med TFEM-målingene ble det utført elektriske målinger sentrert om en nylig funnet massiv kismineralisering lengst sør i feltet (Rønning 1987d). Ledningsevnemålinger i borhull viser her meget kompliserte elektriske forhold med flere godt ledende horisonter over hverandre.

Det er også utført VLF-, AMT- og magnetiske målinger i Jomafeltet, men undertegnede kjenner ikke til detaljene ved disse målingene.

3. METODE OG UTFØRELSE

En kortfattet beskrivelse av NGU TFEM er gitt i bilag 1. En mer utførlig beskrivelse er gitt i en forskningsrapport (Qian 1988).

Måleopplegget ved TFEM-målingene i 1987 er vist i tegning 88.016-01. Det ble målt med en induktiv og tre konduktive utlegg; Loop (L), Grounded North (GN), Grounded South (GS) og Grounded Free (GF). Ved "Loop" ble hele sløyfen (ca. 1800 m x 2000 m) benyttet, og målingene ble foretatt hovedsakelig inne i sløyfen. Ved "Grounded North" og "Grounded South" ble det jordet i dagbruddet (E1) og i et tjern lengst i vest (E2), og en benyttet henholdsvis nordlige og sørlige del av sløyfen. Tabell 1 viser hvilke deler av profilene A, B, C, D og E som ble målt ved de enkelte utleggene.

Profil	Loop	Grounded North	Grounded South
	Fra-Til	Fra-Til	Fra-Til
A	100-1800	100-1850	100-1800
B	150-2000	-50-2000	100-1700
C	100-1700	100-1950	-500-1750
D	100-1250	100-1600	-500-1400
E	100-1100	100-1500	-500- 650

Tabell 1: Oversikt over målte profiler.

For å studere betydningen av å ha strømmen koblet direkte til malmsonen ble E1 skiftet ut med en fri elektrode (Grounded Free). En benyttet her elektrodene E0 og E2 og den nordlige delen av kabelsløyfen (se tegning 88.016-01), og profil A ble målt fra koordinat 100 til koordinat 1850.

Tabell 2 viser vitale parametre som strømstyrke (I), motstand i kabelutlegg (R), "trailing edge" (IT) og forskjell i synkronisering mellom sender og mottaker (FT). For sammenligning presenteres både data ved oppstart og avslutting av måledagene. Energisering L, GN, GS og GF refererer til de ulike kabelutlegg.

Målepunktavstanden var hovedsakelig 50 meter med unntak for profil B, som ble målt med 25 meters punktavstand over Lindseth skjerp. Punkter en visste gav forstyrrelser på grunn av kraftlinje, ble utelatt.

Kabelsløyfen ble etablert i løpet av en dag av 4 mann (Qian, Rønning og to assistenter fra Grong Gruber A/S). Ryddingen krevde en noe større innsats. Målingene ble i sin helhet utført av Bin Qian under tildels fuktige værforhold. Instrumentet fungerte meget bra, og bortsett fra en dårlig kontakt mellom coil og mottaker, som ble rettet raskt, hadde en ikke nevneverdige problem. I løpet av 11 effektive arbeidsdager ble ca. 640 stasjoner målt, dvs. ca. 60 stasjoner pr. dag.

Dato	Starttid	Sluttid	Energisering	I (A)	R (ohm)	IT (us)	FT (us)	Merknad
17.06.	08.57	14.55	L	3.5 3.5	59.1 57.5	331 338	0 + 2	
18.06.	08.25	15.05	L	3.5 3.5	59.1 59.4	335 331	+1 -12	
19.06.	08.10	14.05	L	3.6 3.5	57.5 59.4	336 331	0 - 8	
22.06.	08.25	15.35	L	3.4 3.4	60.8 61.1	321 323	0 -25	FF=400 ved slutt
24.06.	08.30	15.15	GN	1.7 1.8	121.1 115.0	73 75	+2 +13	
25.06.	09.30	15.16	GN	1.7 1.8	121.1 115.0	74 75	+1 + 4	
26.06.	08.30	15.06	GN	1.8 1.8	114.4 115.0	75 78	0 - 6	
27.06.	08.15	ikke sjekket	GN	1.8	114.4	76	0	
28.06.	08.30	15.05	GS	1.5 1.5	137.2 137.2	87 87	+1 0	
29.06.	08.35	15.10	GS	1.5 1.5	136.6 137.2	87 85	+1 ?	
30.06.	08.30	14.55	GS	1.5 1.6	136.6 129.4	87 86	0 ?	
01.07.	11.45	15.00	GF	1.2 1.2	172.5 159.3	69 70	0 ?	

Tebell 2: Variassjoner i vitale senderparametre (jfr. teksten).

4. RESULTATER OG TOLKNING

Resultatene fra målingene presenteres som profilkurver i tegningene 1 til 86. Bilag 2 gir en detaljert oversikt over hva de enkelte tegningene fremstiller. Samtlige data er overført til NGUs HP3000 dataanlegg, og prosessert med programpakken TFEM (Rønning 1988). Kurvene er plottet med programsystemet GEOPROG (Kammen m.fl. 1986). Figurene er redusert ned til 70%, og alle angivelser av oppløsning skal derfor være "0.7 CM PÅ KURVEN TILSVARER ...".

I de enkelte tegningene er det benyttede kabelutlegg markert med •, kraftlinje med T og utlagt kabel for CP-målinger med T. Anomalier indikeres med piler, og pilenes retning avspeiler variasjon i strømretning. Dypanomalier er nummerert, og de samme numrene går igjen i tabellene 3 og 5 og i tegning 88.016-01.

4.1. Tidsdomene-data

Kanalene i tidsdomenet (V1-V7 og H1-H7) er multiplisert med bestemte faktorer (angitt i tegningene), og presentert samlet med samme oppløsning langs Y-aksen. Ved de forskjellige kabelutlegg er det benyttet samme faktorer, men oppløsningen langs Y-aksen varierer (Loop+GN: 200 uV/cm, GS+GF: 50 uV/cm).

Indikerte dypanomalier fra målingene i tidsdomenet (transiente kanaler) er plottet i tegning 88.016-01. Anomalinummer refererer til tabell 3 hvor det gis en oversikt over lokalisering, energisering, hvilke kanaler som gir anomali, gradering av anomalistyrke og tolket dyp i meter. Ved dybdetolkning er tradisjonelle metoder for tolking av turamanomalier benyttet, og en har valgt den kanal som tilsynelatende gir "renest" anomali. Under merknad er det angitt om anomalien er forstyrret fra andre anomalier eller kabelutlegg, om profilet er målt for kort, eller om målingene er

beheftet med støy. Kurveforløpet for alle profilene indikerer tur- og returstrømmer som kan være forårsaket av en ledende plate i dypet. Der anomaliene kan være forårsaket av kartstrømmer på samme plate blir dette indikert med "PAR?". Usikkerheten for øvrig er merket med "?".

NR.	PROFIL	KOORD.	ENERG.	KANALER	GRADERING	Ca.	DYP	MERKNADER
1	A	1350	L	V3-V6, H3-H6	Sterk		225	
2	A	1350	GN	V2-V7, H1-H7	Sterk		175	
3	A	1250?	GS	V1-V7, H1-H7	Middels	175		Forstyrret
4	A	1350	GF	V3-V5, H3-H5	Svak	225		
5	B	1350	L	V3-V6, H3-H6	Sterk	250		
6	B	1350	GN	V1-V7, H2-H7	Sterk	275		
7	B	1300	GS	V2-V7, H3-H7	Middels	175		Forstyrret
8	C	1350	L	V3-V6, H1-H7	Middels	175		
9	C	150?	L	V4-V6, H1-H7	Middels	?		For kort } Par?
10	C	1300	GN	V2-V7, H2-H7	Middels	250		
11	C	100?	GN	? , H2-H7	Middels	?		For kort } Par?
12	C	1150	GS	V4-V7, H3-H6	Svak	200		Støy }
13	C	100	GS	V4-V6, H5-H6	Svak	300		Støy } Par?
14	D	1200	GN	V3-V5, H3-H6	Svak	200		
15	D	200?	GN	? , H2-H5	Svak	?		For kort } Par?
16	D	?	GS	? , H5-H6	Svak	?		Forstyrret }
17	D	250	GS	? , H4-H6	Svak	?		Forstyrret } Par?
18	E	200?	L	V1-V6, H1-H7	Sterk	>250		For kort
19	E	200?	GN	V2-V5, H2-H6	Sterk	>250		For kort
20	E	250	GS	V5-V6, H5-H6	Svak	?		Støy

Tabell 3: Oversikt over dypanomalier i tidsdomenet (jfr. teksten).

Grunne anomalier ($d < 30$ m) er kun plottet i tegning 88.016-01. Dette gjelder også anomaliene over mineraliseringen i Lindseth skjerp som fremstår som en grunn plate med svakt fall mot sørøst (dobbeltanomali).

Beregnet tidskonstant på "decay"-kurve for de enkelte dypanomaler er vist i tabell 4. Pr.nr. 1 til 5 refererer til profilene A til E, H/V angir om tidskonstanten er beregnet på grunnlag av horisontal- eller vertikalkomponent, mens Tn er tidskonstant beregnet mellom kanal n og n+1 (n=1-6). Størrelsene 8888 og 9999 er koder for uregelmessigheter i "decay"-forløpet (målt verdi stiger med måletiden eller skifter fortegn).

Prnr	Koord	H/V	Gruppe	T1	T2	T3	T4	T5	T6	
1	1350	H	0	.29	1.50	.43	.68	1.18	2.92	L
1	1100	V	0	.67	.35	.84	.79	1.35	3.03	
1	1350	H	0	.53	.43	.43	.69	1.23	2.85	
1	1100	V	0	1.04	.68	.58	.75	1.35	3.02	
1	1200	H	0	9999.00	8888.00	.25	1.37	1.99	3.45	
1	1450	V	0	.13	.21	.29	.66	1.66	3.96	GS
1	1300	H	0	.19	1.08	.28	.70	1.37	4.51	
1	1100	V	0	.30	.30	.59	.68	1.20	2.46	GF
2	1350	H	0	.23	.38	.42	.63	1.19	3.34	
2	1250	V	0	8888.00	.90	.61	.80	1.44	3.37	L
2	1350	H	0	.55	.38	.42	.67	1.24	3.05	GN
2	1050	V	0	8888.00	.54	.54	.66	1.16	2.65	
2	1300	H	0	9999.00	1.09	.50	5.57	1.76	3.19	GS
2	1500	V	0	.10	.13	.29	.81	2.93	4.46	
3	1400	H	0	.15	.30	.44	.61	1.30	3.75	
3	1200	V	0	.22	.36	.55	.77	1.61	3.44	L
3	1300	H	0	.42	.34	.36	.62	1.27	3.28	
3	1150	V	0	11.42	.64	.66	.75	1.34	2.75	GN
3	1150	H	0	9999.00	8888.00	3.48	9.11	1.75	3.05	
3	1300	V	0	.09	.10	.23	.40	8.44	19.54	GS
4	200	H	0	.15	.25	.26	.58	1.35	2.98	
4	100	V	0	9999.00	8888.00	.32	.81	1.88	2.89	L
4	1200	H	0	.37	.35	.34	.54	1.09	3.58	
4	1000	V	0	.75	.90	.37	.60	1.07	2.65	GN
4	200	H	0	.21	.20	.27	.53	1.14	2.38	
4	250	V	0	.15	.21	.33	.53	1.55	3.99	GN
4	200	H	0	.13	.10	9999.00	2.32	9999.00	9999.00	GS
4	0	V	0	.27	.43	.34	.63	1.06	4.45	
5	150	H	0	.20	.27	.26	.61	1.42	3.11	
5	400	H	0	.56	.42	.31	.60	1.16	2.29	L
5	400	V	0	.20	.24	.35	.59	1.85	4.23	
5	200	H	0	.12	.21	.30	.50	1.09	2.31	
5	400	V	0	.14	.20	.37	.53	1.49	3.58	GN
5	250	H	0	.10	.15	9999.00	8888.00	.40	9999.00	
5	0	V	0	.84	.36	.39	.65	1.22	3.15	GS

Tabell 4: Beregnede tidskonstanter (jfr. teksten).

4.2. Frekvensdomene-data

Reell- og Imaginærkomponent for målingene i frekvensdomenet ved 25 Hz er beregnet ut fra kanalene V8 og V9, og normalisert mot beregnet teoretisk felt fra det aktuelle kabelutlegget. "Multi frequency"-totalfelt er beregnet ut fra kanalene V0 og H0, og dette pluss V0 er normalisert mot teoretisk felt fra kabelutlegget. Vinkelen ALFA er også beregnet ut fra kanalene V0 og H0, og denne størrelsen angir vinkelen mellom vertikalkomponent og totalfelt. For å skille mellom forskjellige anomalier er V0 (multi frequency) også normalisert v.h.a. Re 25 Hz.

På samme måte som for tidsdomene-data er alle sikre anomalier i frekvensdomenet plottet i tegning 88.016-01. Anomalinummer refererer til tabell 5 hvor det gis en oversikt over lokalisering, energisering, hvilke frekvenser som anomalien trer frem på, gradering av anomalistyrke og tolket dyp i meter (tradisjonelle metoder). Under merknad angis om anomalien er forstyrret av grunne anomalier eller kabelutlegg, om profilet er målt for kort, eller om kurveforløpet er sammensatt av flere dypanomalier.

NR.	PROFIL	KOORD.	ENERG.	FREQ.	GRADERING	Ca.DYP	MERKNAD
21	A	1350	GN	25	Sterk	275	
22	A	1350	GS	25	Middels	300?	Forstyrret, støy?
23	A	1000?	GF	25	Svak	400	Tvilsom anomalie
24	B	1350	GN	25	Sterk	250	
25	B	1350	GS	25	Middels	>300?	Forstyrret
26	C	1350	GN	25	Middels	350	
27	C	1300	GS	25	Middels	>350?	Forstyrret, støy?
28	D	1200	GN	25	Svak	300?	Forstyrret
29	D	1200	GS	25	Middels	>250	For kort
30	E	350	GN	25	Middels	300?	For kort
31	A	1400	L	MULTI	Middels	250	Sammensatt
32	B	1400	L	MULTI	Middels	275	Sammensatt
33	C	1300	L	MULTI	Middels	300	Sammensatt
34	D	?	L	MULTI	?	?	Sammensatt
35	E	350?	L	MULTI	Svak	250	
36	A	1350	L	MULTI/25	Middels	200?	Støy
37	B	1350	L	MULTI/25	Middels	200?	Støy
38	C	1300	L	MULTI/25	Svak	200?	Sammensatt
39	D	?	L	MULTI/25	?	?	
40	E	350	L	MULTI/25	Svak	225	

Tabell 5: Oversikt over dypanomalier i frekvensdomenet (jfr. teksten).

5. DISKUSJON

Siden denne rapporten beskriver både en utprøving av NGUs TFEM-instrument, bruk av ulike energiseringsopplegg og tolkning av de fremkomne data, blir diskusjonen delt i tre. For å ha utbytte av den instrumentelle diskusjonen kan det være nødvendig å kjenne instrumentets virkemåte (se bilag 1 og Qian & Rønning 1988).

5.1. Instrumentelt

Forut for den ca. tre uker lange utprøvingen i Jomafeltet var det gjort mindre forbedringer på instrumentet basert på erfaringer fra målingene i 1986. Disse viste seg å være vellykkede, og generelt kan en si at instrumentet fungerte meget bra til tross for fuktige værforhold i store deler av måleperioden.

En kontroll av vitale senderparametre (tabell 2) viser at strømstyrken varierer noe i takt med variasjoner i kabelutleggets motstand. Denne variasjonen skyldes ulik avkjøling av kabelutlegget ved ulike værtypen. Ved hurtig avkjøling/oppvarming av utlegget vil en kunne få falske anomalier, men disse vil være små (avvik mindre enn 5%).

Variasjonen i motstand påvirker tiden for avbrytningen av strømmen (trailing edge, IT) ubetydelig (maksimum 4%), men denne variasjonen påvirker i sin tur synkroniseringen mellom sender og mottaker (FT). Den største variasjonen i synkronisering (0->25 us se tabell 2) er i hovedsak forårsaket av drift i frekvensen på oscillatorene i sender og mottaker (FF=400). Feilen som her introduseres kan være av betydning for de to første transiente kanalene, men i praksis vil dette være overlagret langt sterkere "geologisk støy". For de senere transiente kanalene er feilen som variasjoner i synkronisering forårsaker, neglisjerbar.

Alle feil som introduseres på grunn av variasjon i kabelutleggets motstand, kan unngås ved å bygge inn en reguleringskrets som varierer effekten ut på kabelen i takt med motstandsvariasjonen. Dette ble vurdert høsten 1987, men på grunn av tidspress for stipendiat Bin Qian ble dette ikke realisert. I praksis er feilen som oppstår liten, og instrumentet kan uten problemer benyttes slik det er i dag.

Hvor mange kanaler som kan registreres ved et slikt utstyr er i prinsippet ubegrenset. Det vil imidlertid være en øvre grense

for hva som er praktisk, og en må velge hvilke parametere en ønsker å måle. Ved utviklingen av NGU TFEM ble det valgt å satse på simultan måling av horisontal- og vertikalkomponent i tidsdomenet og i tillegg 4 kanaler i frekvensdomenet. Erfaringen har vist at dette har sine fordeler.

Målingene i Joma har vist at kombinasjonen av horisontale- og vertikale data i tidsdomenet er viktig for tolkningen av anomaliene. I andre områder hvor en har mer steiltstående ledere med varierende fall, er det trolig enda viktigere å ha informasjon fra horisontalfeltet ved tolkning av fall.

Andre utrustninger det er naturlig å sammenligne med (Geonics EM-31, SIROTEM, Crone PEM) har flere vertikale kanaler i det samme tidsspektret som NGU TFEM dekker. For vanlig profilering er dette ikke nødvendig da de anomalier som hittil er påvist (se også Rønning 1987a, b og c) kommer frem på flere av de transiente kanalene. Ved dybdesondering og beregning av tidskonstant for forskjellige ledere er det nødvendig å ha flere kanaler. NGU tok konsekvensen av dette høsten 1987, og da ble hele måleprosessen omprogrammert slik at en kan velge mellom tre forskjellige kanalgrupperinger (Qian & Rønning 1988). Ved å måle med alle disse tre kan en få 21 kanaler i det samme tidsintervallet hvor en tidligere hadde 7 kanaler.

Målingene i frekvensdomenet (25 Hz) med induktiv energisering (Loop) viser klare anomalier på kantstrømmer over en ledende plate blottet i Lindseth skjerp (se figur 44). Tilsvarende anomalier påvises også ved jordet kabel (figurene 46 og 48). Dette er meget interessant da det på forhånd var reist tvil om en kunne registrere induserte strømmer ved så lav frekvens. Som det fremgår av diskusjonen under pkt. 5.3 gav målingene ved 25 Hz informasjon som ikke fremgår av transientkanalene. Ved tidligere målinger på Mofjellet (Rønning 1987c) har en erfart tilsvarende. Det synes derfor klart at målingene ved 25 Hz er av stor betydning.

De to primærfeltkanalene (V_0 og H_0) har ikke gitt vesentlig informasjon ut over det transiente kanaler har gitt. Riktignok er det ved konduktive energiseringer fremkommet dagnære anomalier som ikke kan finnes igjen på andre kanaler, men disse vurderes i denne sammenheng som uvesentlige (geologisk støy).

5.2. Energisering

TFEM-målinger med induktiv energisering langs profilene A, B og D sommeren 1986 gav ingen klare anomalier der en på forhånd hadde turamanomalier (Rønning 1987a). Ved tilsvarende målinger i 1987 påvises klare anomalier i tidsdomenet, og delvis også i frekvensdomenet. Årsaken til denne forskjellen ligger trolig i kabelutleggets størrelse og plassering. I 1986 ble en mindre kabelsløyfe (ca. 700 x 1200 meter) til side for anomalien benyttet mens det i 1987 ble benyttet et utlegg som omringet hele målefeltet (ca. 1800 x 2000 meter). Forskjellen i resultatene viser at en ikke skal være redd for å legge litt arbeid i utleggingen av kabelsløyfe.

Ved de første målingene i 1986 ble det antydet at konduktiv energisering kunne gi langt bedre resultat enn det induktiv energisering viste, og målingene i 1987 bekrefter dette. Ved å benytte nordlige del av kabelsløyfen som jordet kabel (Grounded North) påvises meget klare anomalier både i tidsdomenet og i frekvensdomenet.

For å øke forståelsen av de resultatene målingene i Joma har gitt, kan det være nyttig å analysere hvilke mekanismer som virker når sekundære strømmer settes opp i ledende soner. En kjener til at ved induktiv energisering vil magnetfeltet direkte indusere kantstrømmer i ledende plater, og her er geometrien vesentlig for hva en oppnår. Erfaringer fra turammålinger har vist at for bakkemålinger kan dette påvises bare for grunne

plater i relativt liten avstand fra kabelutlegg (P. Singsaas, personlig meddelelse). Magnetfeltet rundt en kabel på bakken vil også indusere strømmer i berggrunnen, og disse har en tendens til å samle seg i bedre ledende strukturer (induserte samlestrømmer). Ved jordede kabelutlegg vil en i tillegg til induerte strømmer ha galvaniske strømmer som løper i bakken fra elektrode til elektrode, og som også vil samles i ledende soner (konduktive samlestrømmer).

Anomaliforløpet i tidsdomenet er svært likt for "Loop" og "Grounded North", og det kan synes som om det er samme energiseringsmekanismer (induktiv energisering) som er dominerende. Dette bekreftes av at "Grounded South", som har samme jordingspunkter som "Grounded North", gir helt forskjellige kurver i tidsdomenet. Dersom induktiv energisering var enerådende burde "Grounded North" og "Grounded Free" langs profil A gitt identisk kurveform, men med noe svakere anomalier på "Grounded Free" (lavere strømstyrke, se tabell 2). Kurveformen er imidlertid delvis forskjellig, og "Grounded Free" gir uforholdsmessig svake anomalier. Det kan ut fra dette synes som om konduktive samlestrømmer også har en viss innvirkning på anomaliforløpet i tidsdomenet.

I frekvensdomenet ved 25 Hz vises en klar forskjell mellom induktiv energisering (Loop) og de tre konduktive energiseringene. Alle målingene med induktiv energisering (25 Hz og multifrekvens) viser anomalier på ledende materiale på dypet (se f.eks. figur 39). Om dette er en sammenhengende plate med kantstrømmer eller to separate ledere med induktive samlestrømmer er ikke mulig å skille. Ved jordede utlegg synes det klart at konduktive samlestrømmer er hovedårsak til dypanomaliene. Om en sammenligner "Grounded North" og "Grounded South" som har samme jordingspunkt, finner en imidlertid klare forskjeller, og dette betyr at også her er induerte strømmer inne i bildet. Dagnære induerte strømmer indikeres klart over Lindseth skjerp (Grounded North, figur 46). "Grounded free" (profil A, figur 42) gir svært svake anomalier

ved 25 Hz, og årsaken til dette ligger trolig i at strømmen følger den underliggende grafittførende fyllitten som er blottet like nord for E0 (se tegning 88.016-01).

Som en oppsummering av denne diskusjonen kan en si at i tidsdomenet synes induktiv energisering å være dominerende uansett konduktiv eller induktiv energisering. I frekvensdomenet er forskjellige mekanismer i virksomhet ved de to ulike energiseringsformene. Ved å variere energiseringsform, og å måle både i tids- og frekvensdomenet kan en derfor høste maksimal informasjon om ledende strukturer i undergrunnen. Forskjellen i respons mellom ulike kabelsløyfer og ulike jordede utlegg viser at det ikke er likegyldig hvilken energiseringsform som velges og heller ikke hvordan disse organiseres.

5.3. Geologisk

Lokalisering av påviste anomalier ved TFEM-målingene fremgår av tegning 88.016-01. Detaljer omkring de enkelte anomaliene fremgår av tabellene 3, 4 og 5. Tidlige påviste turamanomalier langs profilene A og B bekreftes ved TFEM-målingene og i tillegg påvises enkelte nye anomalier. Det kan også påvises god korrelasjon mellom TFEM-anomalier og anomale soner ved SYSCAL-EM-dybdesonderinger (Elvebakk & Lile 1987).

Ved de ulike energiseringsmetodene som ble benyttet opptrer noe sprik i lokalisering og tildels stor spredning i tolket dyp (tabellene 3 og 5). Årsaken til dette ligger trolig i den kompliserte ledergeometrien de elektriske målingene i 1987 avdekket (Rønning 1987d), og at de ledende strukturene energiseres forskjellig ved forskjellige måleopplegg. Ut fra dette kan en også konkludere med at de ulike anomaliene i ulik grad kan være sammensatte responser fra flere ledere.

I oversikten over beregnede tidskonstanter for dypanomaliene (tabell 4) er T6 den mest interessante. Generelt kan en si at T6 er jevnt over høy, noe som indikerer relativt god ledningsevne i det materialet som forårsaker anomaliene. Verdiene viser imidlertid en viss spredning, og i enkelte tilfeller er det ikke mulig å beregne denne tidskonstanten på grunn av uregelmessig "decay-kurve". Også her kan årsaken til sprik i dataene tilskrives komplisert ledergeometri, og for målingene i Joma har derfor de beregnede tidskonstanter begrenset informasjonsverdi.

Det mest interessante ved TFEM-målingene i Joma er et systematisk kurveforløp som gjentar seg på alle profilene. Minst forstyrret av grunne anomalier fremstår dette langs profil C. Ved de vertikale transiente kanalene (figurene 21 og 23) indikeres en klar strømkonsentrasjon ved ca. koordinat 1300. Den vertikale feltstyrken opprettholdes mot nord, og det indikeres en strømkonsentrasjon med motsatt retning ved ca. koordinat 150. Dette anomaliforløpet bekreftes av horisontalfeltet som også viser strømkonsentrasjoner med motsatt fortegn ved de to nevnte koordinater (figurene 22, 24 og 26). Disse anomaliene kan forklares ved at de to indikerte strømkonsentrasjonene utgjør kantene av en sammenhengende plate på dypet, men forløpet kan også forklares som to separate ledere som samler induktive strømmer i bakken (jfr. pkt. 5.2.).

Resultatene fra målingene i frekvensdomenet langs profil C er i samsvar med tolkningen av tidsdomene-data, men det kan synes som om målingene ved 25 Hz gir anomali på enda dypere strømkonsentrasjoner (se tabell 5). V0 og beregnet totalfelt (figur 74) indikerer det samme forløpet som 25 Hz, men i tillegg en noe grunnere anomali ved koordinat 1300. Den beregnede størrelsen ALFA som i hovedsak er styrt av horisontalfeltet (H_0), indikerer en dobbelt-anomali av samme form som de horisontale transiente kanalene. I et forsøk på å fremheve den grunnere anomalien på V0 er denne kanalen normalisert mot reellkomponenten av 25 Hz. Disse beregningene for induktiv energisering er fremstilt samlet i

figur 83, og for profil C's vedkommende indikeres klart en anomali ved ca. koordinat 1300. Kurveformen indikerer en dyp strømkonsentrasjon mot nord, men lokaliseringen er her usikker.

De særtrekk som her er påvist ved anomaliforløpet langs profil C kan også gjenkjennes på de øvrige profilene, men lengst i nord på profilene A og B og lengst i sør på profilene D og E er forløpet delvis kamuflert av dagnære anomalier. I tillegg ligger den nordlige delen av kabelutlegget for nært anomaliene. Som tidligere diskutert kan anomaliforløpet forklares enten som en sammenhengende plate med kantstrømmer, eller som to separate ledere som samler induktive strømmer. Det faktum at konduktive samlestrømmer i frekvensdomenet ved 25 Hz konsentreres i sydlige ledersystem taler for to separate ledere, men dette kan også skyldes bedre ledningsevne i dette området. For å avklare dette nærmere anbefales ytterligere ledningsevnemålinger i borhull.

For oppdragsgiver ble det antydet at området nord-øst for Rundhaugen var et interessant område forprospektering. Av praktiske grunner var det ikke mulig å innlemme dette i kabelsløyfen, men profilene C, D og E ble forlenget med "Grounded South" som energisering. Dette utlegget viser generelt svake anomalier, og spesielt i det aktuelle området ved Rundhaugen kan det ikke påvises klare anomalier. For å få en sikker avklaring om det finnes ledende strukturer i dette området anbefales nye TFEM-målinger hvor kabelutlegget gis en mer hensiktsmessig plassering. Nye målinger vil også gi en bedre kontroll med de dype anomaliene som indikeres rundt koordinat 200 på profilene C, D og E.

6. KONKLUSJONER

6.1. Instrumentelt

- Utprøving av NGUs TFEM-instrument under realistiske værforhold har vist meget god driftssikkerhet.
- Variasjoner i kabelutleggets motstand gir mindre variasjoner i strømstyrke og i synkronisering mellom sender og mottaker, men under normale forhold vil dette ikke gi nevneverdige problemer.
- Erfaringene så langt viser at simultan måling av horisontal- og vertikalkomponent i tidsdomenet gir viktige informasjoner til hjelp i tolkingsarbeidet. Det samme gjelder også målinger i frekvensdomenet ved 25 Hz. Data fra "multifrekvens-kanalene" (V0 og H0) har så langt ikke gitt vesentlig informasjon ut over det tidsdomene-data har gitt.

6.2. Energisering

- Sammenligning av energisering med kabelsløyfe og jordet utlegg indikerer at i tidsdomenet er induktiv energisering dominerende uansett energiseringsform. I frekvensdomenet er responsen forskjellig ved de to energiseringsmetodene, og det synes klart at konduktive samlestrømmer er dominerende ved jordede utlegg.
- Forsøkene med ulik energisering viser også at det ikke er likegyldig hvilken energiseringsform som velges og heller ikke hvordan denne organiseres.

6.3. Geologisk

- Tidlige påviste turamanomalier bekreftes av TFEM-målingene.
- De forskjellige energiseringsformene viser sprik i strømkoncentrasjonenes lokalisering, dybdetolkning og beregnet tids-

konstant. Årsaken til dette ligger trolig i at de anomalier som påvises er sammensatt av responser fra flere ledere (jfr. elektriske borhullsmålinger, Rønning 1987d).

- Et systematisk kurveforløp som gjentar seg på alle profilene indikerer at de påviste dypanomalier kan skyldes kantstrømmer i en mer eller mindre sammenhengende plate på dypet. Lednings- evnemålinger i borhull anbefales for å avklare dette nærmere.
- Målinger øst for Rundhaugen påviser ingen interessante anomaler, men området anbefales dekt med nye TFEM-målinger hvor kabelutlegget gis en mer hensiktsmessig plassering.

Trondheim, 1. februar 1988
NORGES GEOLOGISKE UNDERSØKELSE
Geofysisk avdeling

Jan S. Rønning
Jan Steinar Rønning
Kst. seksjonssjef

7. REFERANSER

- Elvebakk 1984: Elektromagnetiske målinger i Joma 1984. Inst. for Pet. Tekn. og Anv. geofysikk, NTH. Rapport nr. 84.M.02.
- Elvebakk & Lile 1985: Elektromagnetiske målinger i Joma 1985. Inst. for Pet. Tekn. og Anv. geofysikk, NTH. Rapport nr. 85.M.05.
- Elvebakk & Lile 1986a: Elektromagnetiske dybdesonderinger, EM SYSCAL, Joma 1985. Inst. for Pet. Tekn. og Anv. geofysikk, NTH. Rapport nr. 86.M.05.
- Elvebakk & Lile 1986b: Elektromagnetiske dybdesonderinger, EM SYSCAL, Joma 1986. Inst. for Pet. Tekn. og Anv. geofysikk, NTH. Rapport nr. 86.M.07.
- Elvebakk & Lile 1987: Elektromagnetiske dybdesonderinger SYSCAL EM, Joma i 1987. Inst. for Pet. Tekn. og Anv. geofysikk, NTH. Rapport nr. 87.M.02.
- Kammen m.fl. 1986: Programsystem for innlegging, korrigering, bearbeiding og uttegning av data fra geofysiske bakkemålinger. NGU rapport 86.045.
- Kihle 1979: CP-målinger Linseth skjerp og Joma vest. NGU rapport 1667A.
- Qian & Rønning 1988: NGU TFEM. System documentation. NGU rapport 88.018.
- Rønning 1981: CP-målinger i Jomafeltet 1981. NGU rapport 1854.
- Rønning 1987a: Forsøksmåling med NGU-TFEM i Jomafeltet. NGU rapport 87.049.
- Rønning 1987b: Forsøksmålinger med NGUs TFEM-instrument nord for Bidjovagge. NGU rapport 87.046.
- Rønning 1987c: Forsøksmåling med NGUs TFEM-instrument over Sølbergsonen på Mofjellet. NGU rapport 87.023.
- Rønning 1987d: Elektriske målinger ved Joma i 1987. NGU rapport 87.173.
- Rønning 1988: NGU TFEM. Dataprosessering på HP3000. NGU intern rapport 88.004.
- Singsaas 1963: Geofysisk undersøkelse Joma kisfelt/Røyrvik. GM rapport nr. 232-359.

KORT INSTRUMENTBESKRIVELSE NGU TFEM

NGUs TFEM (Time and Frequency domain ElectroMagnetic) er et nytt instrument utviklet ved NGU i perioden 1982-1985. Senderdelen består av en generator (2 kW), en strømforsyning som konverterer AC til DC og selve senderen som er mikroprosessorstyrt. I tillegg til dette kommer kabelutlegg som kan variere i form og størrelse. Mottagersystemet består av 4 spoler, selve mottageren (mikroprosessorstyrt) og en batterikasse.

Prosessoren i mottageren kan utføre følgende funksjoner:

- stiller inn forsterkning i forhold til signalnivå
- kontrollerer og viser målingene
- utfører statistiske beregninger under måling
- utfører instrukser gitt av operatøren
- behandler "overflows"
- lagrer data i bobleminne
- overfører data til mikromaskin

Koblingen mellom sender og mottager er etablert ved hjelp av høy-frekvente oscillatorer koblet opp mot tellere både i sender og mottager. Ved å nullstille tellerne ved målingenes start (synkronisering) vet mottager til enhver tid hvordan strømforløpet er, og kan styre måleprosessen ut fra dette.

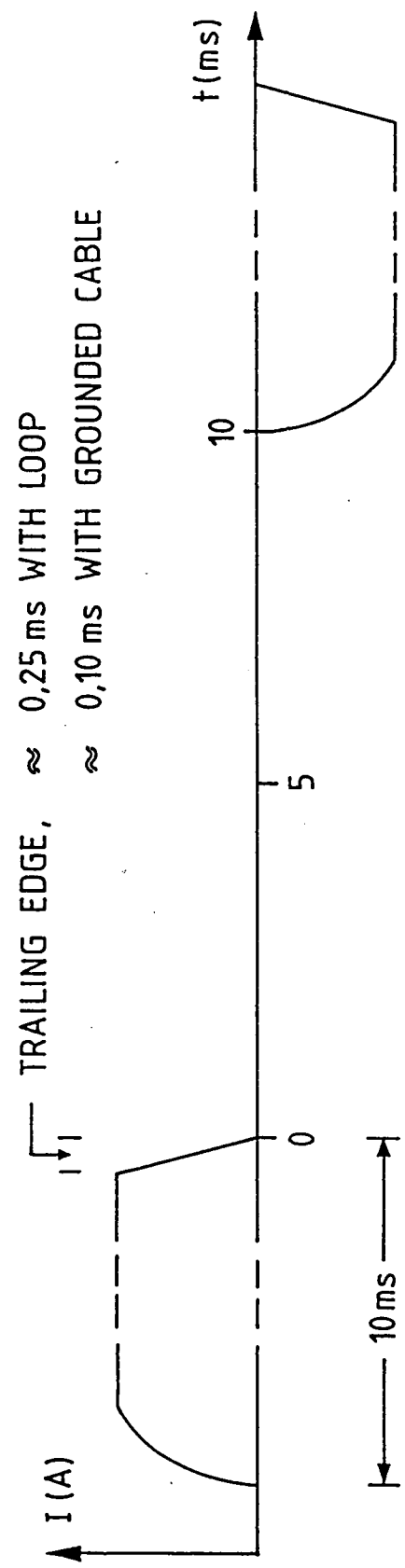
Instrumentet mäter 8 vertikale och 8 horisontale kanaler i tidsdomenet. Svært gode ledere kan blir oversett ved transientmålinger, og for att gardera sig mot detta mätes de två vertikalfeltkanalerna med 25 Hz i frekvensdomenet. Figur B1 visar strömförlopet ut från sändaren och hur de 16 tidsdomenekanalerna mäts i förhållande till strömpulserna. För att tillfredsstilla krav till fölsomhet och frekvensrespons mäts de fyra första kanalerna i tidsdomenet i en spole och de fyra sista i en annan spole. Detta gäller både horisontal- och vertikalkomponenten, därför 4 mälespolar. Figur B2 visar hur de två frekvensdomenekanalerna mäts i förhållande till strömförlopet. Periodetiden för den utsändte

strømmen er 40 ms, noe som tilsvarer en frekvens på 25 Hz. V8 måles tilnærmet i fase med primærfeltet og V9 tilnærmet ut av fase.

Figur B3 viser datastrømmen fra målespoler frem til presentasjon av data. Hele måleprosessen og all dataoverføring styres av den sentrale prosessoren. Fra målespolene går data via prosessoren til midlertidig lagring i RAM. Under måling utføres kontinuerlige statistiske beregninger, og data overvåkes slik at perioder med mye støy kan vrakes. Antall måleserier kan bestemmes ved å stille krav til standardavvik i de enkelte kanaler, eller ved å sette et øvre tak for antall måleserier. Etter avsluttet måleserie kan beregnede data for alle kanaler listes ut på display for sjekk. Er data OK legges de inn på boblelagret. Etter endt måledag overføres data fra boble via mikroprosessoren til HP85 mikromaskin. Her kan en liste ut måleverdiene og en kan få profilplott av to og to kanaler. Etter endt oppdrag kan data overføres til NGUs hovedanlegg HP3000 for senere prosessering og endelig uttegning. For hver målestasjon blir følgende data lagret i bobleminnet:

- middelverdi i 18 kanaler
- usikkerhet i 18 kanaler
- forsterkningskode i 18 kanaler
- antall målesykluser
- informasjon om "overflows"
- tid (måned, dato, time, minutt, sekund)
- koordinater (X,Y)
- senderparametre (strømstyrke, sløyfestørrelse m.m.)

CURRENT TIME, $T = 40 \text{ ms}$ ($f = 25 \text{ Hz}$)



↑
I₁ — TRAILING EDGE, $\approx 0,25 \text{ ms}$ WITH LOOP
 $\approx 0,10 \text{ ms}$ WITH GROUNDED CABLE

MEASURING TIME (TIME DOMAIN)

H0, V0 (-0,02 - 0)

H1, V1 (0,12 - 0,16)

H2, V2 (0,23 - 0,31)

H3, V3 (0,39 - 0,47)

H4, V4 (0,78 - 0,94)

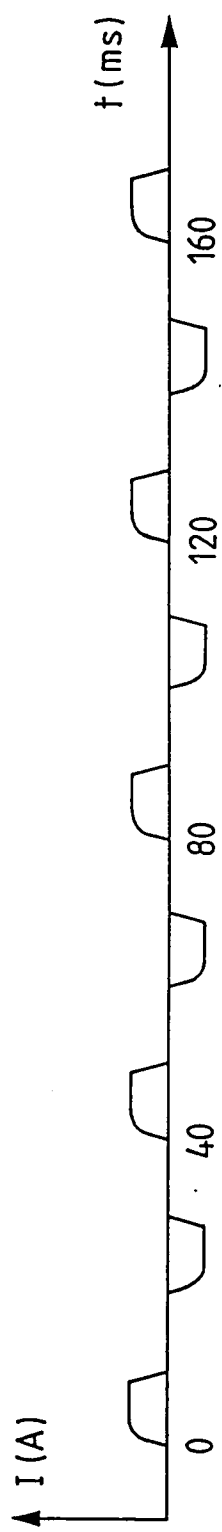
H5, V5 (1,6 - 1,9)

H6, V6 (3,1 - 3,8)

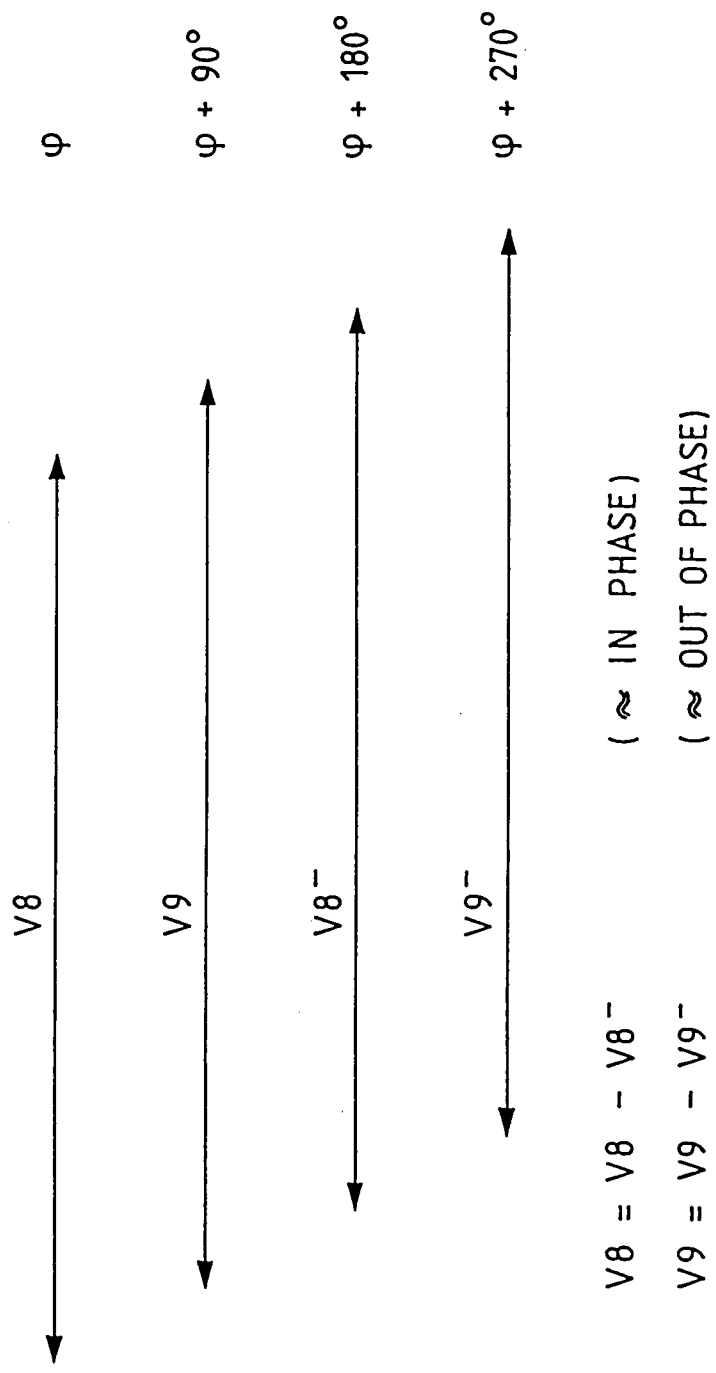
H7, V7 (6,3 - 7,5)

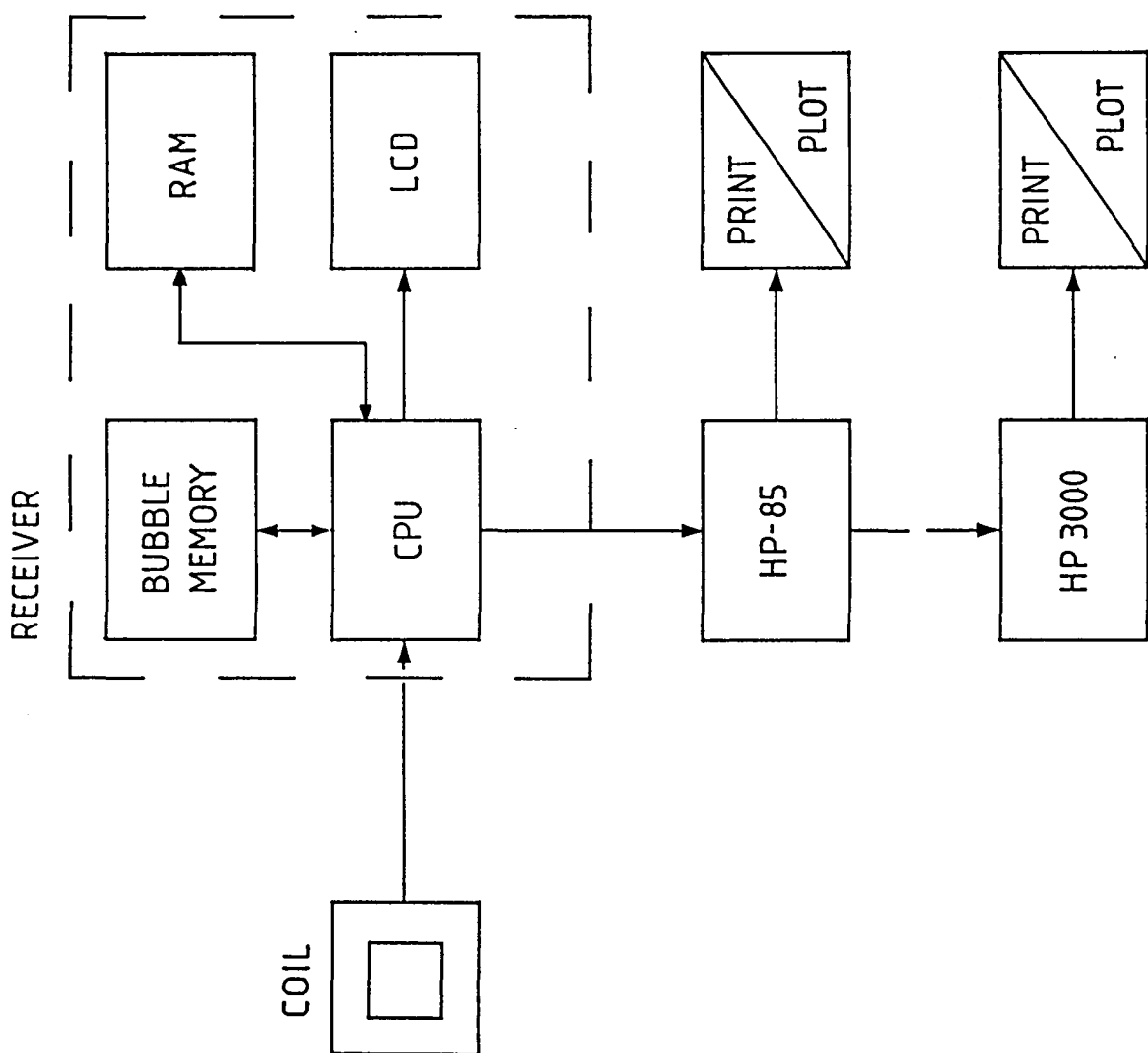


CURRENT TIME



MEASURING TIME (FREQUENCY DOMAIN)



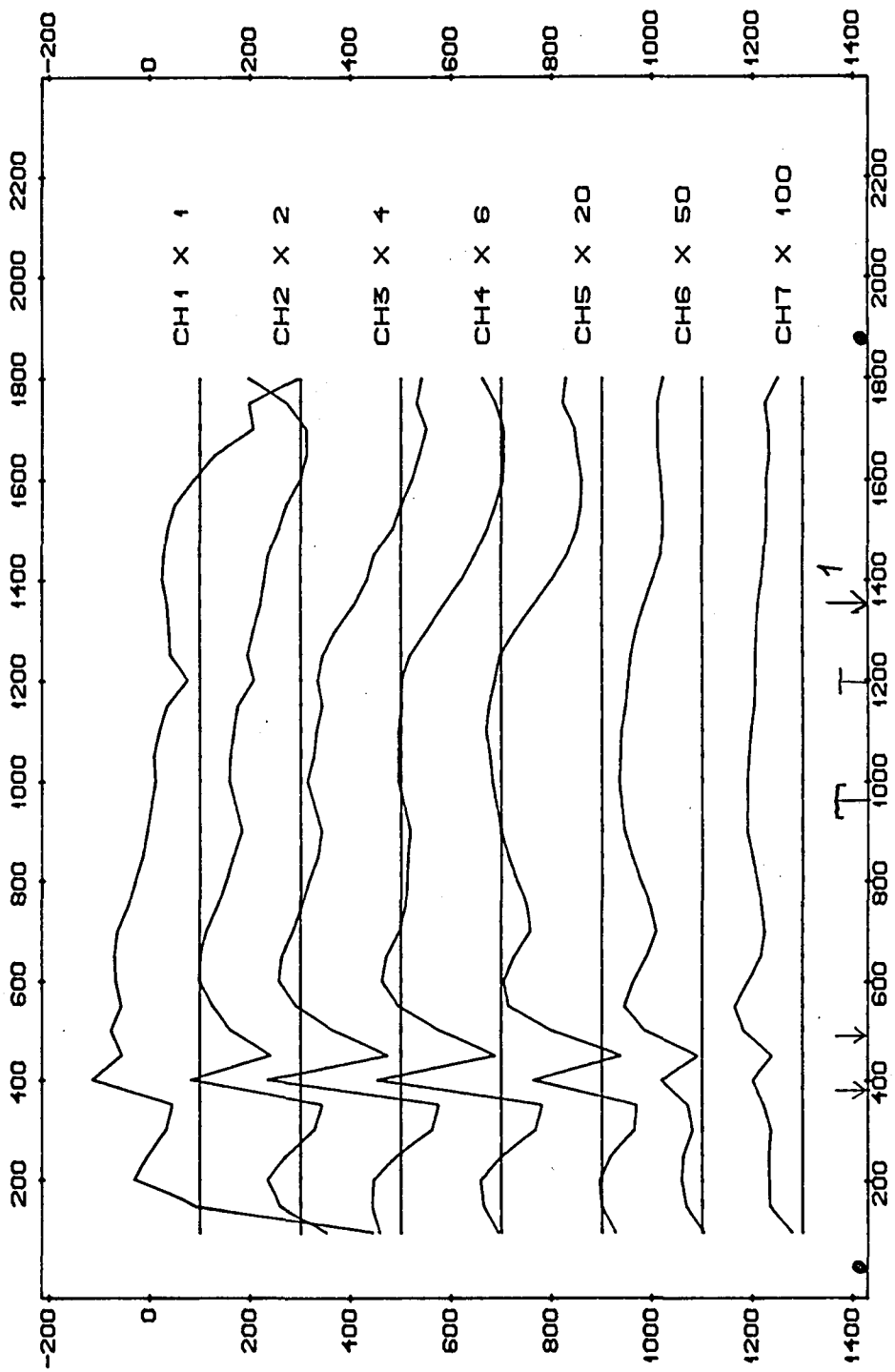


DATA FLOW, SIMPLIFIED BLOCK DIAGRAM

Detaljert liste over tegninger.

Tegning nr.	1- 2: TEM Vert./Hor.	Profil	A	Loop
3- 4:	" " "	"	"	Gr.N
5- 6:	" " "	"	"	Gr.S
7- 8:	" " "	"	"	Gr.F
9-10:	" " "	"	B	Loop
11-12:	" " "	"	"	" (short)
13-14:	" " "	"	"	Gr.N
15-16:	" " "	"	"	" (short)
17-18:	" " "	"	"	Gr.S
19-20:	" " "	"	"	" (short)
21-22:	" " "	"	C	Loop
23-24:	" " "	"	"	Gr.N
25-26:	" " "	"	"	Gr.S
27-28:	" " "	"	D	Loop
29-30:	" " "	"	"	Gr.N
31-32:	" " "	"	"	Gr.S
33-34:	" " "	"	E	Loop
35-36:	" " "	"	"	Gr.N
37-38:	" " "	"	"	Gr.S
39	: Re-Im 25 Hz	Profil	A	Loop
40	:	"	"	Gr.N
41	:	"	"	Gr.S
42	:	"	"	Gr.F
43	:	"	"	B
44	:	"	"	" (short)
45	:	"	"	Gr.N
46	:	"	"	" (short)
47	:	"	"	Gr.S
48	:	"	"	" (short)
49	:	"	"	C
50	:	"	"	Loop
51	:	"	"	Gr.N
52	:	"	"	Gr.S
53	:	"	"	D
54	:	"	"	Loop
55	:	"	"	E

Tegning nr.	56	:	Re-Im 25 Hz	Profil E	Gr.N
	57	:	" " "	" "	Gr.S
	58	:	Re 25 Hz norm.	Profil A,B,C,D,E	Loop
	59	:	" " "	" "	Gr.N
	60	:	" " "	" "	Gr.S
	61	:	Im 25 Hz norm.	" "	Loop
	62	:	" " "	" "	Gr.N
	63	:	" " "	" "	Gr.S
	64	:	" " unorm.	" "	Loop
	65	:	" " "	" "	Gr.N
	66	:	" " "	" "	Gr.S
	67	:	Multi frequency	Profil A	Loop
	68	:	" "	" "	Gr.N
	69	:	" "	" "	Gr.S
	70	:	" "	" "	Gr.F
	71	:	" "	" B	Loop
	72	:	" "	" "	Gr.N
	73	:	" "	" "	Gr.S
	74	:	" "	" C	Loop
	75	:	" "	" "	Gr.N
	76	:	" "	" "	Gr.S
	77	:	" "	" D	Loop
	78	:	" "	" "	Gr.N
	79	:	" "	" "	Gr.S
	80	:	" "	" E	Loop
	81	:	" "	" "	Gr.N
	82	:	" "	" "	Gr.S
	83	:	V0/Re 25 Hz	Profil A,B,C,D,E	Loop
	84	:	" "	" "	Gr.N
	85	:	" "	" "	Gr.S
	86	:	" "	Profil A	Gr.F
88.016-01 : Oversikts- og tolkningskart TFEM					



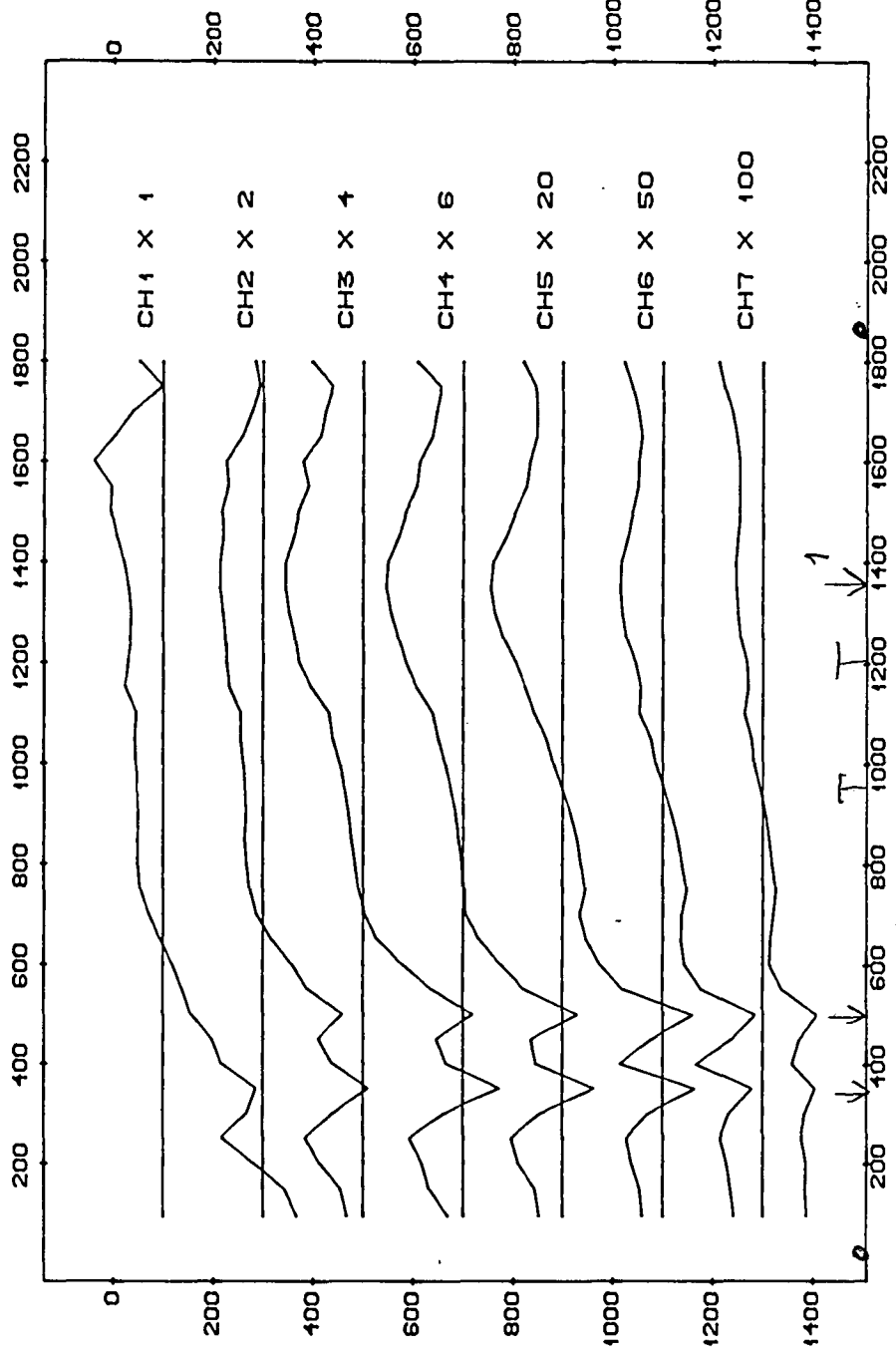
TEM-VERT: 1 CM PÅ KURVEN TILSVARER 200.00 UV
SKJØRINGSPOINDET MED MÅLELINJEN TILSVARER .00 UV

NEU-GRUBER A/S
TEM VERTICAL. PROFIL A. LOOP
JOMA
RØRVIK, NORD-TRONDALAS

NORGES GELOGISK E UNDERSØKELSE
TRONDHEIM

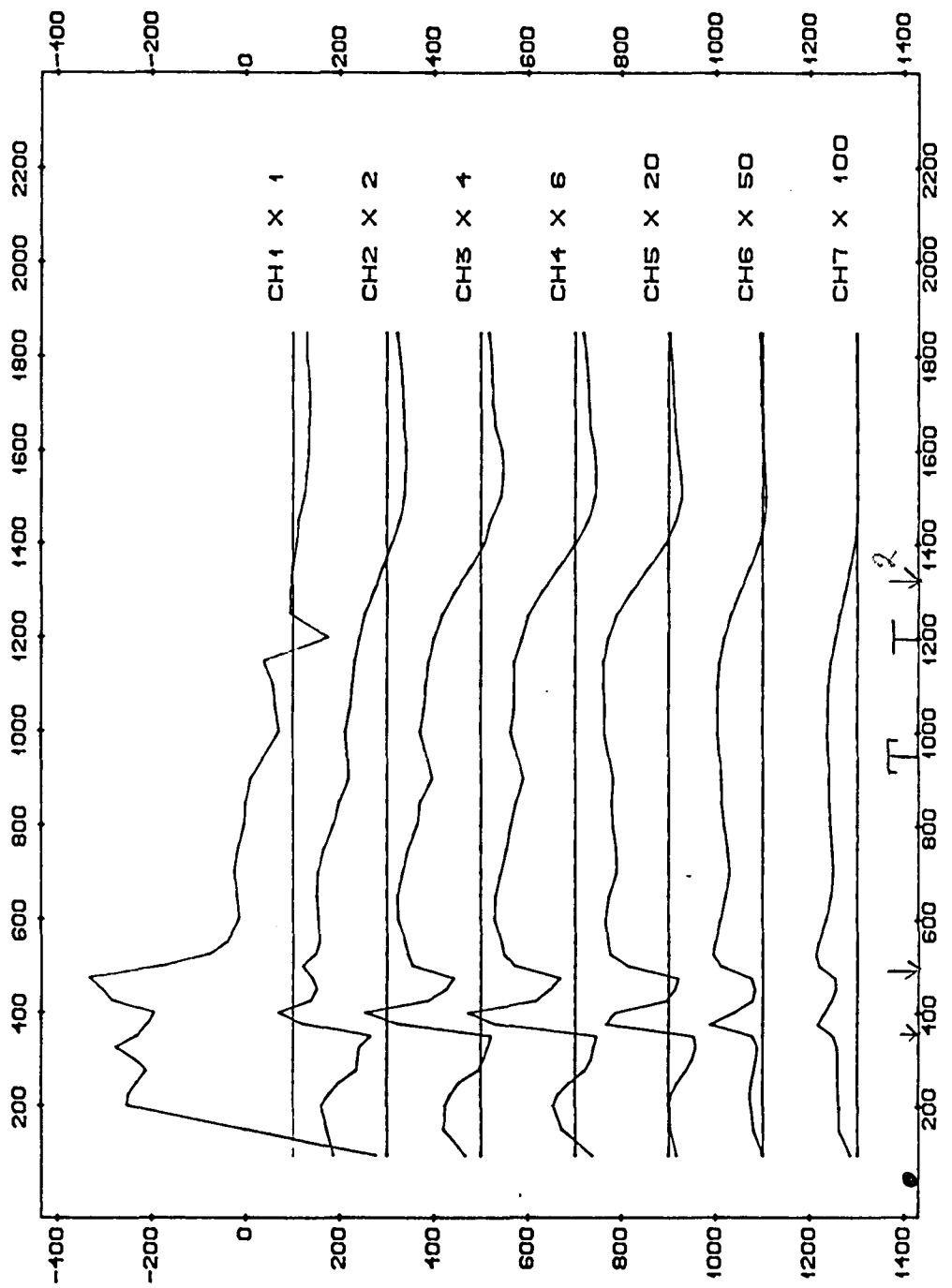
HALSTADSK	DRRS. NO.	JUN 1981
1:10000	TEIN.	JUL 1981
	TRAC.	
	KPR.	

TEIN LINE NR.	KARTBLAD NR.
1	1924 1



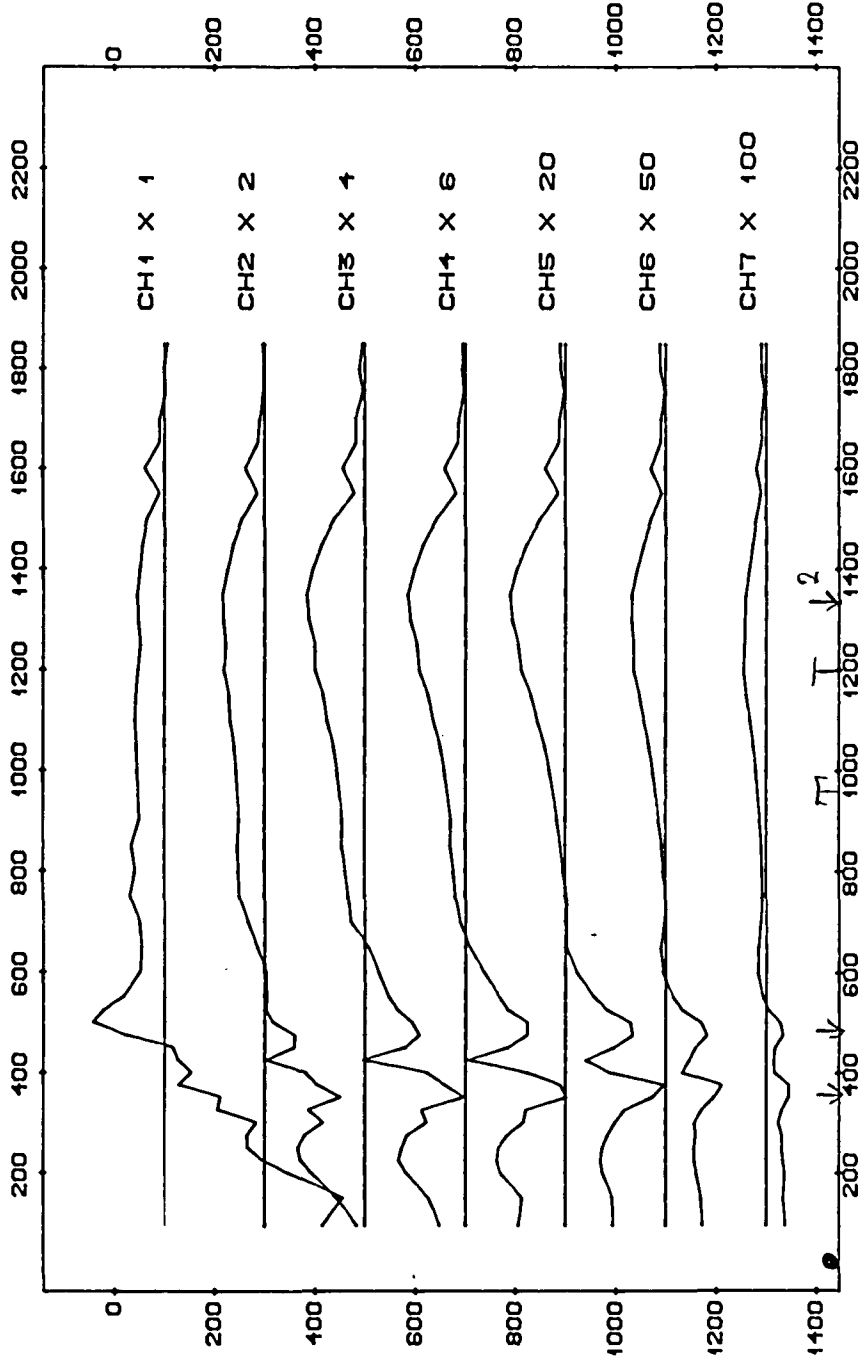
NGU-GRÖNS GRUBER A/S	JUN 1987
TEM HOR. PROFIL A, LOOP	JUL 1987
JOMA	TRAC.
RØYRVIK, NORD-TRONDALAG	KOM.
NORGES GEOLOGISKE UNDERSØKELSE	TENNING NR.
TRONDHEIM	2
	KARTBLAD NR.
	1924 1

1 KM



NGU-GRONG GRUBER A/S	MÅLESTOKK	JUN. 1987
TEM-VERT. PROFIL A, GROUNDED CABLE (N)	1110000	JUL. 1987
JOMA	TRAC.	
FÅRVIK, NORD-TRONDALAG	KØPEN.	
NORGES GELOGISKE UNDERSØKELSE	TERNING NR.	KARTBLAD NR.
TRONDHEIM	3	1924 1

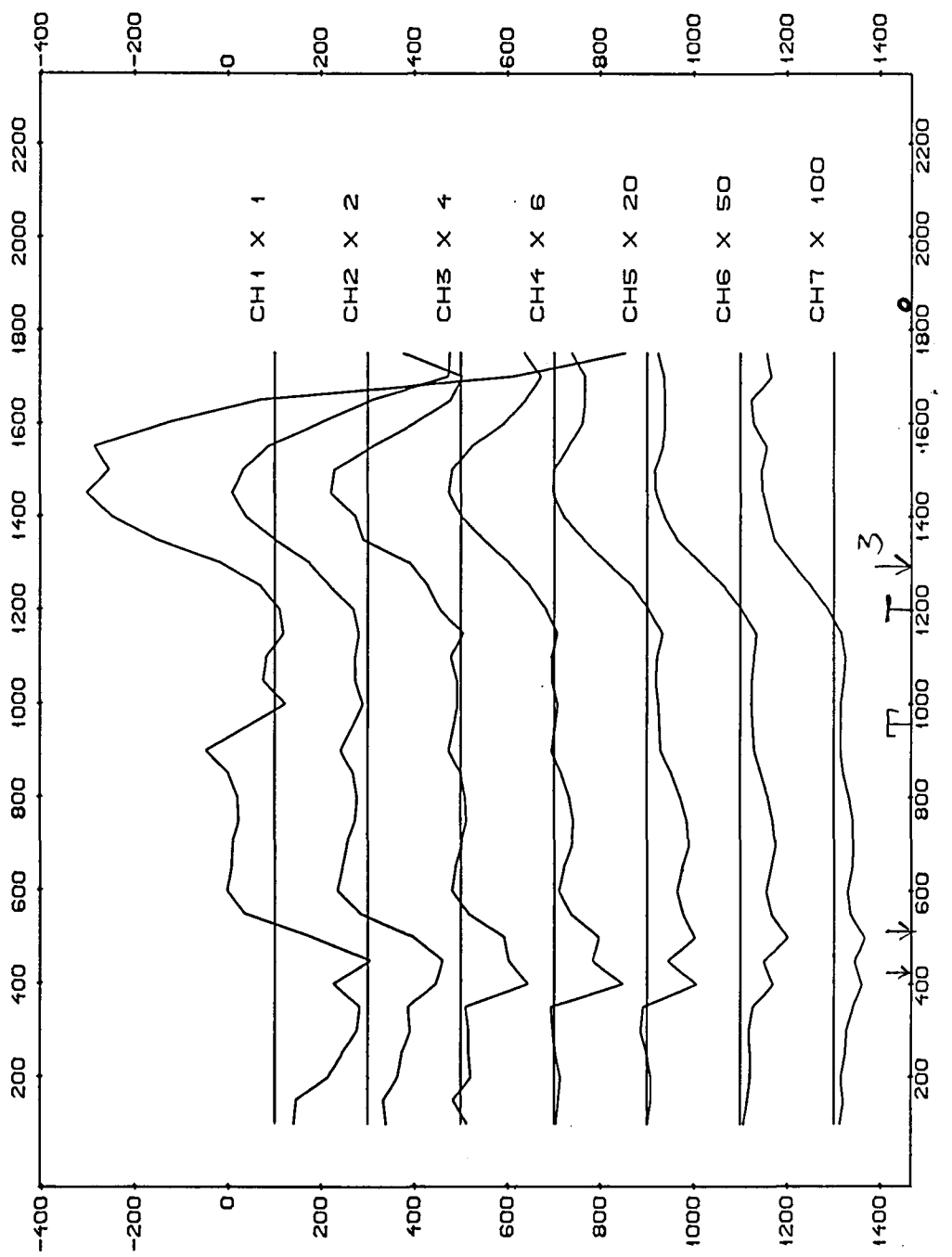
1 KM



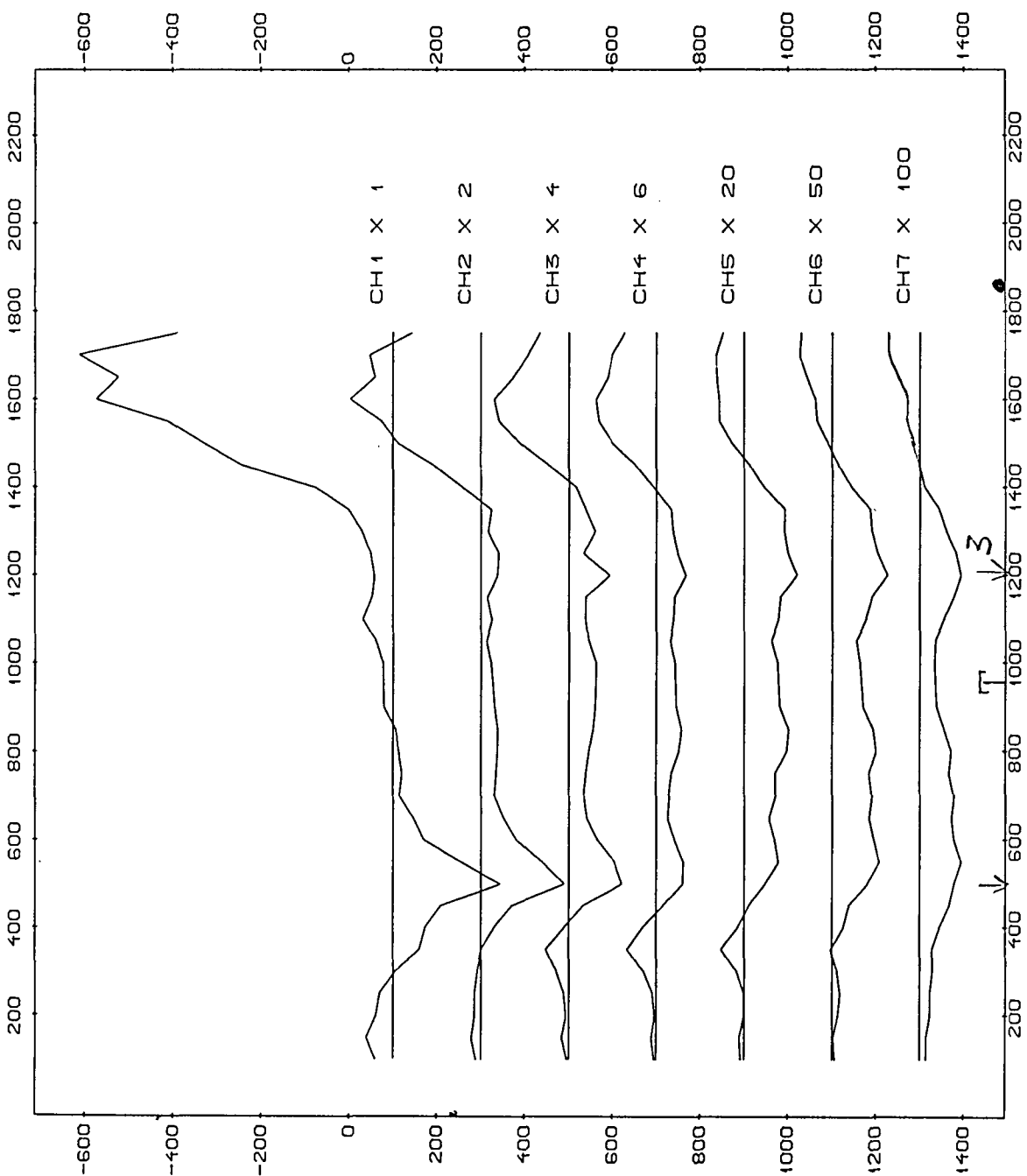
TEM-HOR : 1 CM PÅ KURVEN TILSVARER 200.00 UV .00 UV
SKJØRINGSPOINTET MED MÅLELINJEN TILSVARER .00 UV

NGU-GRØNS GRUBER A/S	MAULSTOKK	OMS. ING	JUN 1927
TEH-HOR, PROFIL A, GROUNDED CABLE (IN)	1110000	TEHN.	JUL 1927
JOMA		TRAC.	
RØTTRVIK, NORD-TRØNDALAG		KTFN.	
NORGES GEODISKE UNDERSØKELSE			KARTBLAD NR.
TRONDHEIM	4		1924 1

1 KM



NGU-GRODGRUBER A/S	MALESTOKK	OBS. BO	JUN 1987
TEM VERT. PROFIL A. GROUNDED CABLE (S)	TEGN.	TEGN.	JUL 1987
JOMA	1:10000	TRAC.	
RØYRVIK, NORD-TRONDALAG		MFR.	
NORGES GEOLOGISKE UNDERSØKELSE			
TRONDHEIM	TEGNING NR.	KARTBLAD NR.	
	5	1924	1



TEM-HOR : 1 CM PÅ KURVEN TILSVARER 50.00 UV
SKJÆRINGSPOINTE MED MÅLELINJEN TILSVARER .00 UV

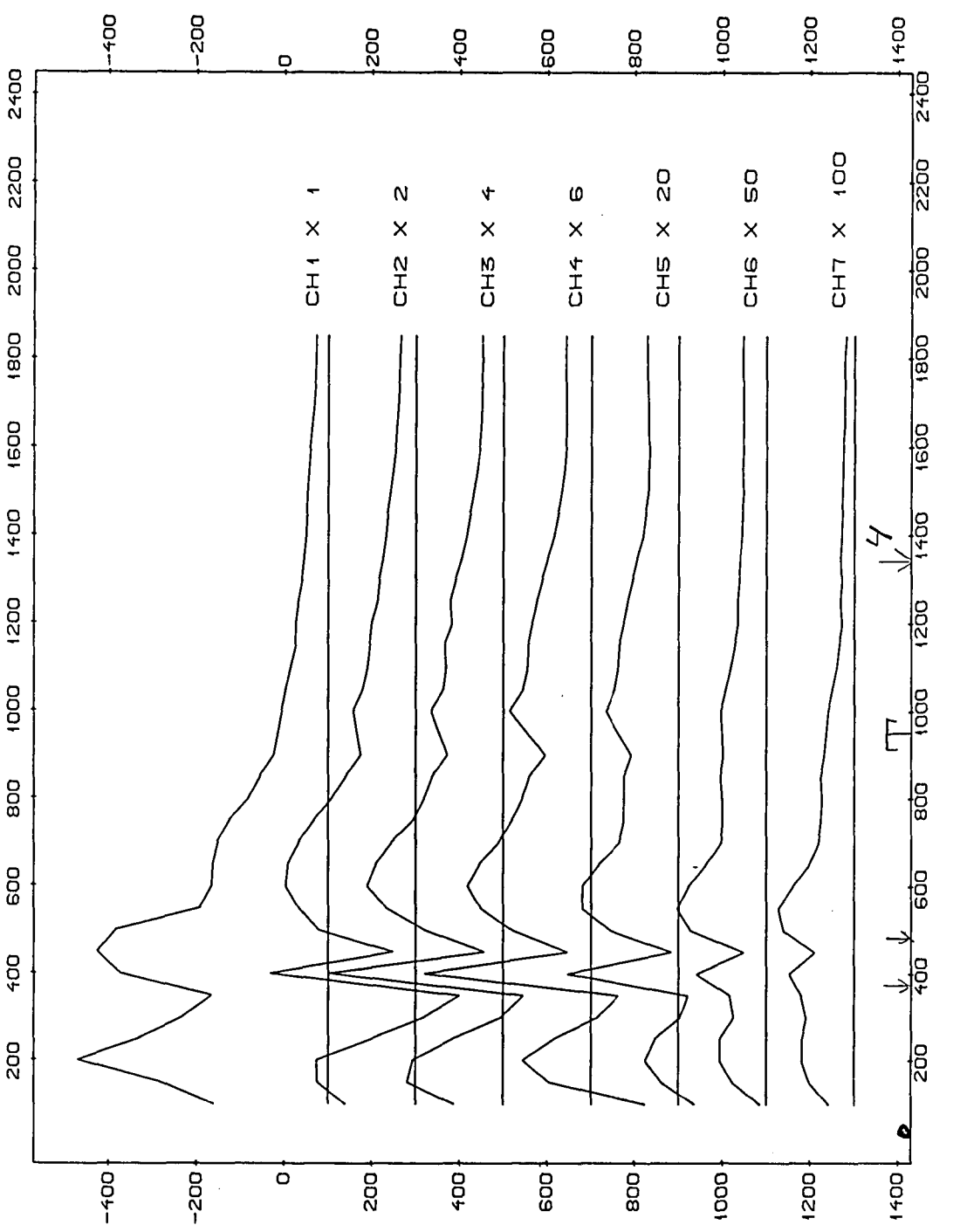
NGU-GRONG GRUBER A/S
TEM-HOR, PROFIL A. GROUNDED CABLE (S)
JOMA
RØYVIK, NORD-TRONDALAG

NORGES GEOLOGISKE UNDERSØKELSE
TRONDHEIM

KARTBLAD NR.
6

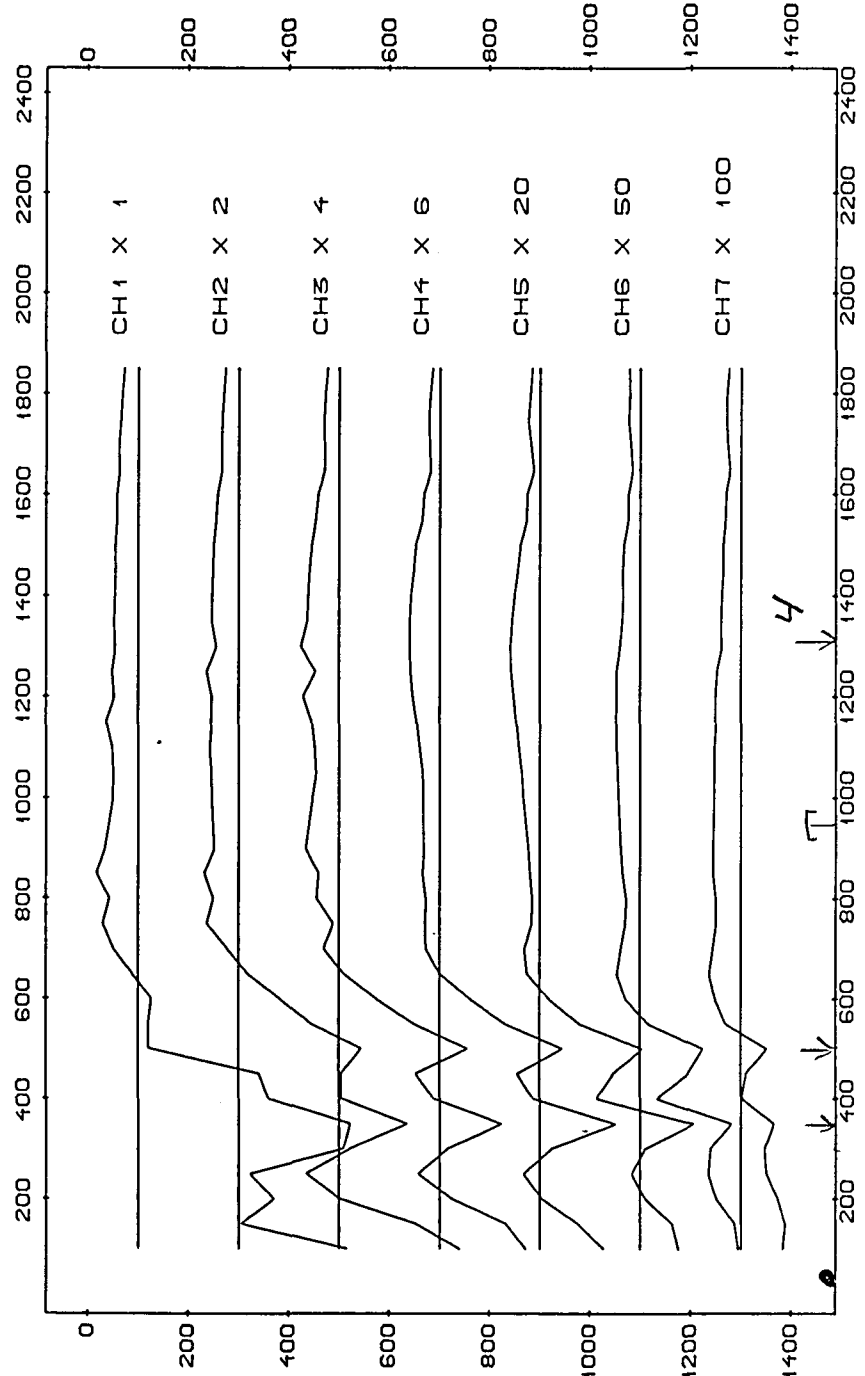
1924 |

MALESTOKK	OBS. BA	JUN 1987
TEGN.	TEGN.	JUL 1987
1:10000	TRAC.	
	KFR.	



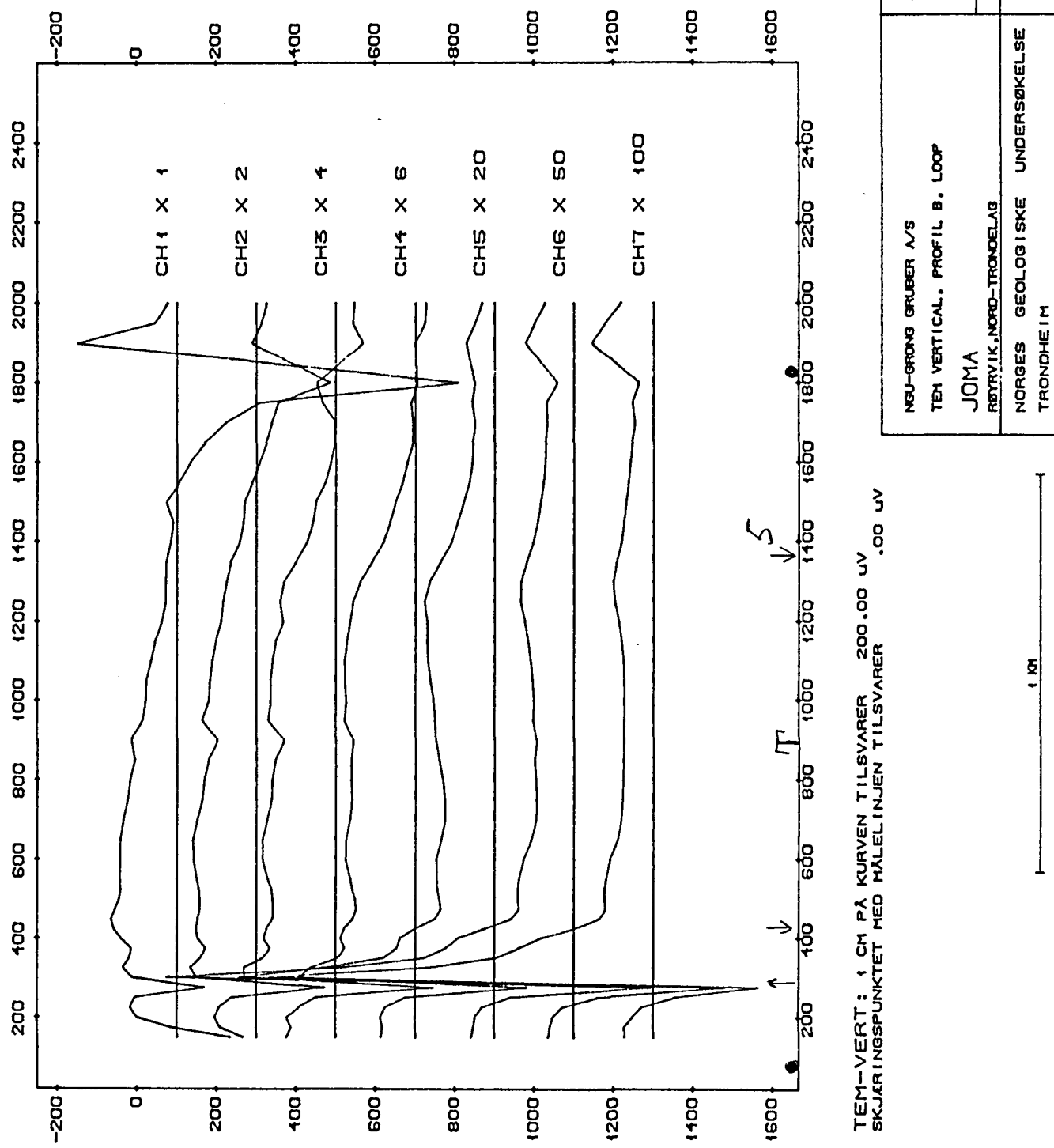
TEM-VERT: 1 CM PÅ KURVEN TILSVARER 50.00 UV
SKJØRINGSPOINDET MED MÅLET INNEN TILSVARER .00 UV

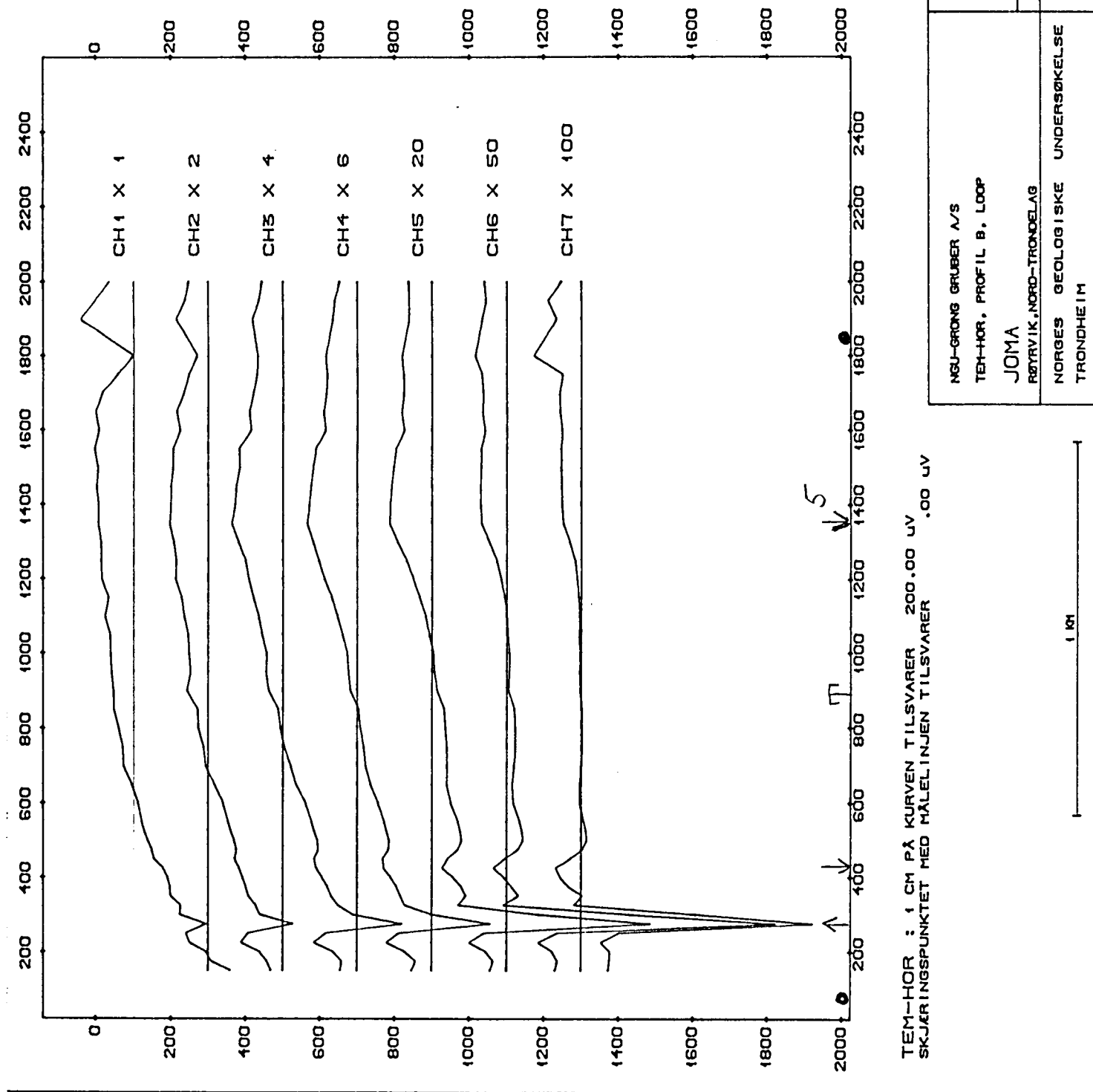
NGU-GRØNG GRUBER A/S	MALESTØKK	OBS. BA	JUL. 1987
TEM-VERT. PROFIL A. FREE GROUNDING (N)	TEGN.	TEGN.	JUL. 1987
JOMA	1:10000	TRAC.	
RØYRVIK, NORD-TRONDALAG	MFR.		
NORGES GEOLOGISKE UNDERSØKELSE	TEGNING NR.	KARTBLAD NR.	
TRONDHEIM	7	1924	1

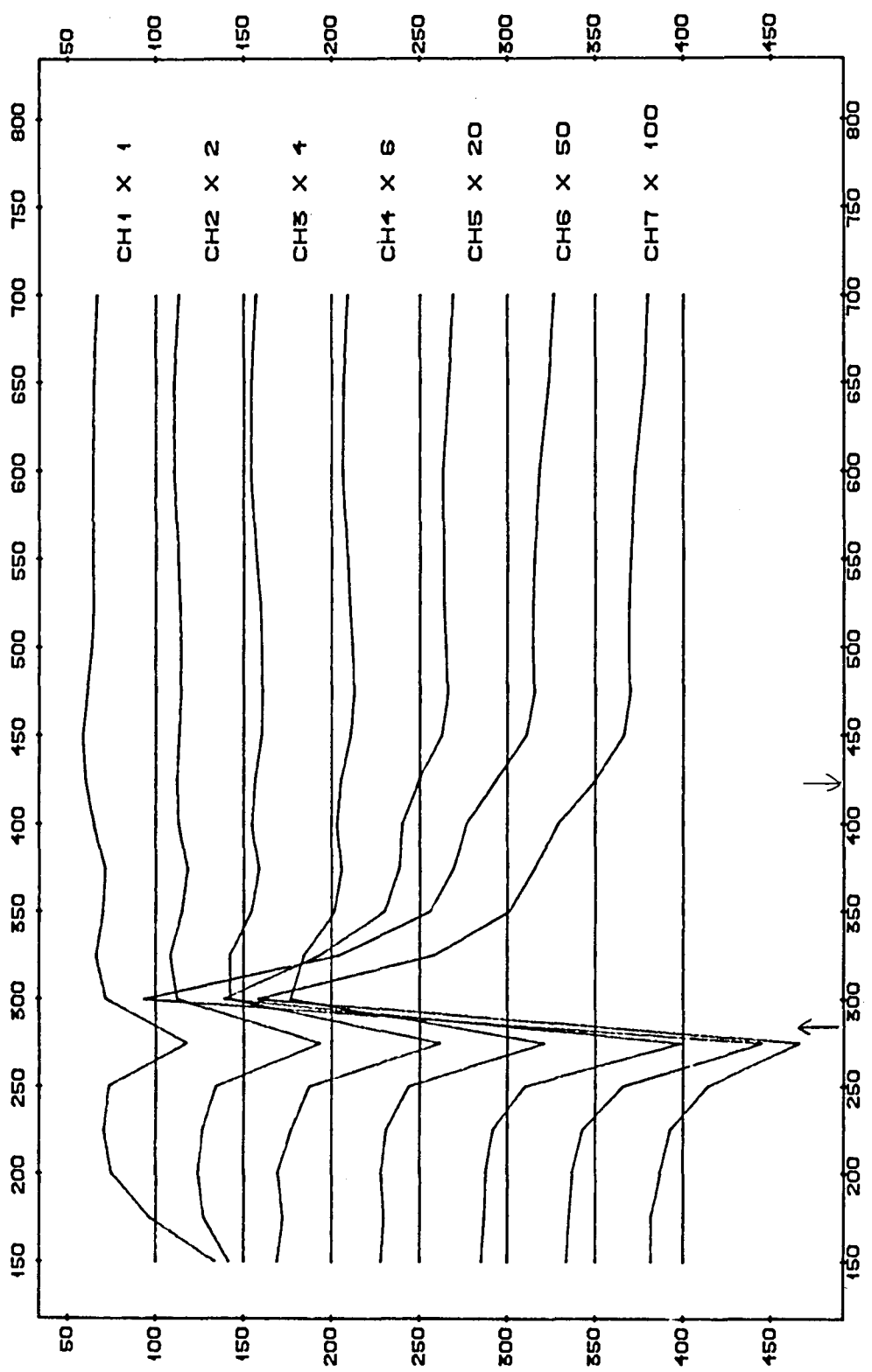


TEM-HOR : 1 CM PÅ KURVEN TILSVARER
SKJØRINGSPUNKTET MED MÅLELINJEN TILSVARER .00 UV

NGU-GRONG GRUBER A/S	MALESTØKK	OBS. BG	JUL. 1921
TEM-HOR, PROFIL A, FREE GROUNDING (N)	TEGN.	TEGN.	JUL. 1921
JOMA	1:10000	TRAC.	
REYVIK, NORD-TRONDALAG	KFR.		
NORGES GEOLOGISKE UNDERSØKELSE	TEGNING NR.	KARTBLAD NR.	
TRONDHEIM	J	1924 1	

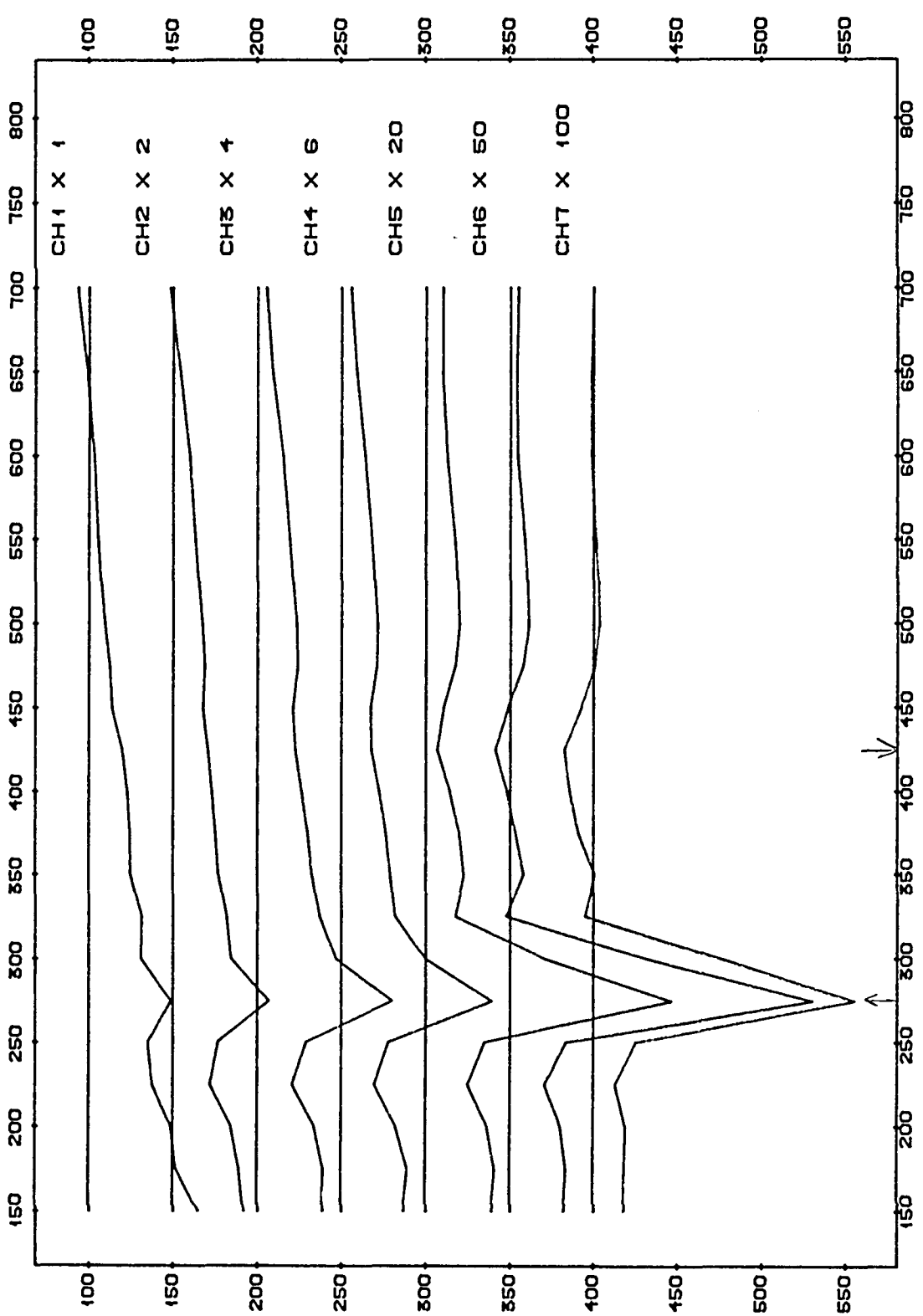






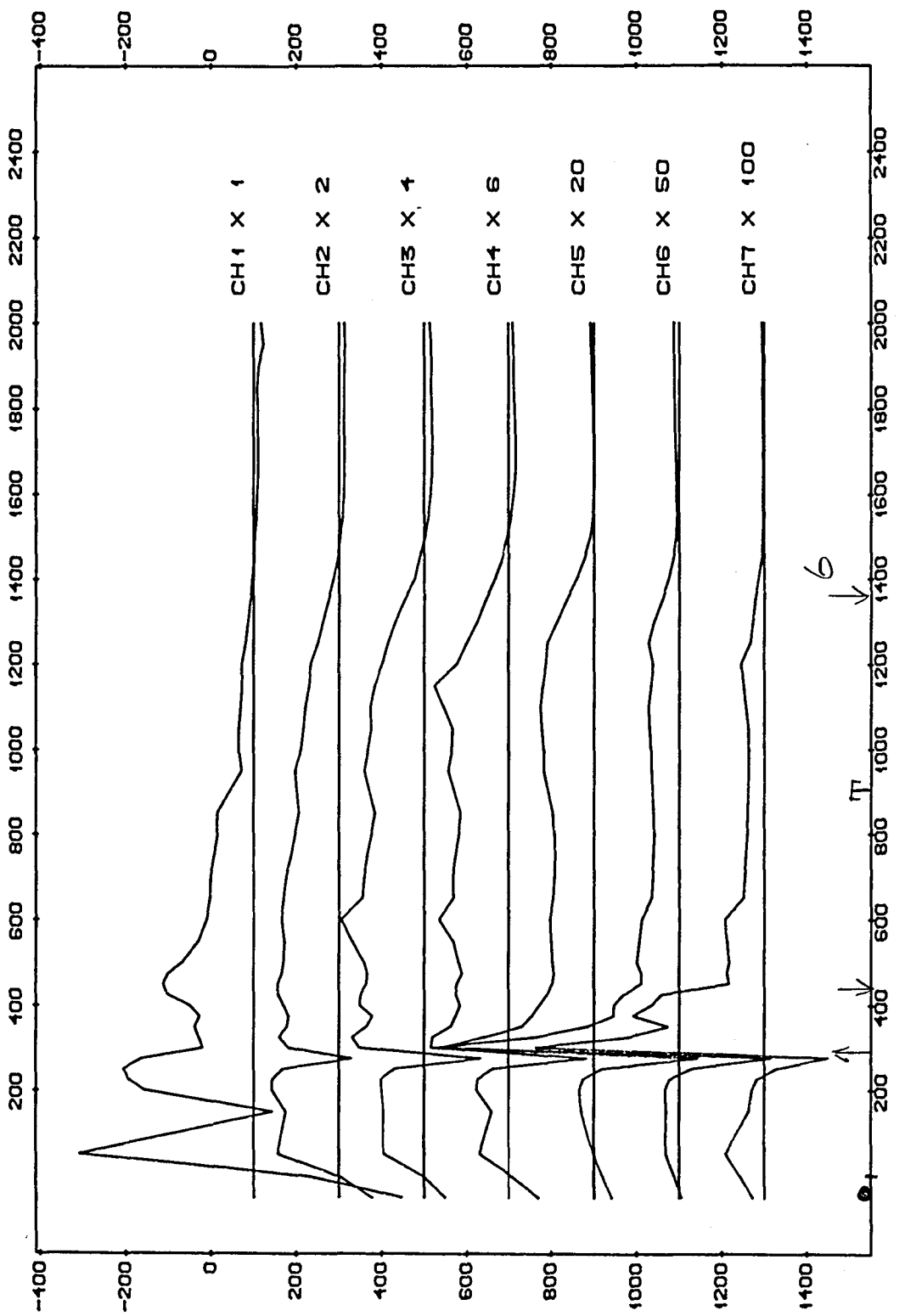
TEM-VERT: 1 CM PÅ KURVEN TILSVARER 200.00 UV
SKJØRINGSPOINTE MED HÅLE I NEN TILSVARER .00 UV

NSU-GRONS GRUBER AS	OMS. INN	JAN 1987
TEH-VERT. PROFIL B (SHORT). LOOP	TEHN.	JUL. 1987
JOMA	11000	THAC.
REYKVIK, NORD-TRONDALAG	KJPN.	KJPN.
NORGES GELOGISKE UNDERSØKELSE	TENNING NR.	KARTBLAD NR.
TRONDHEIM	/ /	1924 1



TEM-HORR : 1 CM PÅ KURVEN TILSVARER 200.00 UV
SKJÄRINGSPOINTET MED HALEL INNEN TILSVARER .00 UV

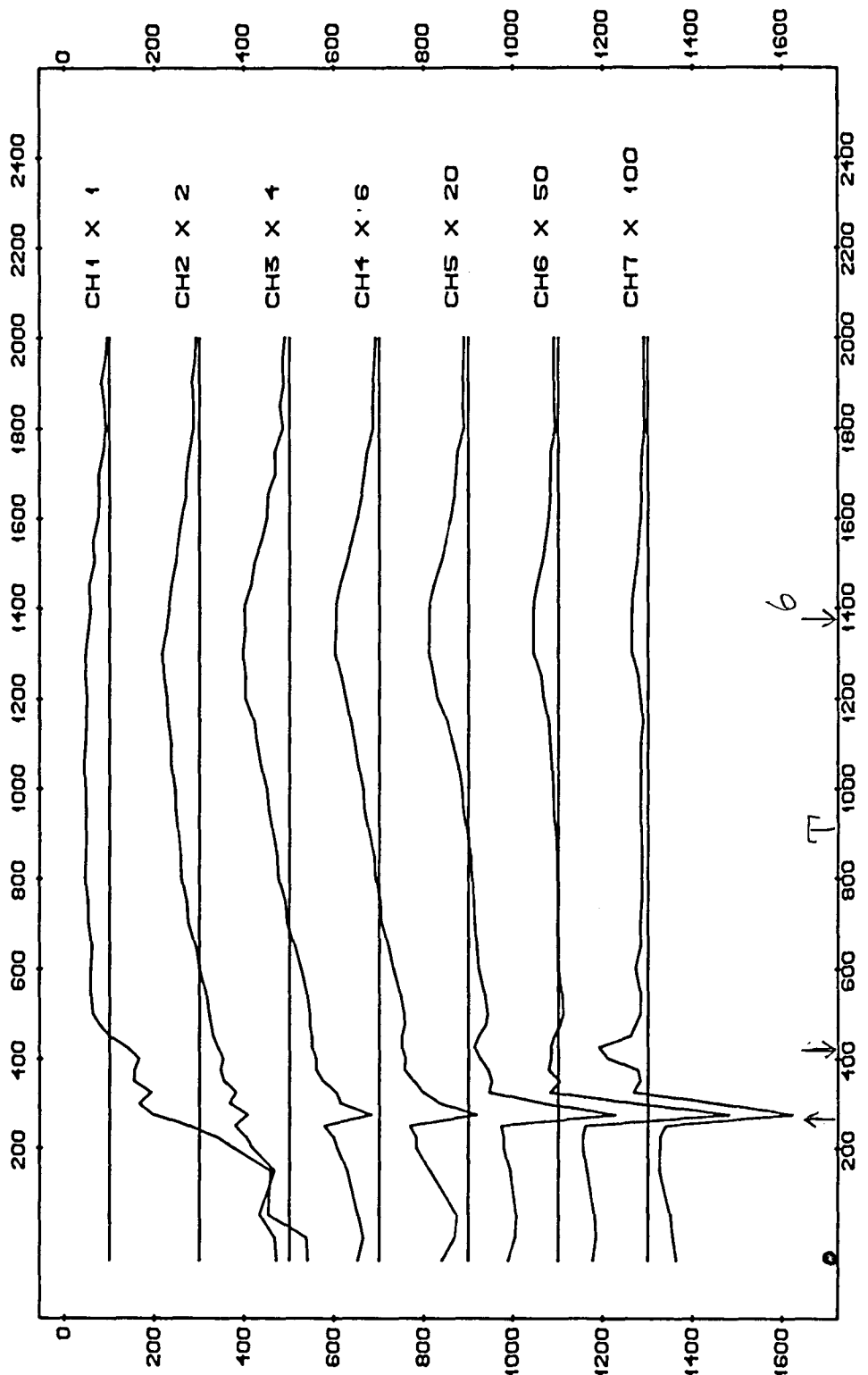
NGU-GRONG GRUBER AS	GEN. DIR.	JAN. 1971
TEM HOR. PROFIL B (SHORT), LOOP	TEKN.	JUL. 1971
JOMA	TRAC.	
JØRVIK, NORD-TRONDALAB	KONT.	
NORGES GELOGISK EKSPEDITION	TERMINO NR.	KARTBLAD NR.
TRONDHEIM	1/2	1924 1



NU-GRONG GRUBER A/S	JAN.	JUN.
TEM VERT. PROFIL B. GROUNDED CABLE (N)	TRAC.	TRAC.
JOMA	KOPR.	KOPR.
PETRYVIK, NORD-TRONDALAB		
NORGES GELOGISKE UNDERSØKELSE	TERNING NR.	KARTBLAD NR.
TRONDHEIM	13	1924 1

TEM-VERT: 1 CM PÅ KURVEN TILSVARER 200.00 UV
SKJØRINGSPOINTE MED HALEL INNEN TILSVARER .00 UV

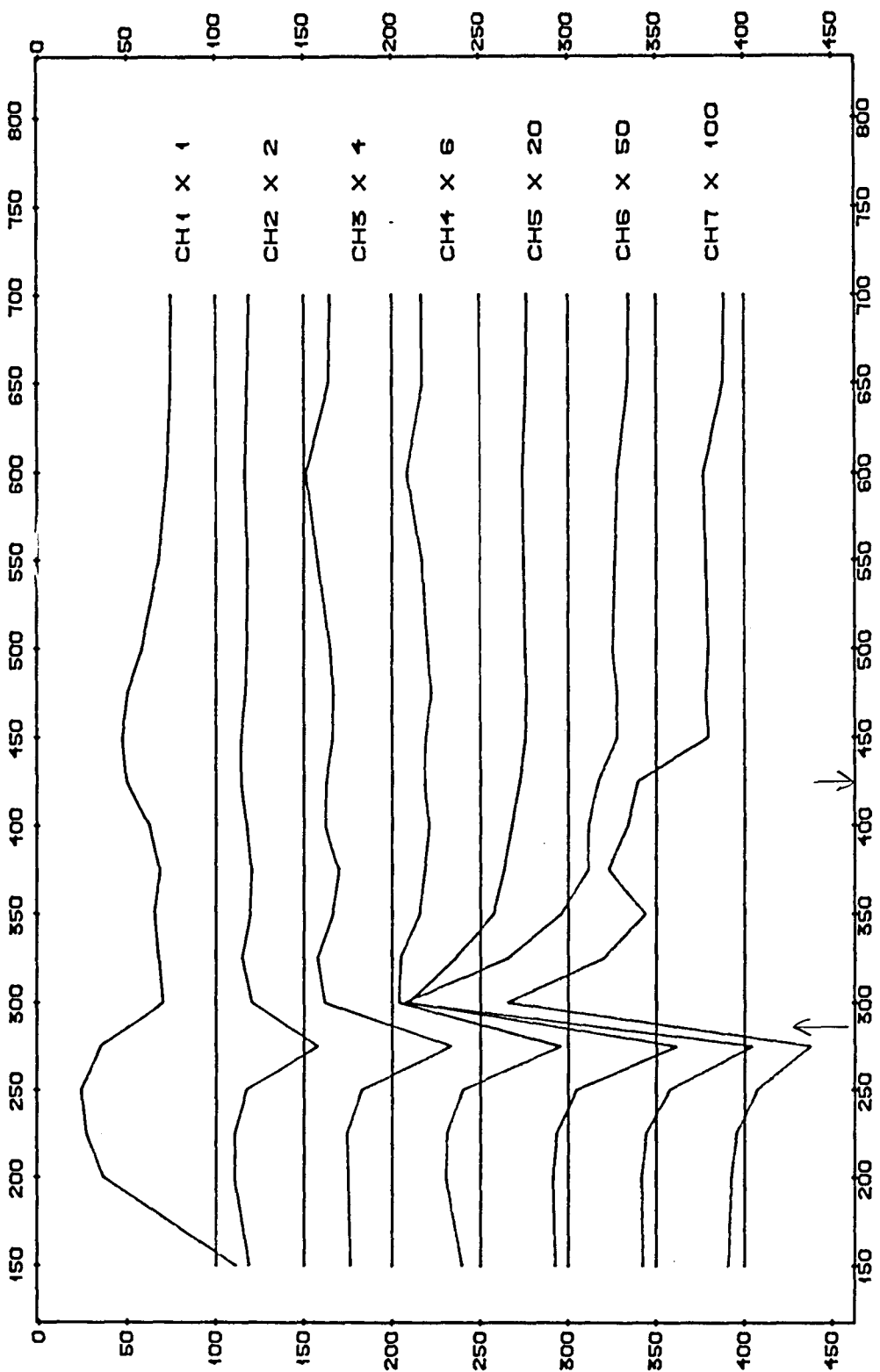
1 KM



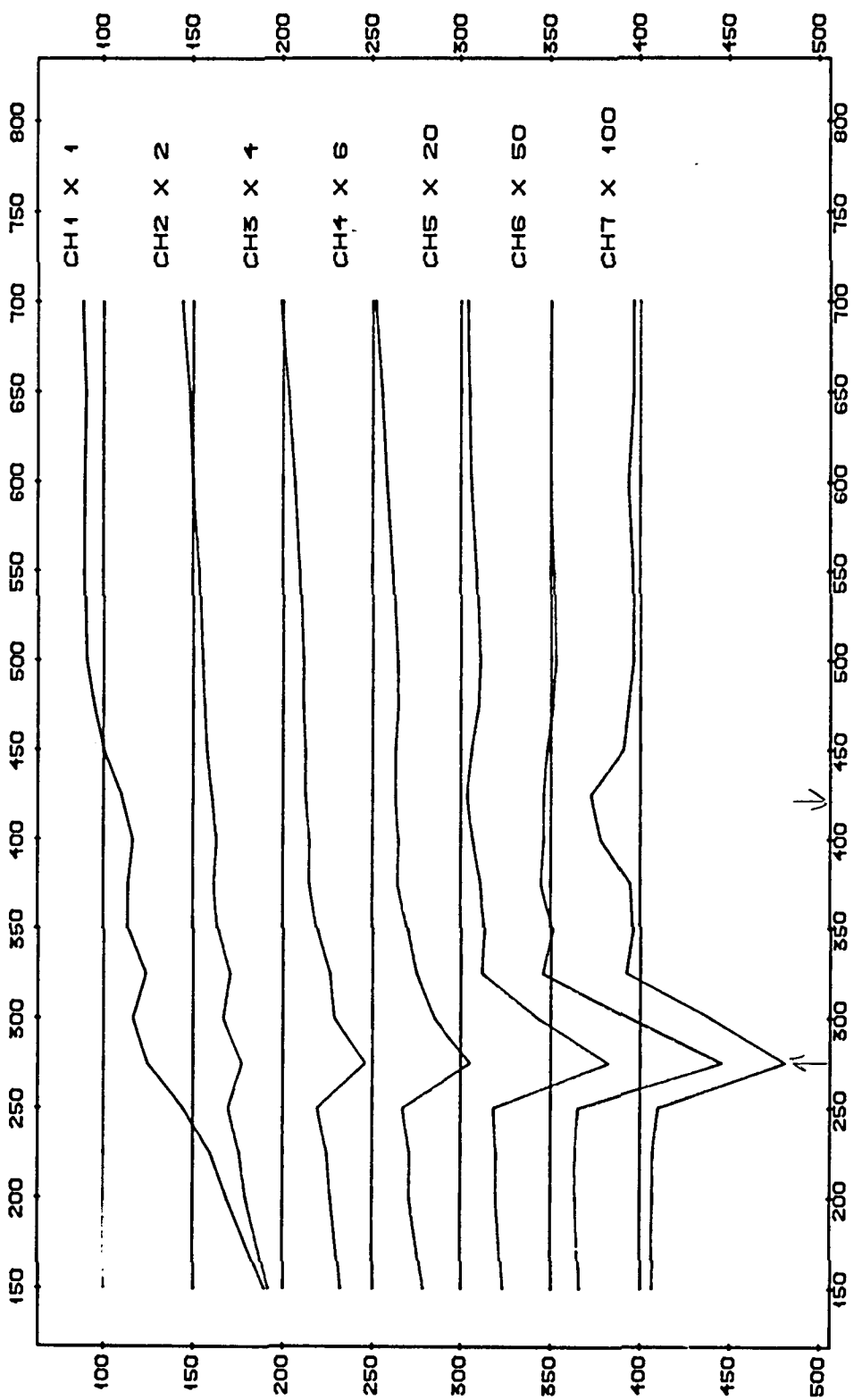
TEM-HOR : 1 CM PÅ KURVEN TILSVARER 200.00 UV
SKJERNGREPSPUNKTET MED HALDELINJEN TILSVARER .00 UV

NGU-GRONG BRØDRE A/S TEM HOR. PROFIL B. GROUNDED CABLE (N)	HALDESTOKK	OMS. 1967
	TEM.	JUL. 1967
JOMA RØYRVIK, NORD-TRONDALAG	1110000	TRAC.
NORGES GELOGISKE TRONDHEIM	KPR.	
TUNING NR.	14	KARTBLAD NR.
		1924 I

1 km

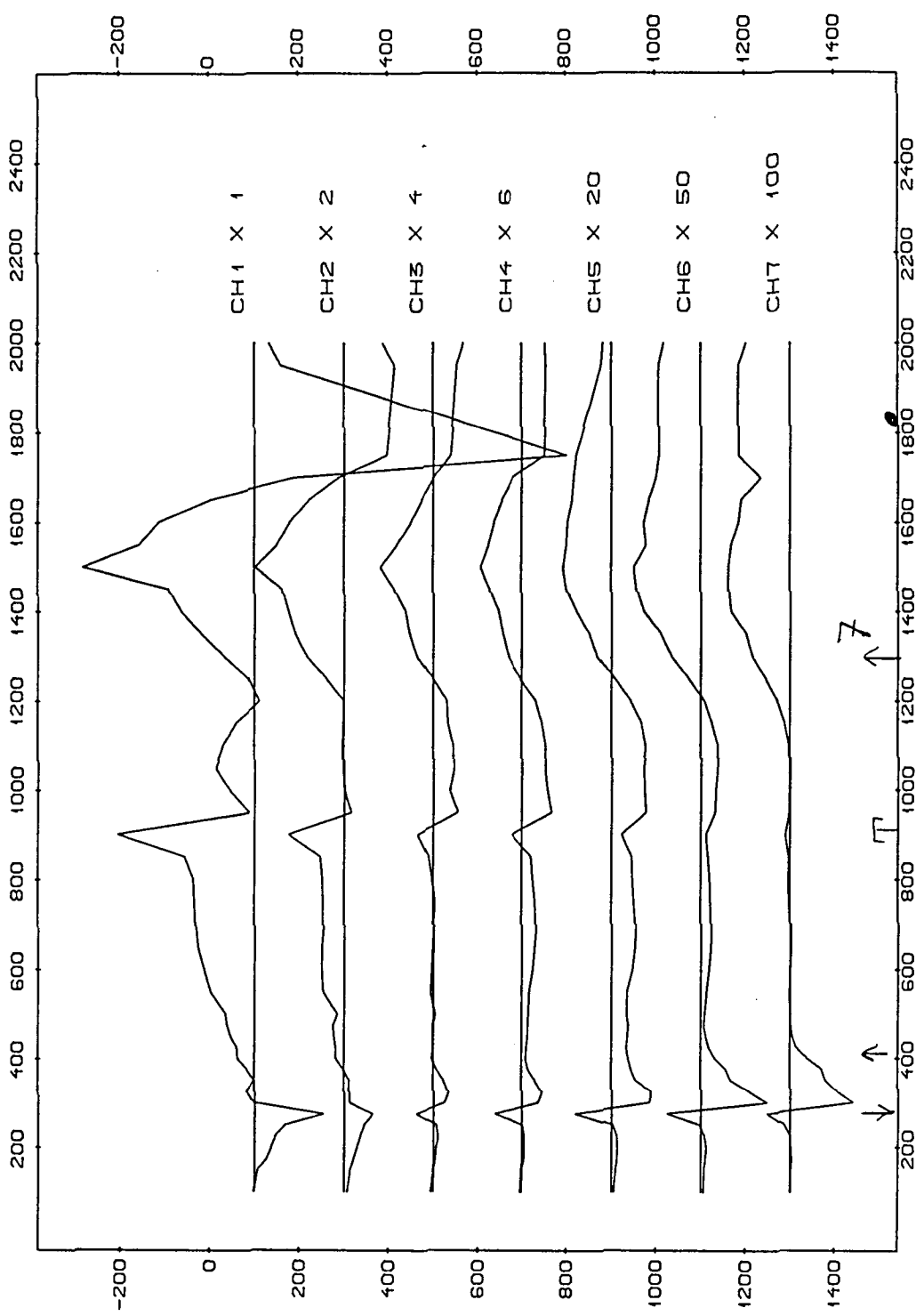


NU-GRONG BRUBER A/S	MÅLESTOKK	OMS. INN	JUN. 1967
TEH-VENT, PROFIL B (SHORT). G-CABLE (N)	113000	TEM.	JUL. 1967
JOMA		TRAC.	
RØRVIK, NORD-TRONDALAG		KPR.	
NORGES GELOGISK EKSPEDISJON			
TRONDHEIM			
TRINING NR.	15	KARTNUM NR.	1924 1

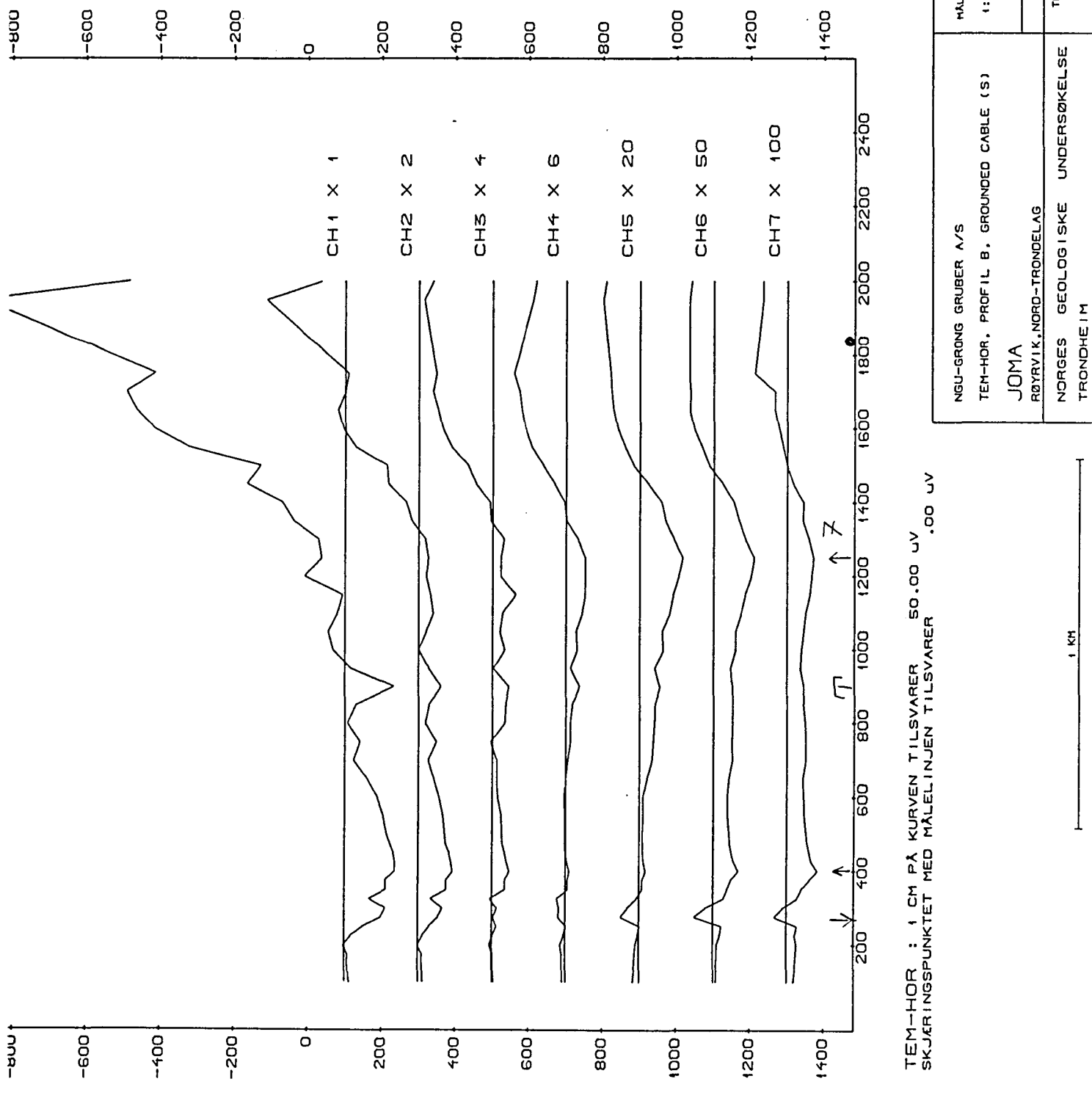


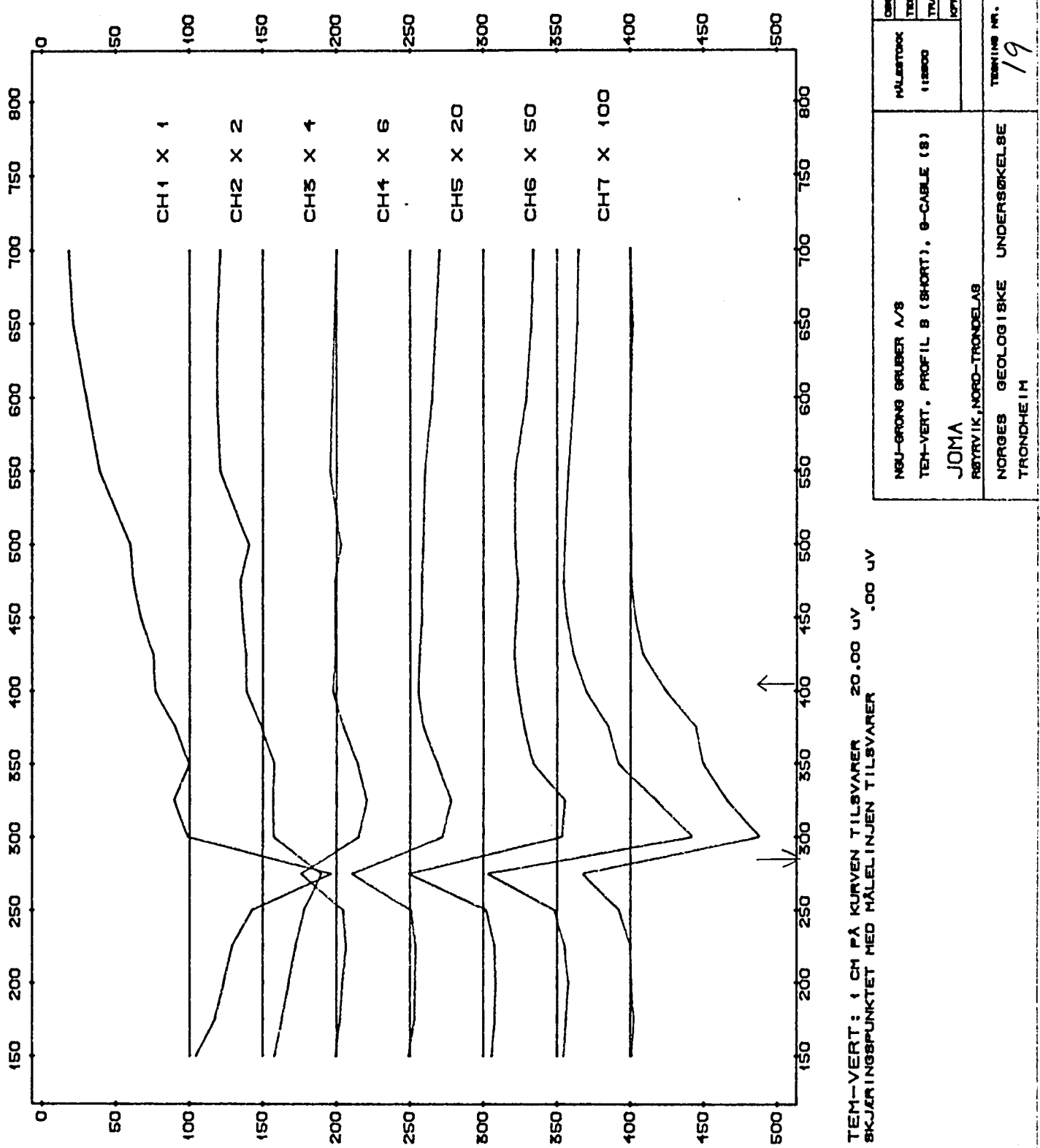
TEM-HOR : 1 CM PÅ KURVEN TILSVARER 200.00 UV
SKJÆR INSPUNKTET MED MÅLELNJEN TILSVARER .00 UV

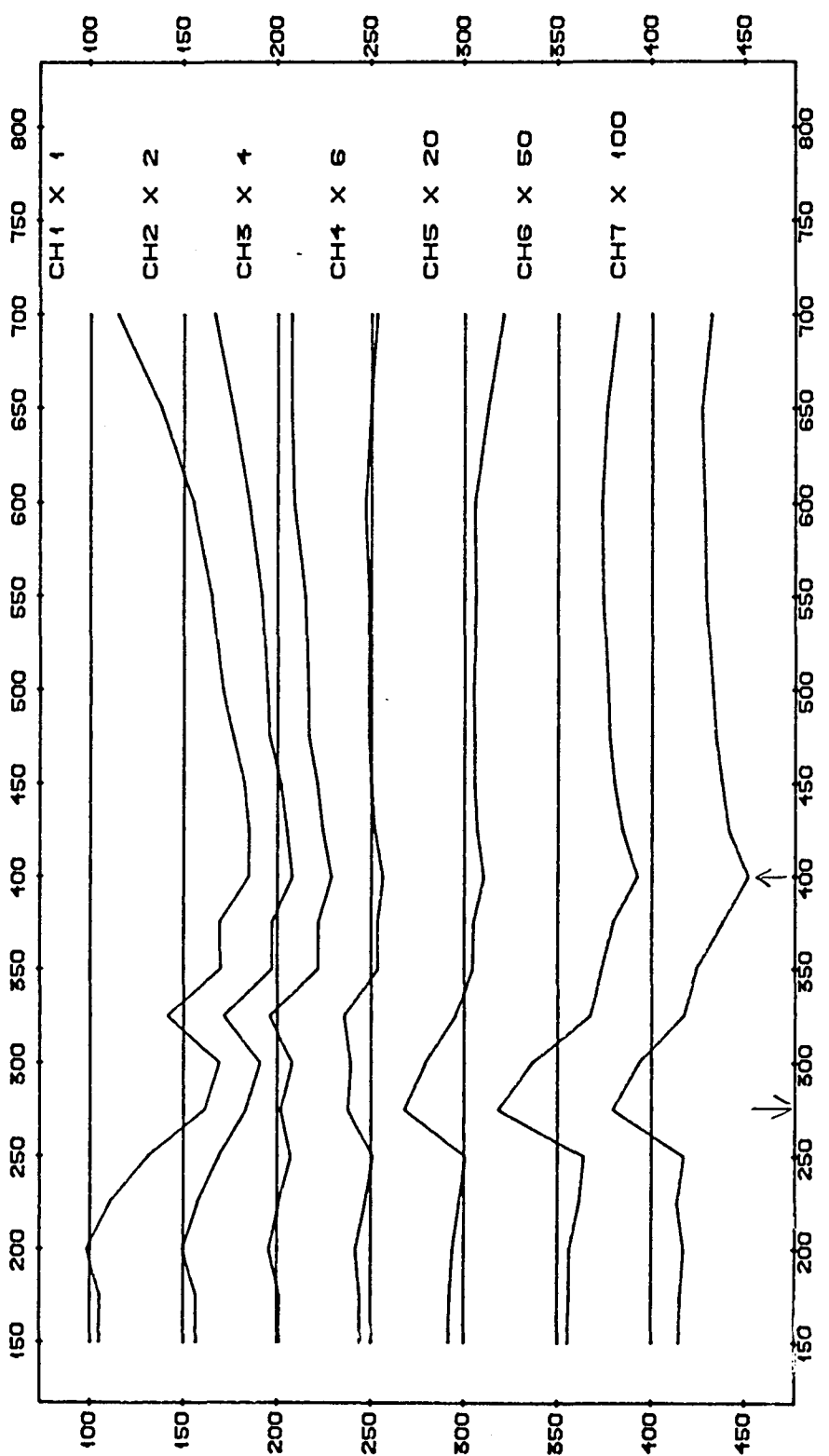
NEU-STRONG GRUBER A/S	DATAKODE	JUN 1987
TEM HOR. PROFIL B (SHORT). G-CABLE (N)	TEKNIK.	JUL 1987
JOMA	TRAC.	
JOMA	KPR.	
REYRVIK, NORO-TRONDHEIM		
NORGES GEOLOGISKE UNDERSØKELSE	TERNING NR.	KARTBLAD NR.
TRONDHEIM	1/6	1924 1



NGU-GRONG GRUBER A/S	OBS. 80	JUN 1987
TEM VERT. PROFIL B. GROUNDED CABLE (S)	TEGN.	JUL 1987
JOMA	1:10000	TRAC.
RØYRVIK, NORD-TRONDALAG	KFR.	
NORGES GELOGISK SKE	TEGNING NR.	KARTBLAD NR.
TRONDHEIM	7	1924 1

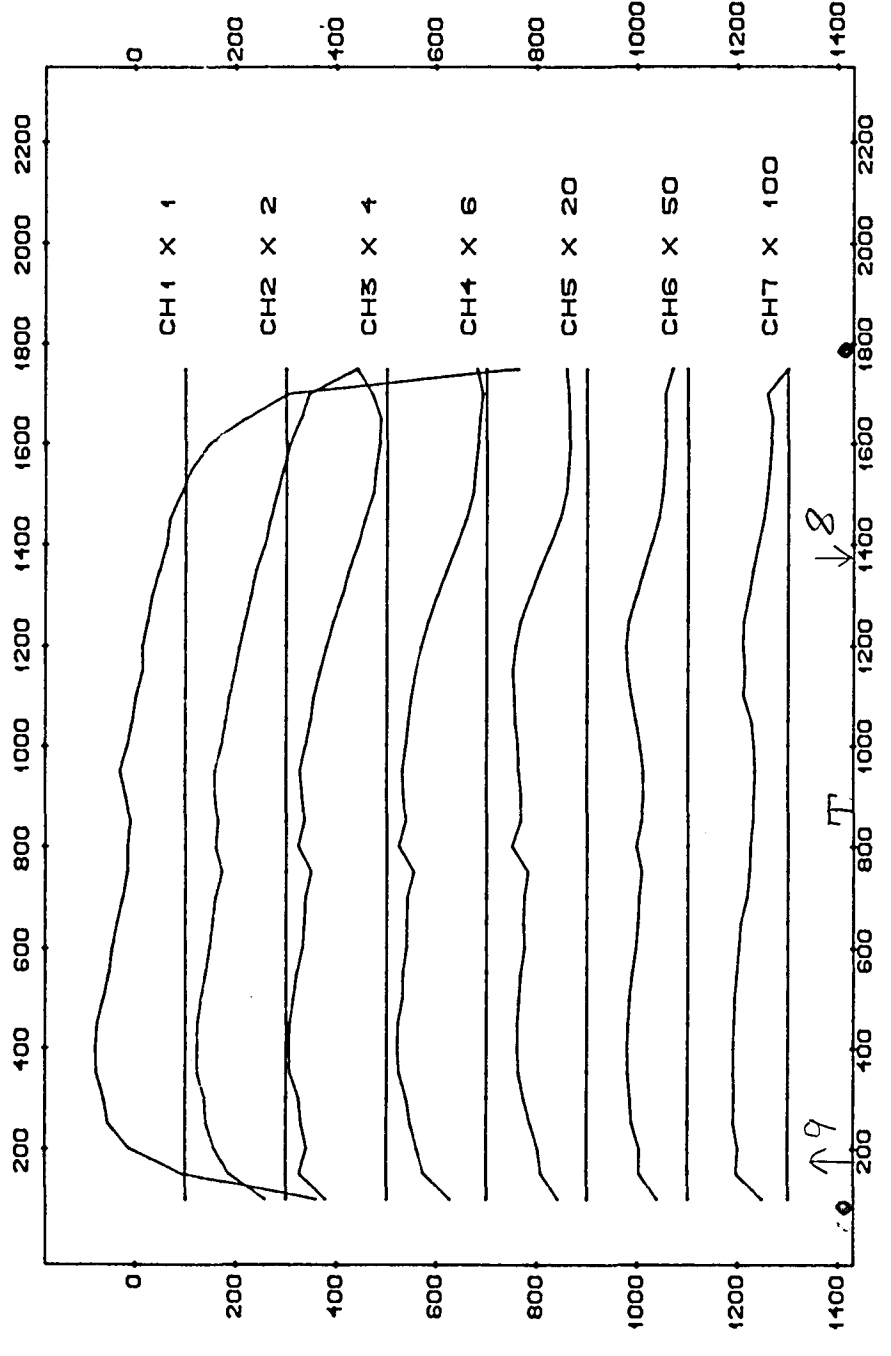






TEM-HOR : 1 CM PÅ KURVEN TILSVARER 20.00 μV
SKJÄRINGSPOKET MED MÅLELINJEN TILSVARER .00 μV

NU-GRONE BRÜGER A/S	MULDENTOK	JUN. 1987
TEM-HOR. PROFIL B (SHORT). G-CABLE (S)	112000	JUL. 1987
JOMA	TRAC.	
RØRVIK, NORD-TRONDALAG	KPR.	
NORGES GEOL OG SKE		KARTBLAD NR.
TRONDHEIM		20
		1924 1

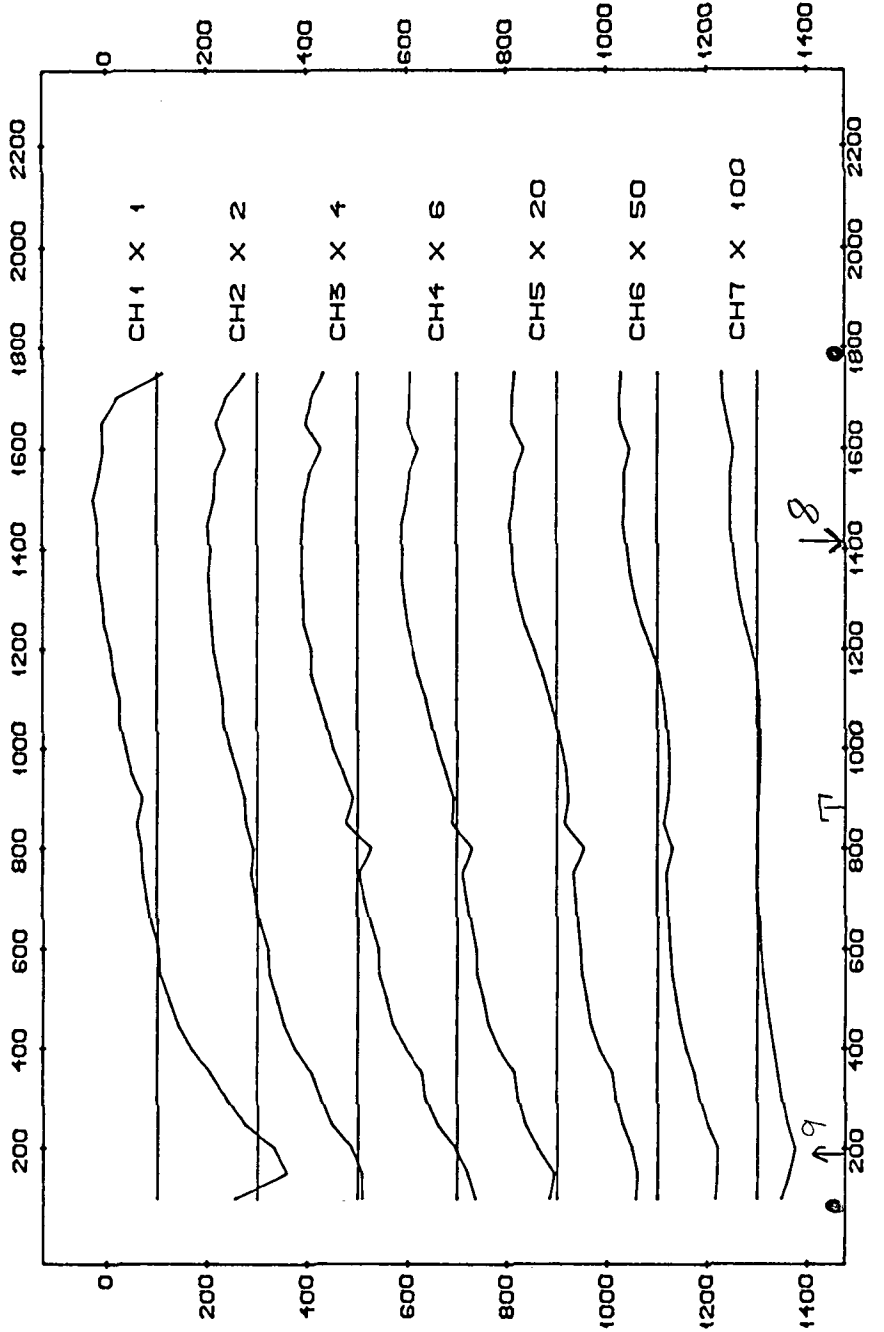


TEM-VERT: 1 CM PÅ KURVEN TILSVARER 200.00 UV
SKJØRINGSPOINTE MED MÅLELINJEN TILSVARER .00 UV

NU-GRONG GRUBER AS	CENS. NO	JUN 1987
TEM VERTICAL. PROFIL C, LOOP	TECH.	JUL 1987
JOMA	TRAC.	
RØYRVIK, NORD-TRONDALAG	KPR.	
NORGES GELOGISKE UNDERSØKELSE		
TRONDHEIM		

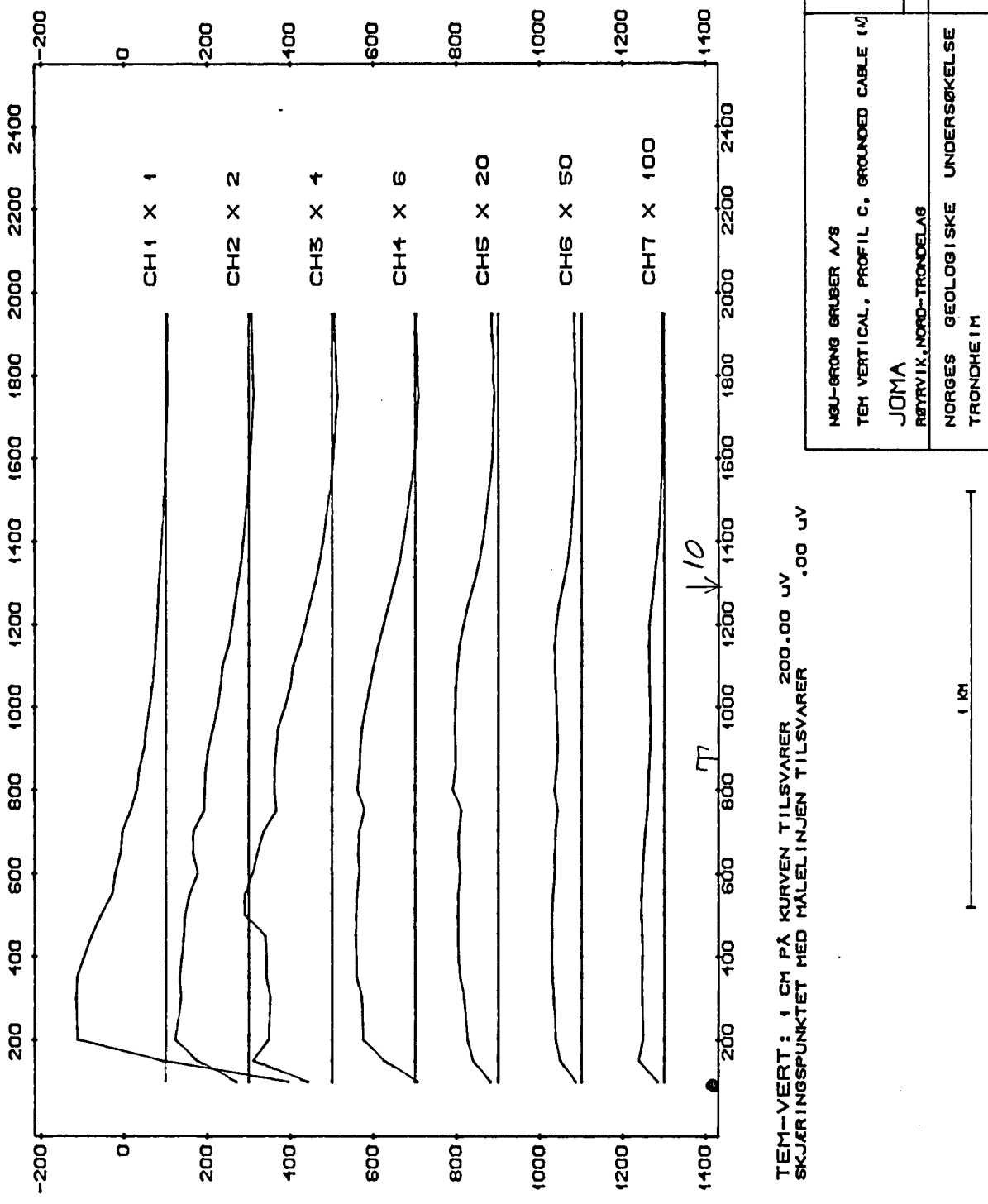
21	KARTBLAD NR.
1924 I	TEMNING NR.

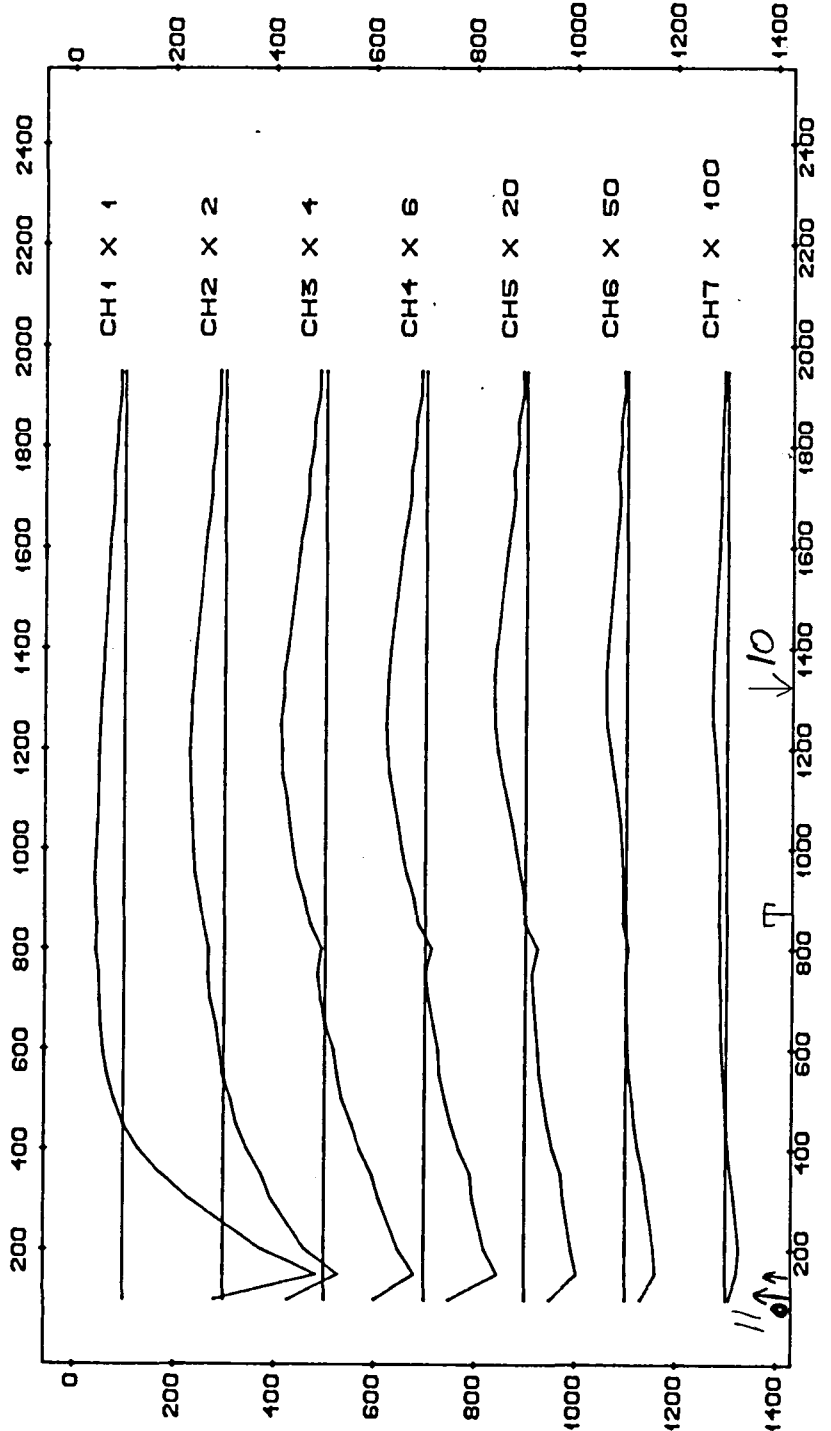
1 km



TEM-HOR : 1 CM PÅ KURVEN TILSVARER 200.00 UV
SKJÄRINGSPOINTE MED MALEI NEN TILSVARER .00 UV

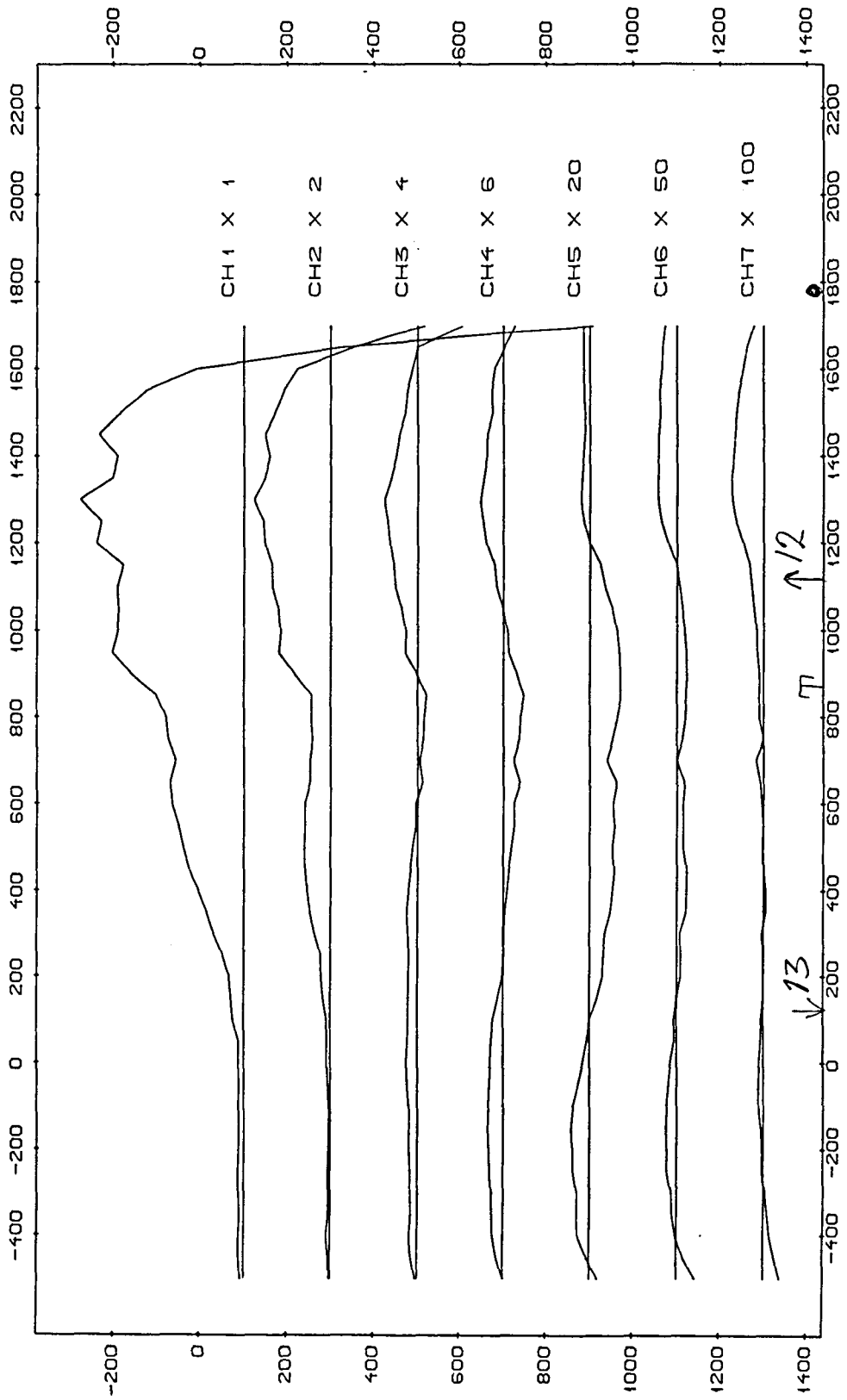
NGU-GRONG GRUBER A/S	OBS. NR.	JUN. 1927
TEM HORI. PROFIL C. LOOP	MÅLSTOKK	TESTS.
	1110000	JUL. 1927
	TRAC.	
	KPR.	
JOMA		
RØYRVIK, NORD-TRONDHEIM		
NORGES GEOLOG ISKE	UNDERØKELSE	KARTBLAD NR.
TRONDHEIM		22
		1924 I





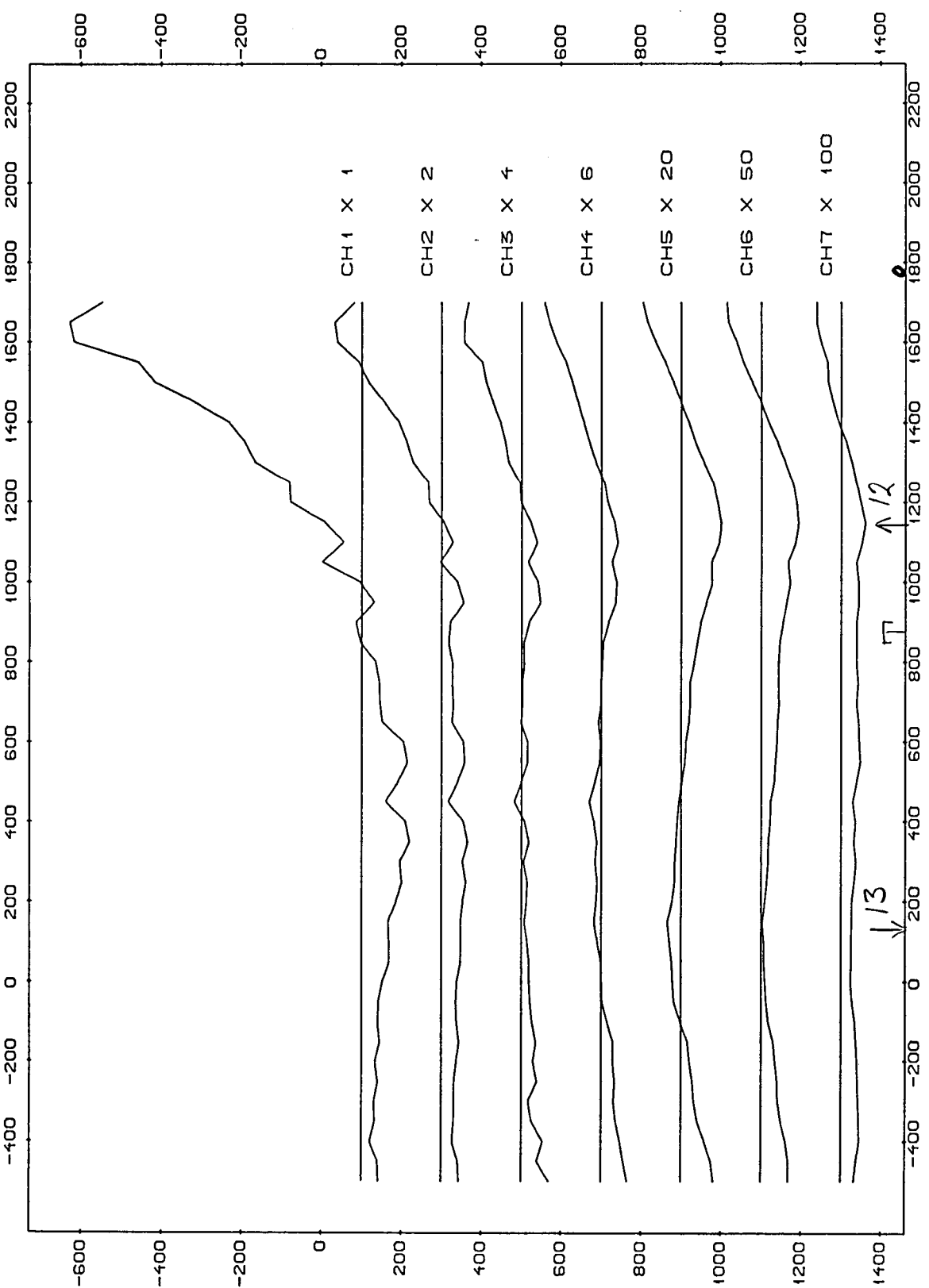
NEU-GRONG GRUBER A/S	HAUGSTAD	JUN 1987
TEH-HOR. PROFIL C, GROUNDED CABLE (N)	1110000	JUL 1987
JOMA	TRAC.	
PÅTRVIK, NORD-TRONDALAB	KPR.	
NORGES GEOLOGISKE UNDERSØKELSE		KARTBLAD NR.
TRONDHEIM	24	1924 1

1 km



TEM-VERT: 1 CM PA KURVEN TILSVARER SKJERINGSPUNKTET MED MÅLELINJEN TILSVARER .00 UV

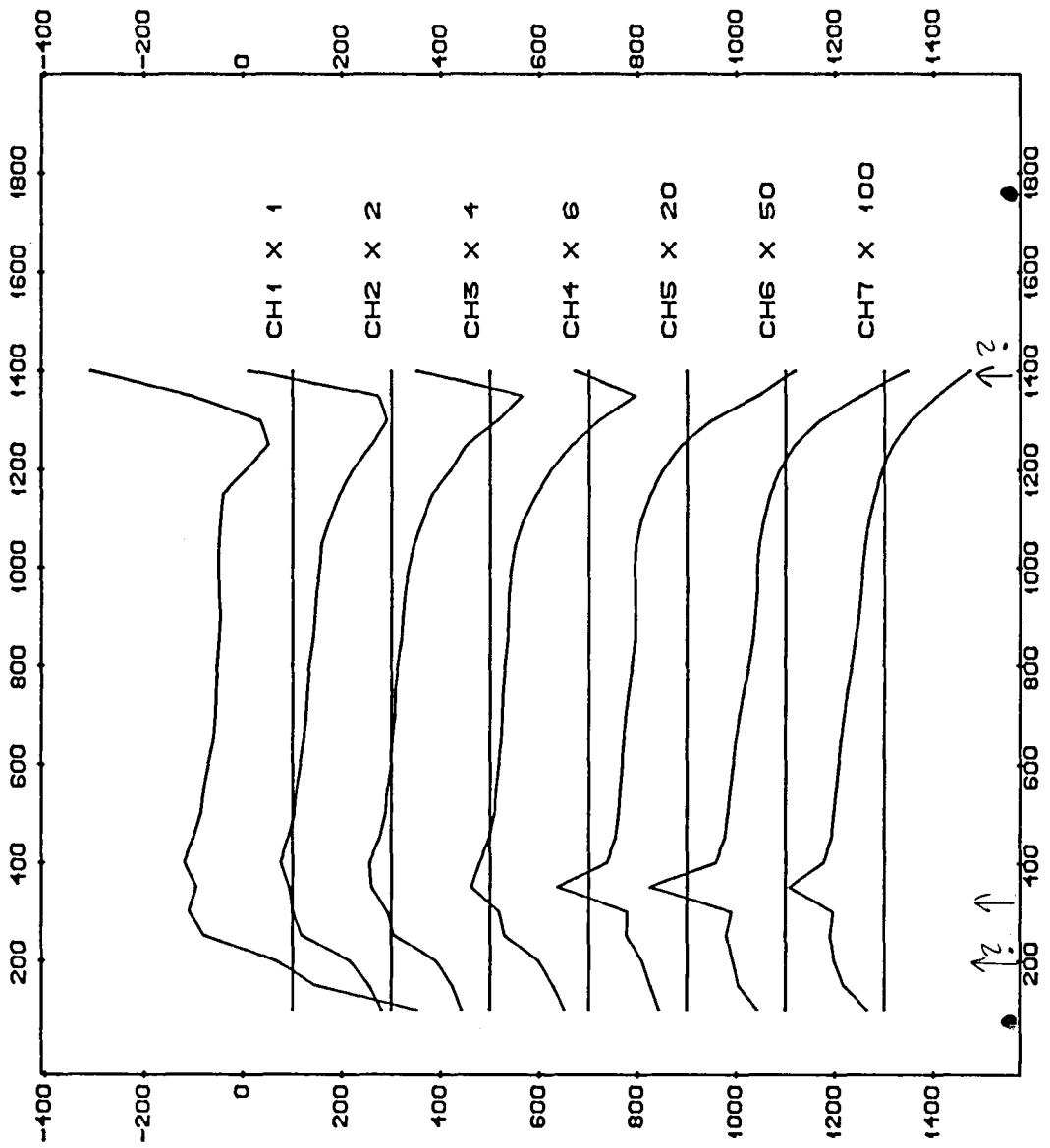
NGU-GRONG GRUBER A/S	MÅLESTOKK	OBS. 80	JUN 1987
TEM-VERT. PROFIL C. GROUNDED CABLE (S)	TEGN.	JUL 1987	
1 : 10000	TRAC.		
JOMA	KFR.		
RØYRVIK, NORD-TRONDALAG			
NORGES GELOGISKE UNDERSØKELSE	TEGNING NR.	KARTBLAD NR.	
TRONDHEIM	25	1924	1



TEM-HOR : 1 CM PÅ KURVEN TILSVARER SKJERINGSPOINDET MED MÅLELINJEN TILSVARER 50.00 UV .00 JU

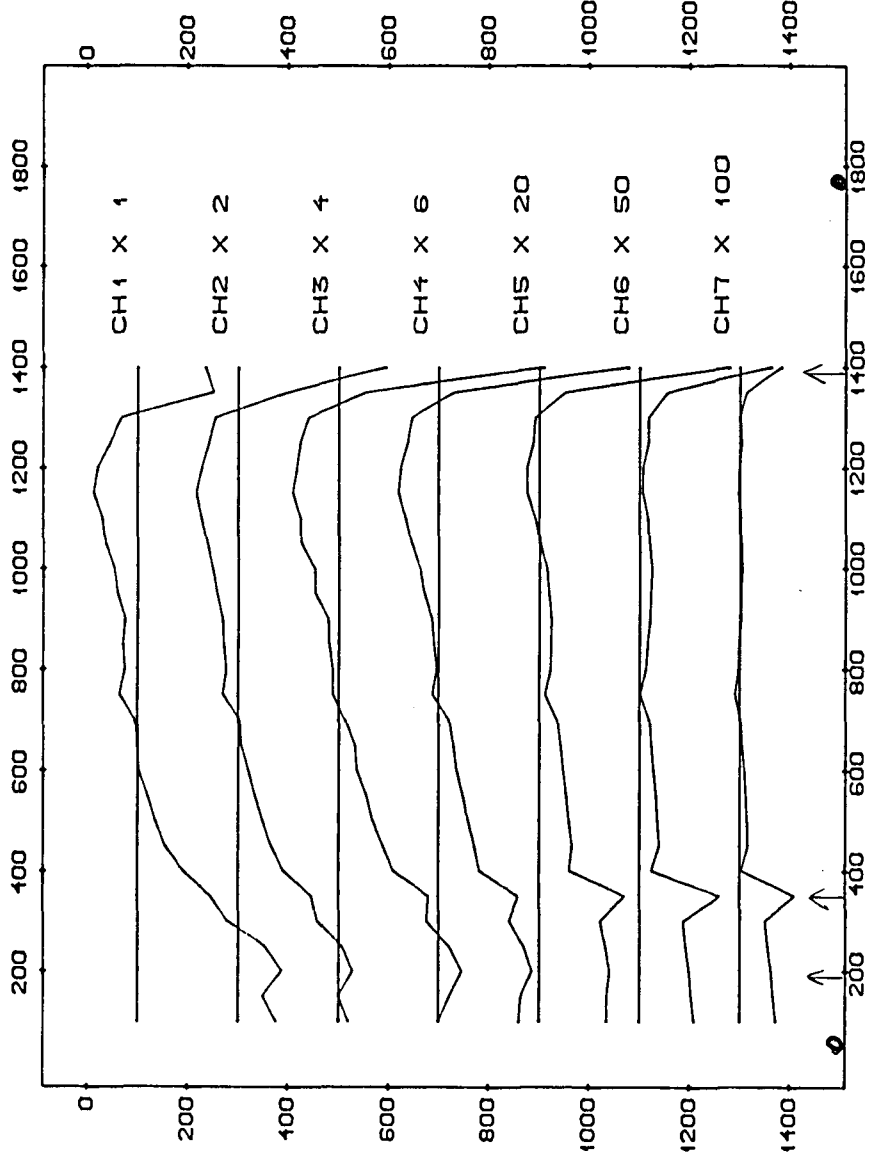
NGU-GRØNG GRUBER A/S TEM-HOR, PROFIL C, GROUNDED CABLE (S)	HALESTOKK 1:10000 JOMA ROYVIK, NORD-TRONDALAG	OBS. 80 TEGN. 1:10000 KFR.	JUN 1987 JUL 1987
NORGES GEOLOGISKE UNDERSØKELSE TRONDHEIM	TEGNING NR. 26	KARTBLAD NR. 1924 I	

1 KM



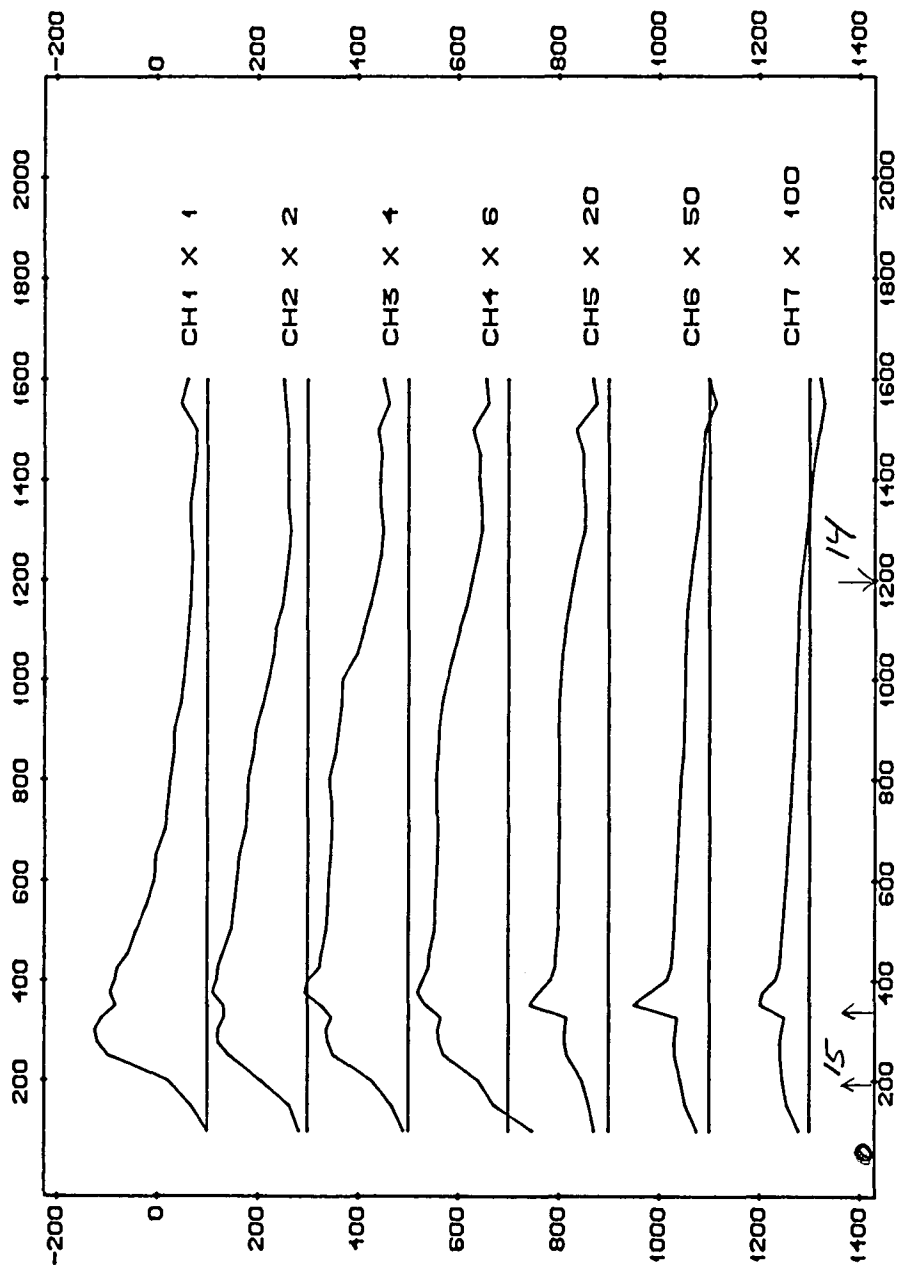
NEU-GRONG GRUBER A/S	DATA. NO.	JUN 1987
TEM VERTICAL PROFIL D. LOOP	TIME.	JUL 1987
JOMA	TRAC.	
RØSTRAVIK, NORD-TRØNDALAG	OPT.	
NORGES GEOL OG ISKE UNDERSØKELSE	TERMINAL NO.	KARTBLAD NR.
TRONDHEIM	27	1924 1

1 km



TEM-HOR : 1 CM PÅ KURVEN TILSVARER 200.00 UV
SKJERINGSPOINDET MED MÅLELINJEN TILSVARER .00 UV

NGU-GRONG GRUBER A/S	OBS. NO	JUN 1967
TEM HOR. PROFIL D. LOOP	TEGM.	JUL 1967
JOMA	1:10000	TRAC.
RØYRVIK, NORD-TRONDALAG	KOFF.	
NORGES GELOGISKE UNDERSØKELSE		KARTBLAD NR.
TRONDHEIM	28	1924 I



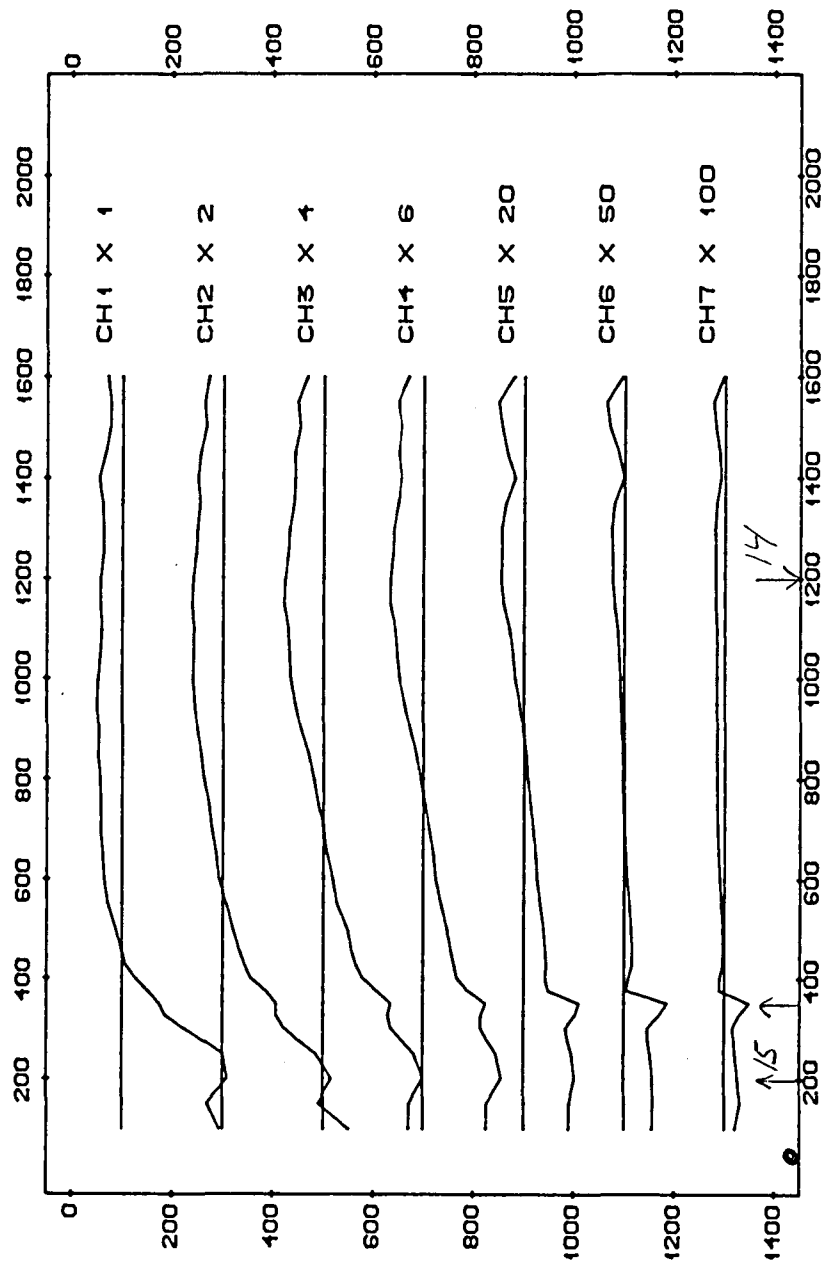
TEM-VERT: 1 CM PÅ KURVEN TILSVARER 200.00 UV
SKJØRINGSPOINTE MED MÅLELINJEN TILSVARER .00 UV

NEU-BRONG GRUBER A/S
TEM VERT. PROFIL D. GROUNDED CABLE (N)

JOMA
RØSTVIK, NORD-TRØNDELAG

NORGES GEOLOGISKE UNDERSØKELSE	TOMING NR.	KARTBLAD NR.
TRONDHEIM	29	1924 I

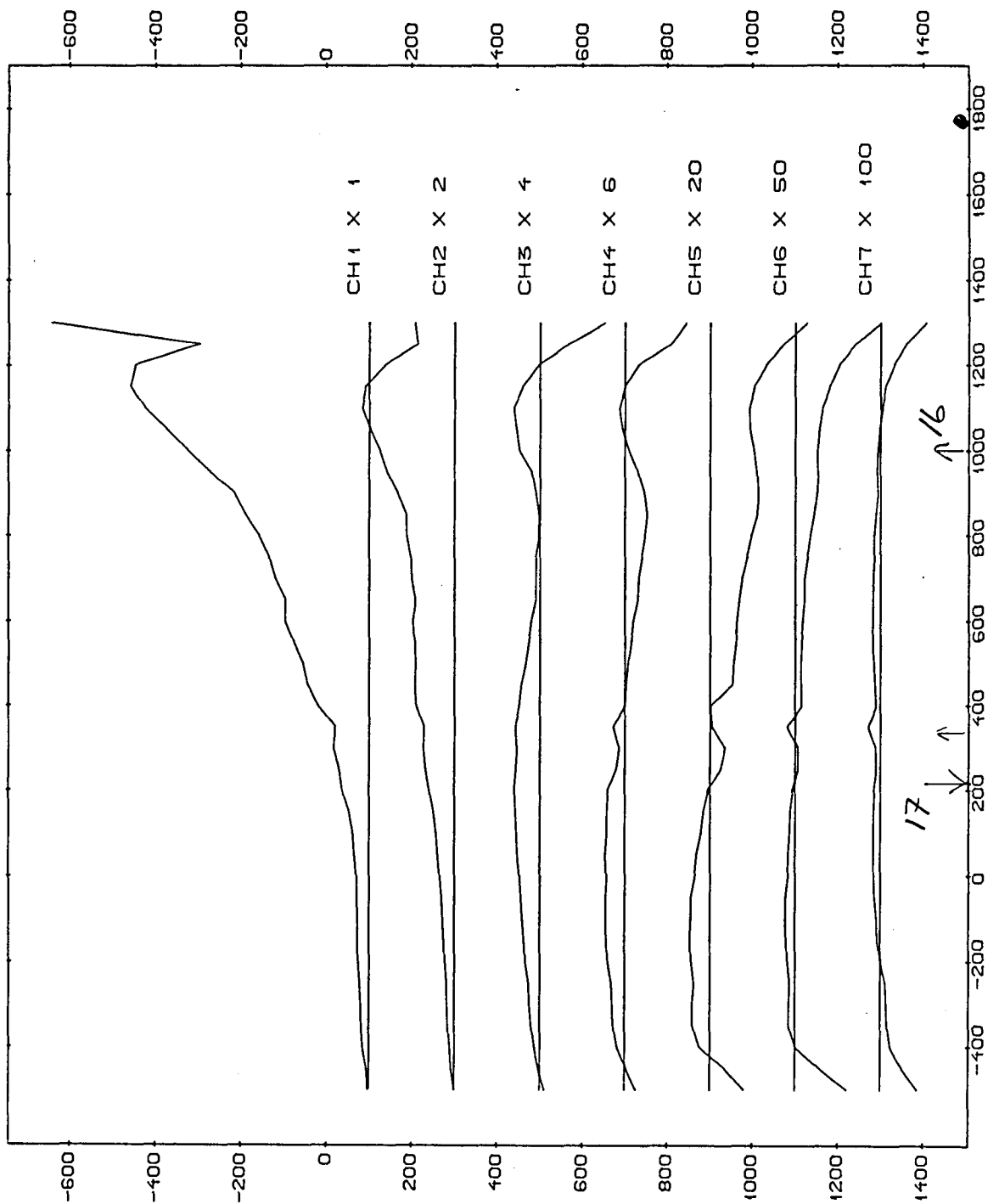
HAUDSTOKK	DATA NO.
TEM.	JUL. 1987
1110000	TRAC.
	KOPP.



TEM-HOR : 1 CM PÅ KURVEN TILSVARER 200.00 UV
SKJØRINGSPOINDET MED MÅLELINJEN TILSVARER .00 UV

NEI-ERGON SPØRER A/S	OMS. NO.	JAN 1967
TEM HOR. PROFIL D. GROUNDED CABLE (N)	TELENOX	JUL. 1967
JOMA	1110000	THAC.
RØSTVIK, NORD-TRONDALAS		HFR.
NORGES GELOGISKE UNDERSØKELSE		
TRONDHEIM	TOIMIT INN.	KARTBLAD NR.
	30	1924 I

1 KM

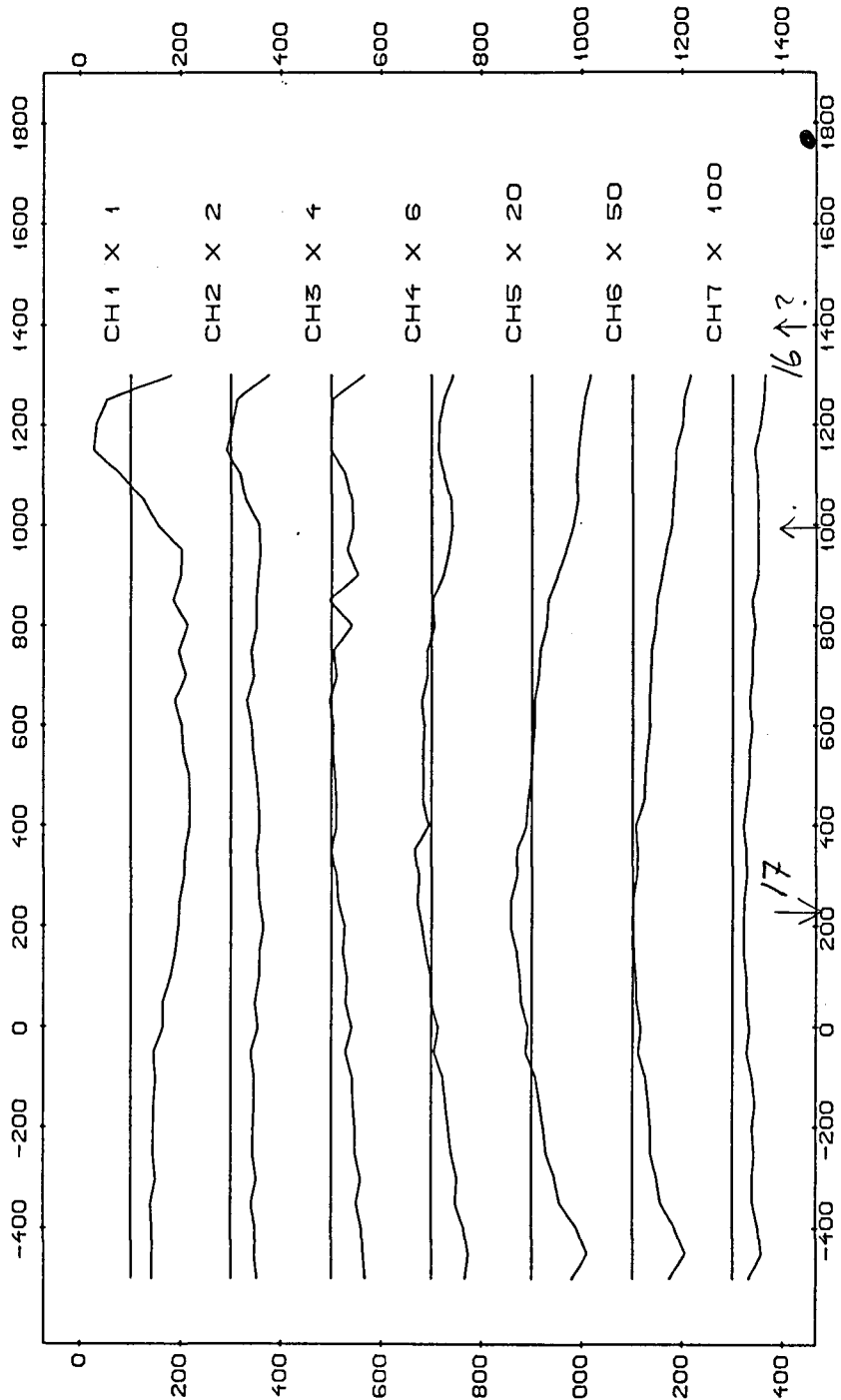


TEM-VERT: 1 CM PÅ KURVEN TILSVÄRER SKJÄRINGSPOINTET MED MÄLELINJEN TILSVÄRER .00 UV

NGU-GRONG GRUBER A/S	OBS. DD	JUN 1987
TEM VERT, PROFIL D, GROUNDED CABLE (S)	TEGN.	JUL 1987
JOMA	1:10000	TRAC.
ROYRVIK, NORD-TRONDALAG	KF.R.	

NORGES GEOLOGISKE UNDERSØKELSE	TEGNING NR.	KARTBLAD NR.
TRONDHEIM	31	1924 1

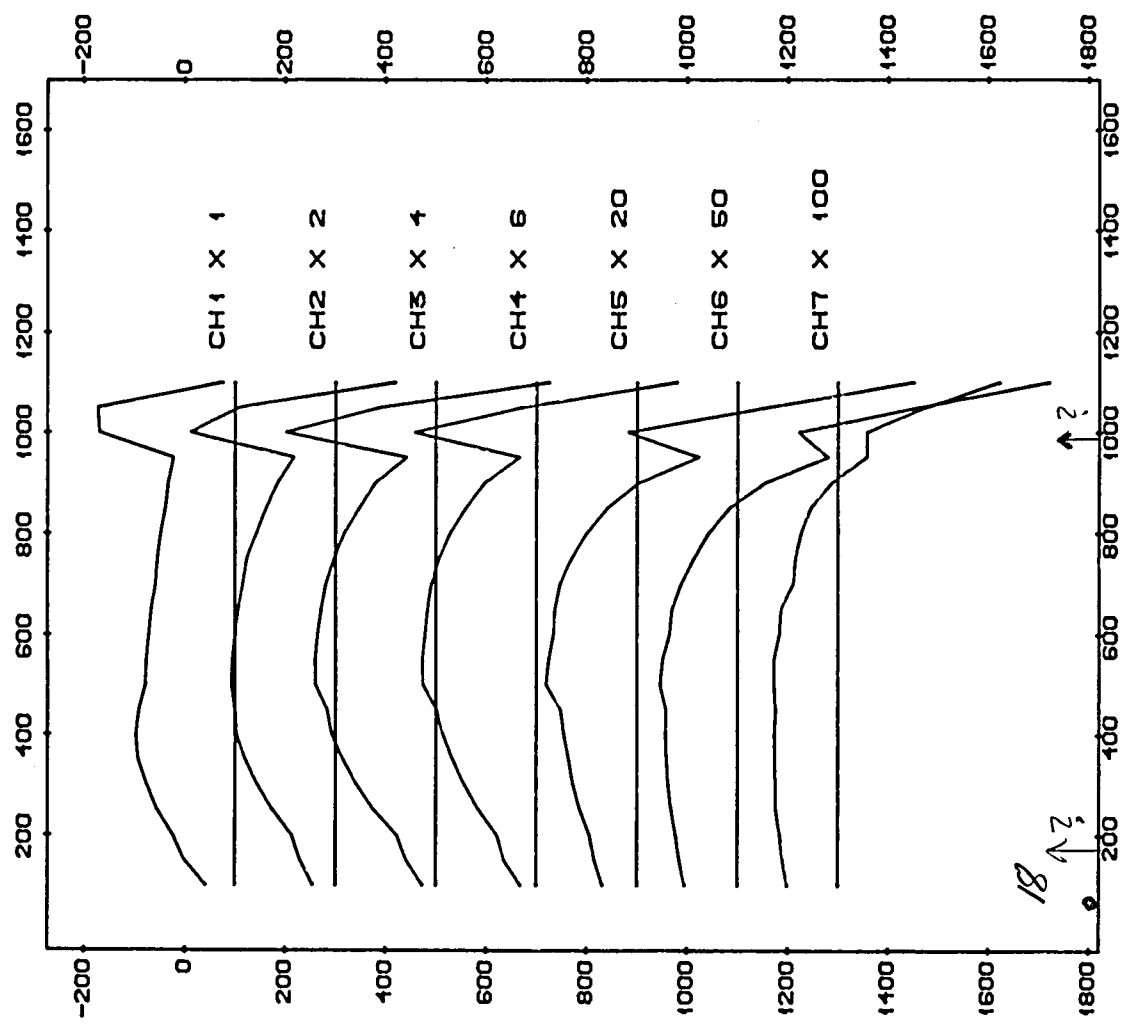
1 km



TEM-HOR : 1 CM PÅ KURVEN TILSVARER
SKJØRINGSPOINDET MED MÅLELINJEN TILSVARER .00 UV

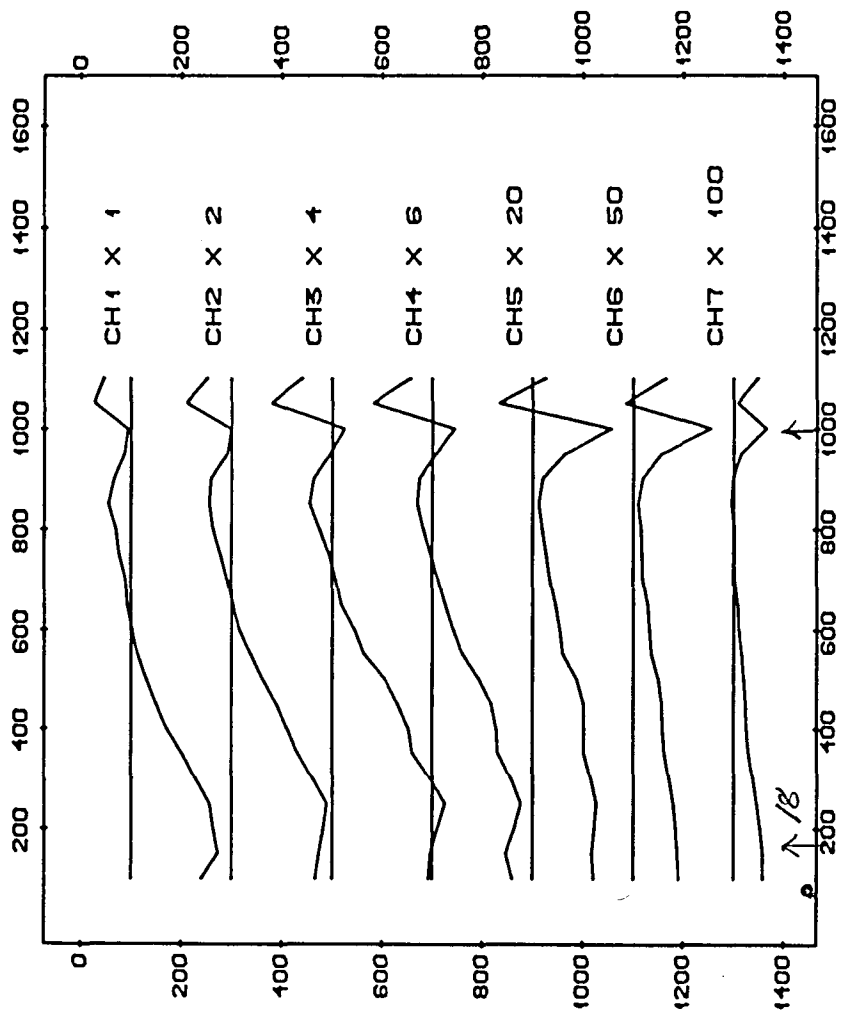
NGU-GRONG GRUBER A/S	MALESTOKK	OBS. 80	JUN 1987
TEM HOR. PROFIL D. GROUNDED CABLE (S)	TEGN.		JUL 1987
JOMA	1:10000	TRAC.	
RØrvik, NORD-TRONDHEIM	KFR.		
NORGES GEOLOGISKE UNDERSØKELSE		TEKNING NR.	KARTBLAD NR.
TRONDHEIM		32	1924

1 KM



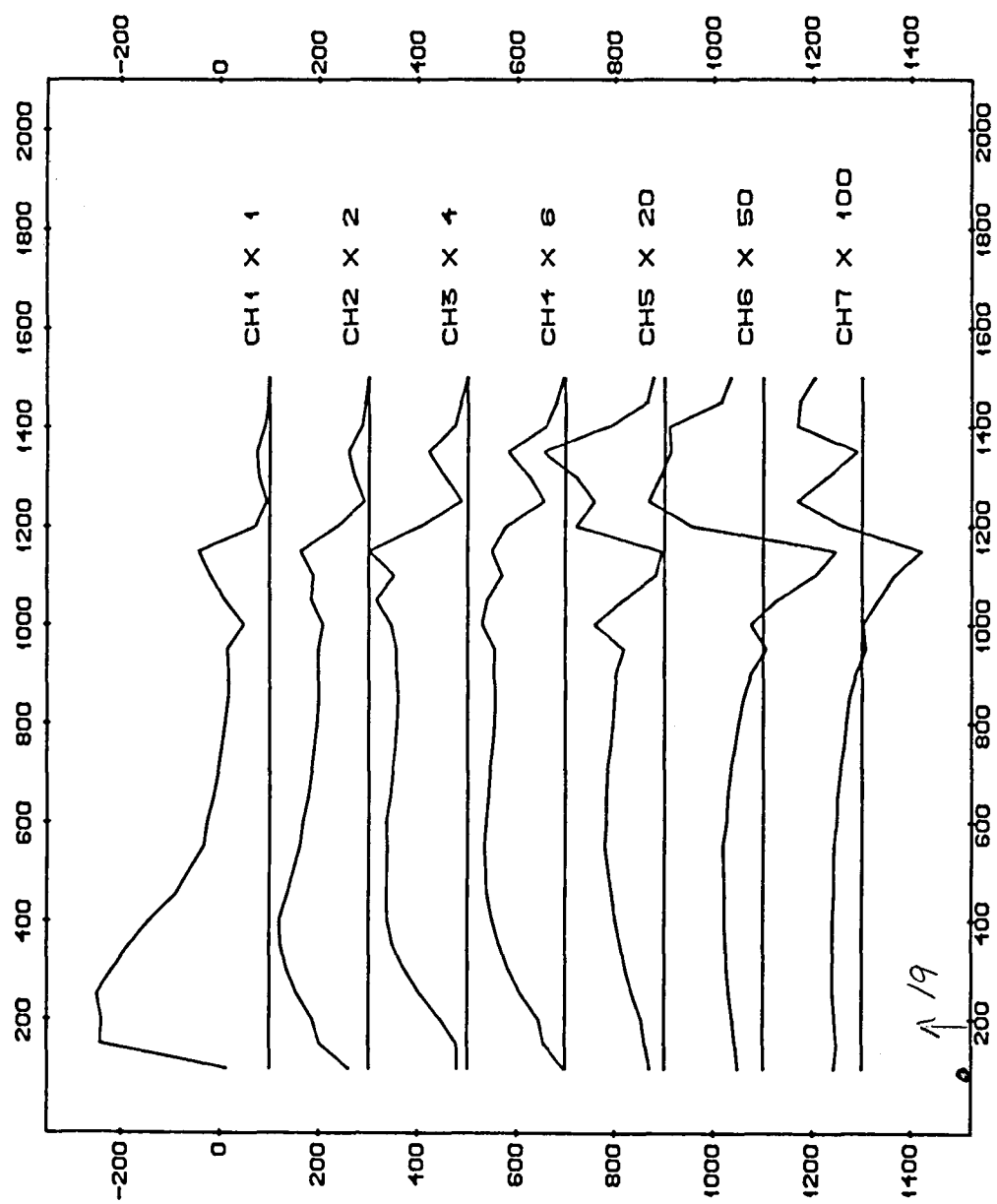
TEM-VERT: 1 CM PA KURVEN TILSVARER 200.00 UV
SKJERINGSPOINTET MED MÅLEINNEN TILSVARER .00 UV

NEU-BRONS GRUBER A/S	OMS. 80	JUN 1927
TEH VERTICAL. PROFIL E, LOOP	1110000	JUL 1927
JOMA	TRAC.	
RØTTRVIK-NORD-TRONDALAS	KPPI.	
NORGES GEOLOGISKE UNDERSEKELSE	TERNING NR.	KARTELLNR.
TRONDHEIM	33	1924 1



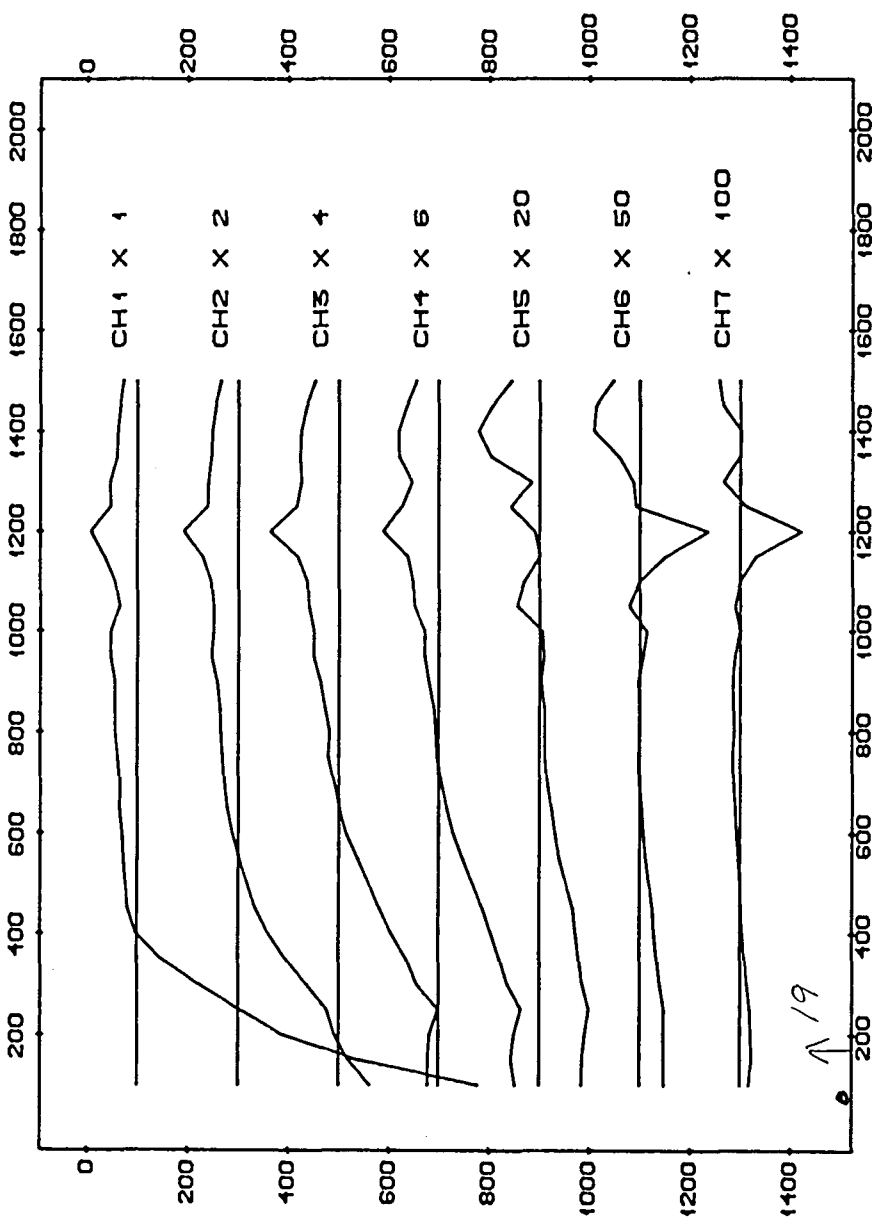
TEM-HOR : 1 CM PÅ KURVEN TILSVARER 200.00 μ V
SKJØRINGSPOINDET MED HALLEN INNEN TILSVARER .00 μ V

NEU-BRONG GRUBER A/S	JAN. 1967
TEM HOR. PROFIL E. LOOP	JUL. 1967
JOMA	TRAC.
PETROYIK, NORO-TRONDALAS	KOPR.
NORGES GEOLOGISKE UNDERSØKELSE	TOMTING NR.
TRONDHEIM	34
	KARTBLAD NR.
	1924 I



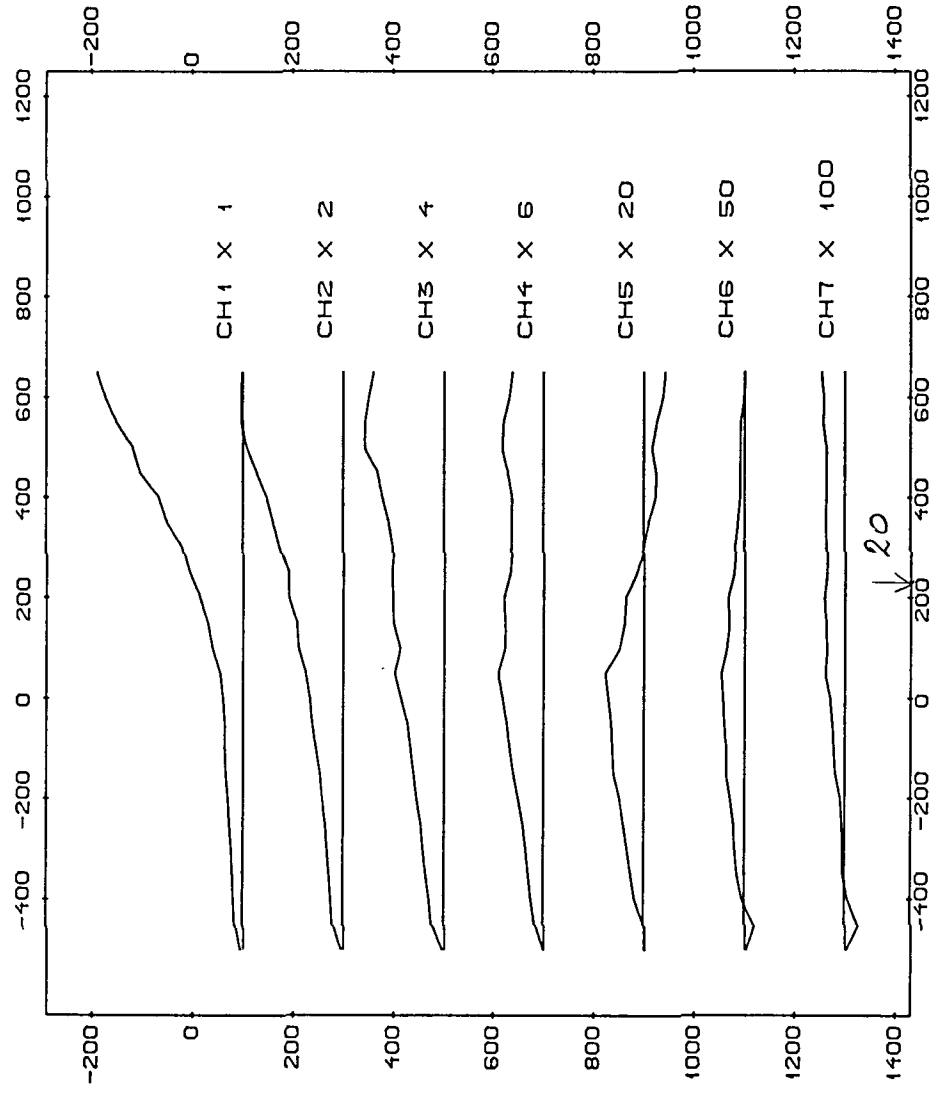
TEM-VERT: 1 CM PÅ KURVEN TILSVARER 200.00 UV
SKJØRINGSPOINTE MED MÅLELINJEN TILSVARER .00 UV

NGU-BRONS GRUBER A/S	JUN. 1987
TEM VERT. PROFIL E. GROUNDED CABLE (N)	JUL. 1987
JOMA	SEP.
JØRVIK, NORD-TRONDALAG	
NORGES GEOLOGISKE UNDERSØKELSE	KARTBLAD NR.
TRONDHEIM	35- 1924 1



TEM-HOR : 1 CM PÅ KURVEN TILSVARER 200.00 UV
SKJØRINGSPOINDET MED MÅLELN INGEN TILSVARER .00 UV

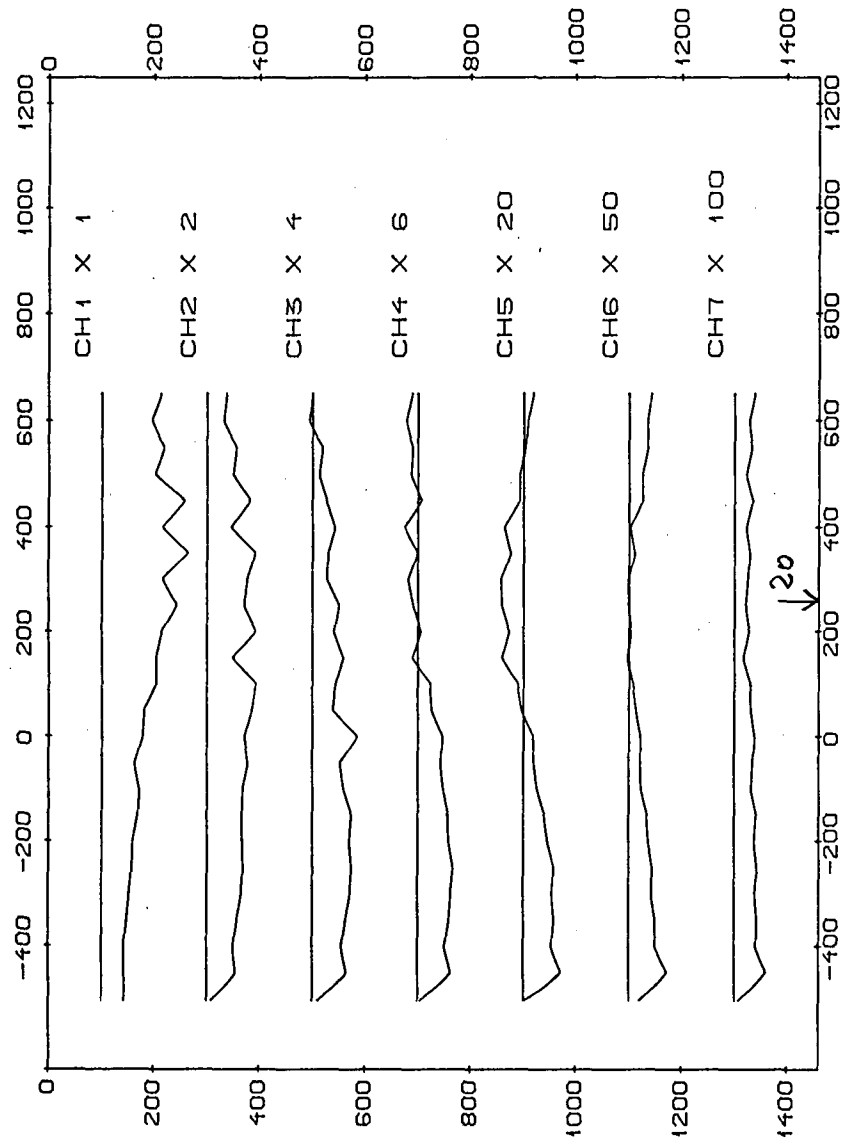
NU-GRØNS BRUBER A/S	CHM. 1927
TEM HOR. PROFIL E. GROUNDED CABLE (N)	JUL. 1927
JOMA	TRAC.
RØYRVIK, NORD-TRONDALAG	KZK.
NORGES GEOLOGISKE UNDERSØKELSE	TRONDHEIM
TRONDHEIM	KARTBLAD NR.
	36
	1924 I



TEM-VERT: 1 CM PÅ KURVEN TILSVARER SKJØRINGSPOKET MED MÅLELINJEN TILSVARER .00 UV

NGU-GRONG GRUBER A/S	MÅLESTOKK	OBS. BG	JUN. 1987
TEM VERT. PROFIL E, GROUNDED CABLE (E)	1:10000	TEGN.	JUL. 1987
JOMA	TRAC.		
RØYRVIK, NORD-TRONDELAG	KFR.		
NORGES GELOGISKE UNDERSØKELSE			
TRONDHEIM			
		TEGNING NR.	KARTBLAD NR.
		37	1924 1

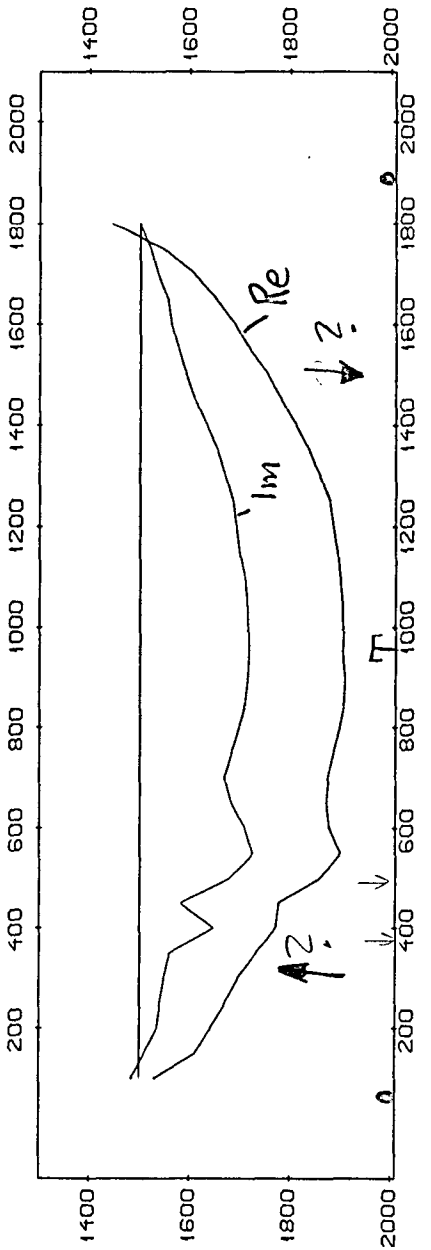
1 KM



TEM-HOR : 1 CM PÅ KURVEN TILSVARER 50.00 UV
SKJØRINGSPOINTE MED MÅLELINJEN TILSVARER .00 UV

NGU-GRUND GRUBER A/S	MALESTØKK	OBS. BG	JUN 1987
TEM HOR. PROFIL E. GROUNDED CABLE (S)	1:10000	TEGN.	JUL 1987
JOMA	TRAC.		
RØYVIK, NORD-TRONDALAG	KFR.		
NORGES GEOL OG ISKE	UNDERSØKELSE	TEGNING NR.	KARTBLAD NR.
TRONDHEIM		38	1924 1

1 KM

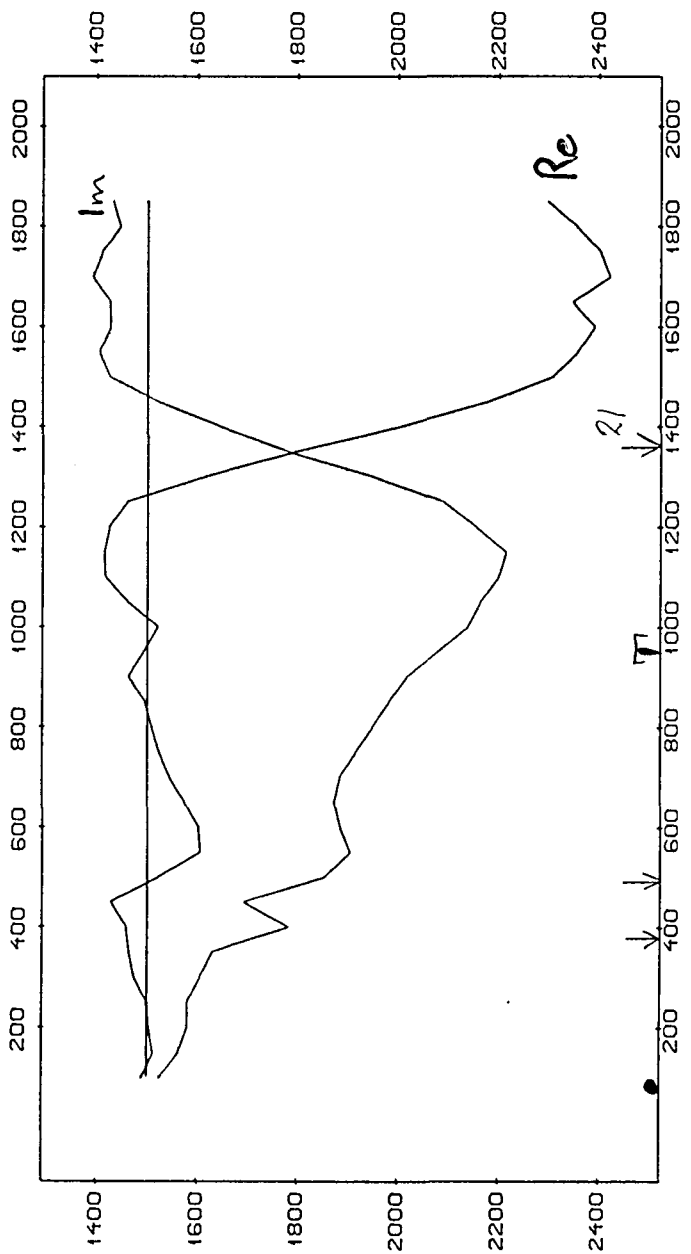


Re 25 Hz: 1 CM PÅ KURVEN TILSVARER 10.00 *
SKJØRINGSPOINDET MED MÅLELINJEN TILSVARER 100.00 *

Im 25 Hz: 1 CM PÅ KURVEN TILSVARER 5.00 *
SKJØRINGSPOINDET MED MÅLELINJEN TILSVARER 50.00 *

NGU-GRONG GRUBER A/S	OBS. : BG	JUN 1987
TFEM 25 Hz. PROFIL A. LOOP	TEGN.	JUL 1987
JOMA	1:10000	TRAC.
RØYRVIK, NORD-TRONDALAG	KFR.	
NORGES GEOL OG I SKJ. UNDERSØKELSE	TEGNING NR.	KARTBLAD NR.
TRONDHEIM	39	1924 1

1 KM



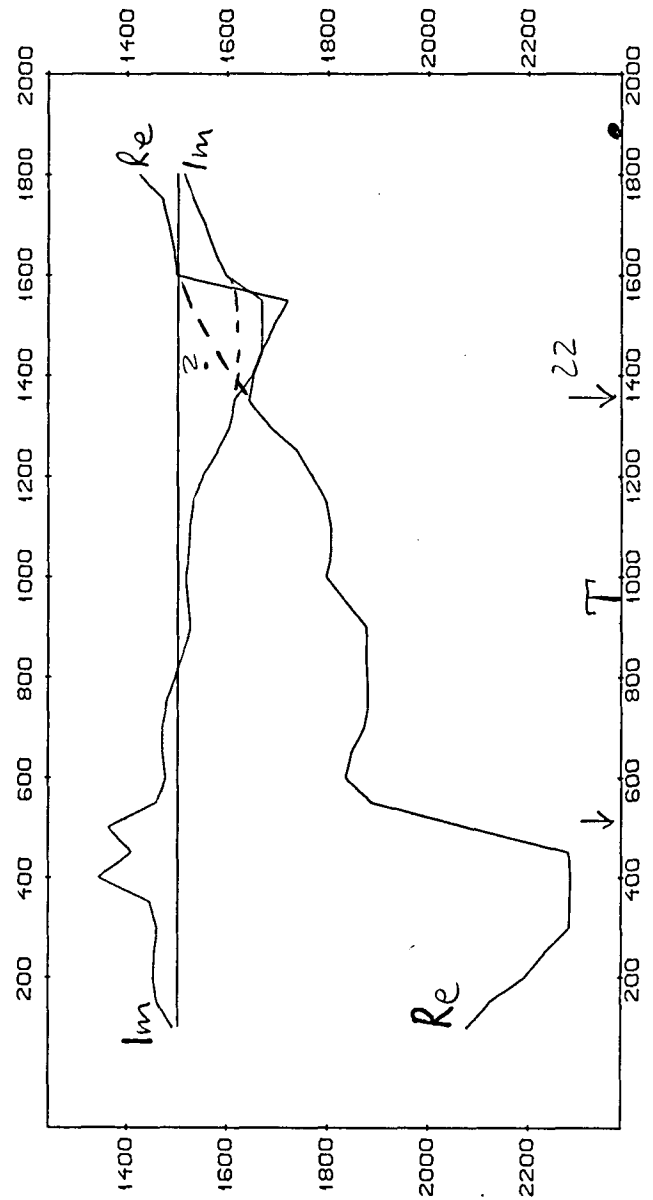
Re 25 Hz: 1 cm på kurven tilsvarer 20.00 m
 SKJØRINGSPOINTE MED MÅLELINJEN TILSVARER 100.00 m

Im 25 Hz: 1 cm på kurven tilsvarer 5.00 m
 SKJØRINGSPOINTE MED MÅLELINJEN TILSVARER 100 m

NGU-GRONG GRUBER A/S
 TFEM 25 Hz. PROFIL A. G-CABLE (N)
 JOMA
 RØYRVIK, NORD-TRONDALAG

MÅLESTOKK	OBS. BQ	JUN 1987
TEGN.		JUL 1987
1:10000		
KFR.		

NORGES GELOGISKE UNDERSØKELSE	TEGNING NR.	KARTBLAD NR.
TRONDHEIM	610	1924 I

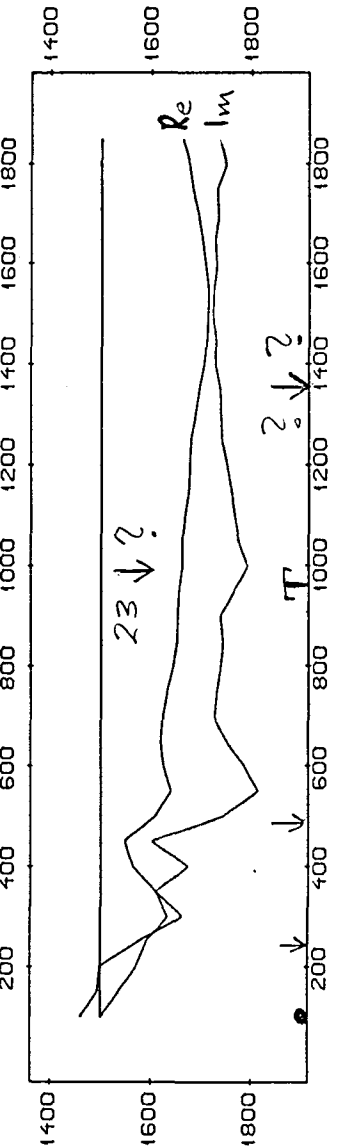


Re 25 Hz: 1 CM PÅ KURVEN TILSVÄRER 20.00
SKJÄRINGSPOINDET MED MÄLELINJEN TILSVÄRER 100.00

Im 25 Hz: 1 CM PÅ KURVEN TILSVÄRER 5.00
SKJÄRINGSPOINDET MED MÄLELINJEN TILSVÄRER 100.00

NGU-GRØNG GRUBER A/S	OBS. BG	JUN 1987
TFEM 25 Hz, PROFIL A, G-CABLE (S)	TEGN.	JUL 1987
JOMA	1:10000	TRAC.
RØYRVIK, NORD-TRONDELAG	KFR.	
NORGES GELOGISKE UNDERSØKELSE	TEGNING NR.	KARTBLAD NR.
TRONDHEIM	41	1924 1

1 KM

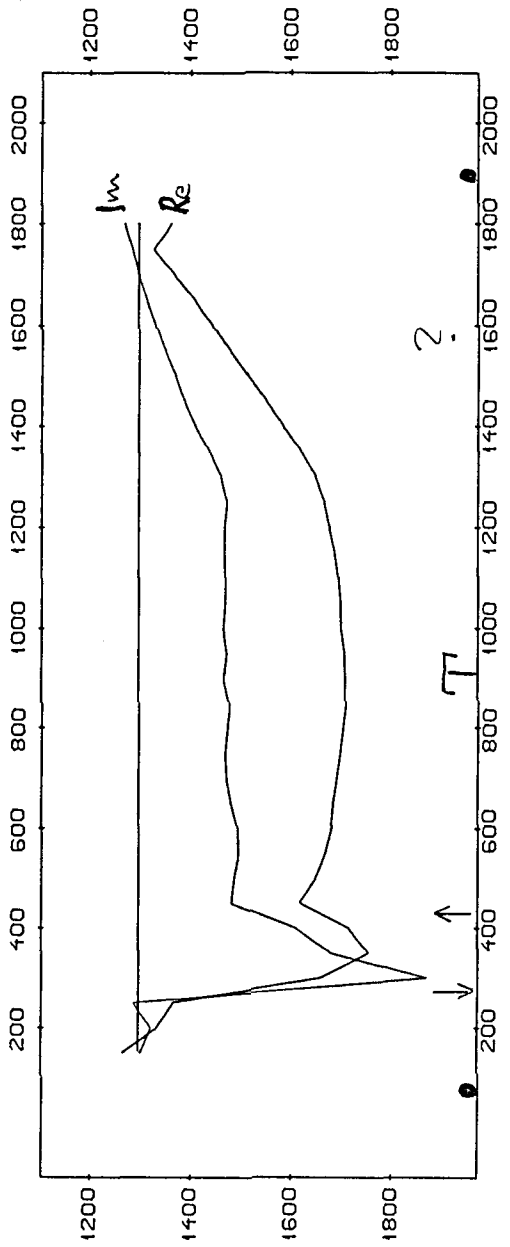


RE 25 Hz : 1 CM PÅ KURVEN TILSVARER 20.00 m
SKJÆRINGSPOINDET MED MÅLELINJEN TILSVARER 100.00 m

IM 25 Hz : 1 CM PÅ KURVEN TILSVARER 5.00 m
SKJÆRINGSPOINDET MED MÅLELINJEN TILSVARER 100.00 m

1 KM

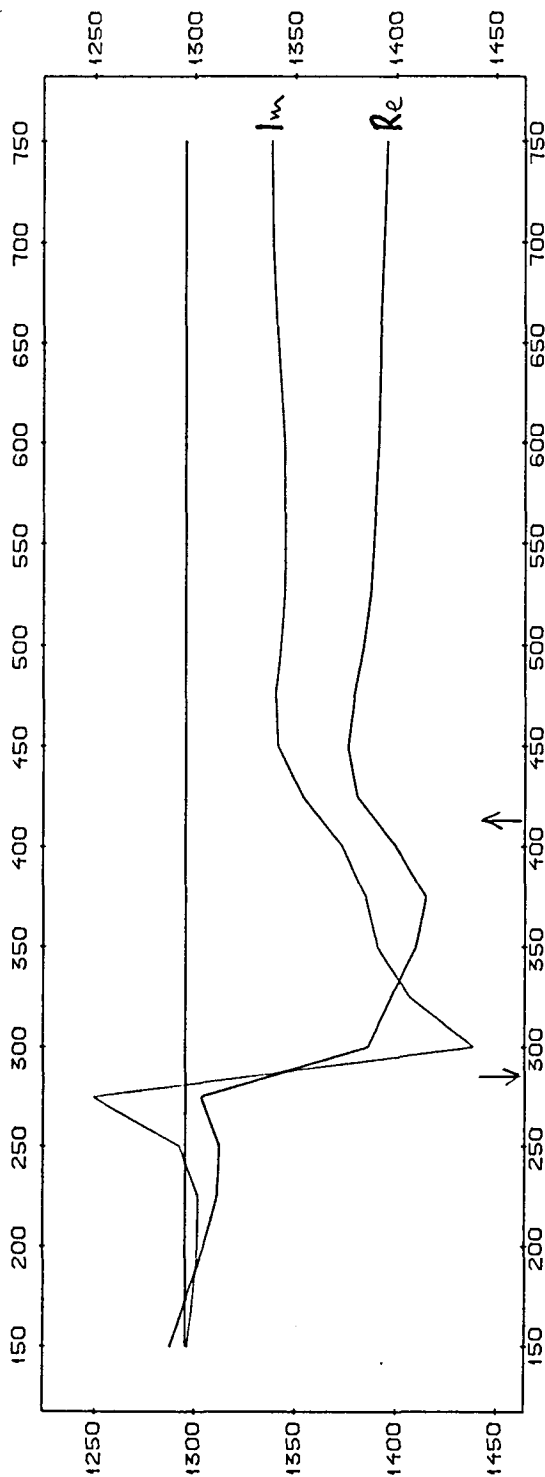
NGU-GRONG GRUBER A/S	MALESTØKK	OBS. BG	JUL. 1991
TFEM 25 Hz, PROFIL A, FREE GROUNDING	1:10000	TEGN.	JUL. 1991
JOMA		TRAC.	
RØYRVIK, NORD-TRONDELAG		KFR.	
NORGES GELOGISKE UNDERSØKELSE	TEGNING NR.	KARTBLAD NR.	
TRONDHEIM	12	1924	I



RE 25 Hz : 1 cm på kurven tilsvarer 10.00 m^2
 SKJÆRINGSPOINTE MED MÅLELINJEN TILSVARER 100.00 m
 IM 25 Hz : 1 cm på kurven tilsvarer 5.00 m^2
 SKJÆRINGSPOINTE MED MÅLELINJEN TILSVARER 5.00 m

NGU-GRONG GRUBER A/S		MALESTOKK TEGN. 1:10000 TRAC.	OBS. BØ	JUN 1987
TFEM 25 Hz. PROFIL B. LOOP			KFR.	
JOMA				
RØrvik, Nord-Trondelag				
NORGES GEODISK SKE	UNDERSØKELSE	TEGNING NR.	KARTBLAD NR.	
TRONDHEIM		13	1924 I	

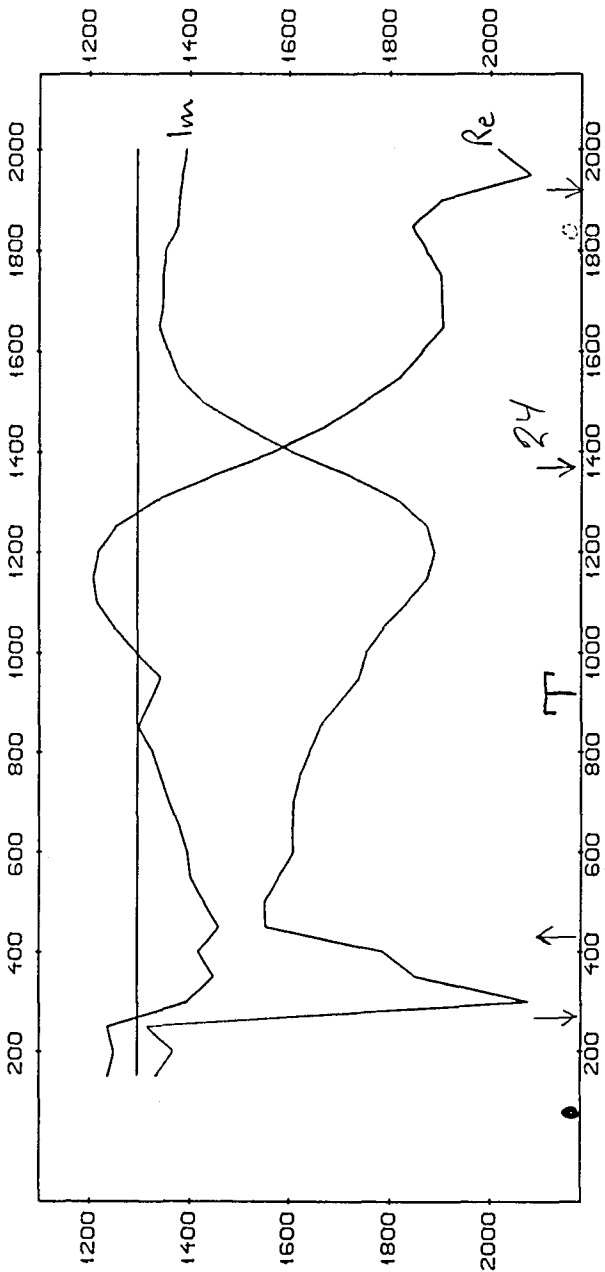
1 KH



Re 25 Hz : 1 cm på kurven tilsvarer 10.00 x
skjæringspunktet med målelinjen tilsvarer 100.00 z

Im 25 Hz : 1 cm på kurven tilsvarer 10.00 x
skjæringspunktet med målelinjen tilsvarer 100.00 z

NGU-GRØNG GRUBER A/S	MALESTØKK	OBS. BG	JUN 1981
TFEM 25 Hz. PROFIL B (SHORT). LOOP	TEGN.	JUL 1981	
JOMA	TRAC.		
KFR.			
RØYRK, NORD-TRONDELAG			
NORGES GELOGISKE UNDERSØKELSE	TEGNING NR.	KARTBLAD NR.	
TRONDHEIM	64	1924 I	



Re 25 Hz : 1 CM PÅ KURVEN TILSVARER 20.00 μ
SKJØRINGSPOINDET MED MÅLELINJEN TILSVARER 100.00 μ

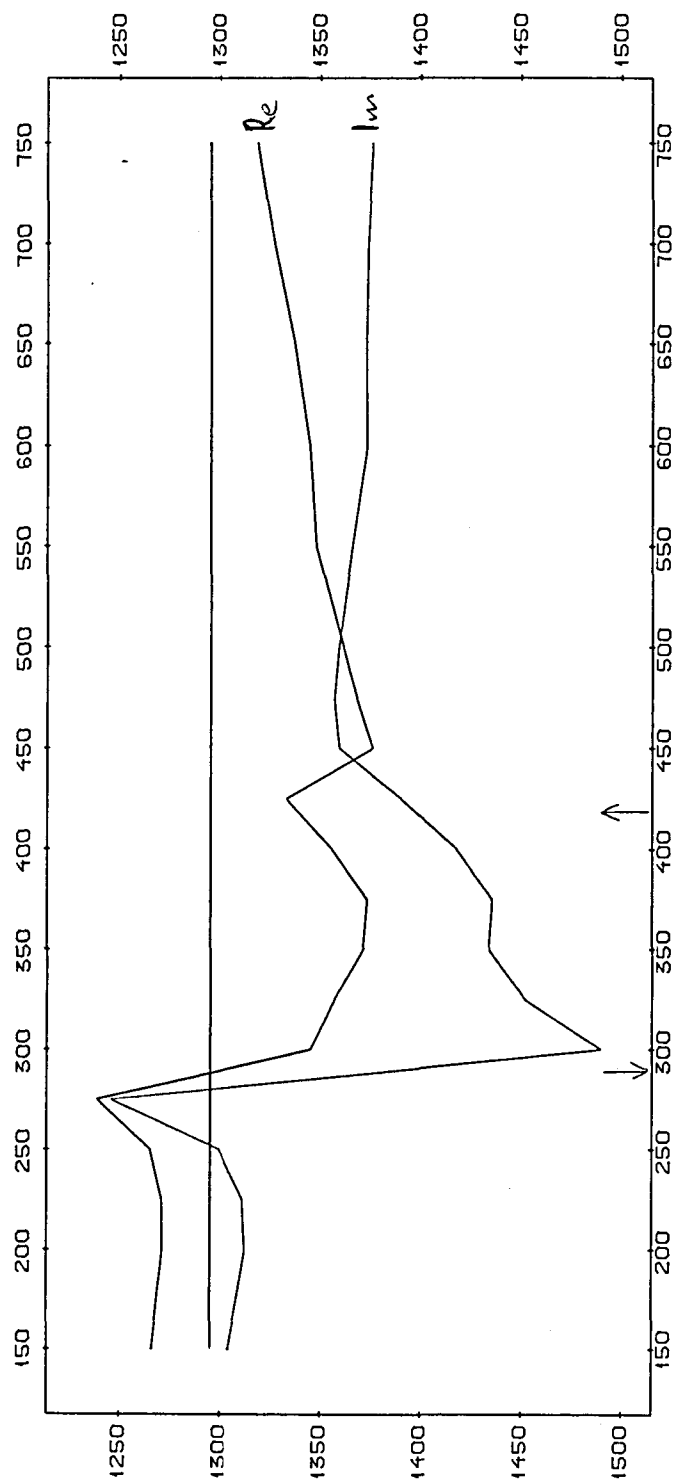
Im 25 Hz : 1 CM PÅ KURVEN TILSVARER 5.00 μ
SKJØRINGSPOINDET MED MÅLELINJEN TILSVARER 100 μ

NGU-GRONG GRUBER A/S
TFEM 25 Hz. PROFIL B, G-CABLE (N)

JOIMA
RØYRVIK, NORD-TRONDALAG

1 KM

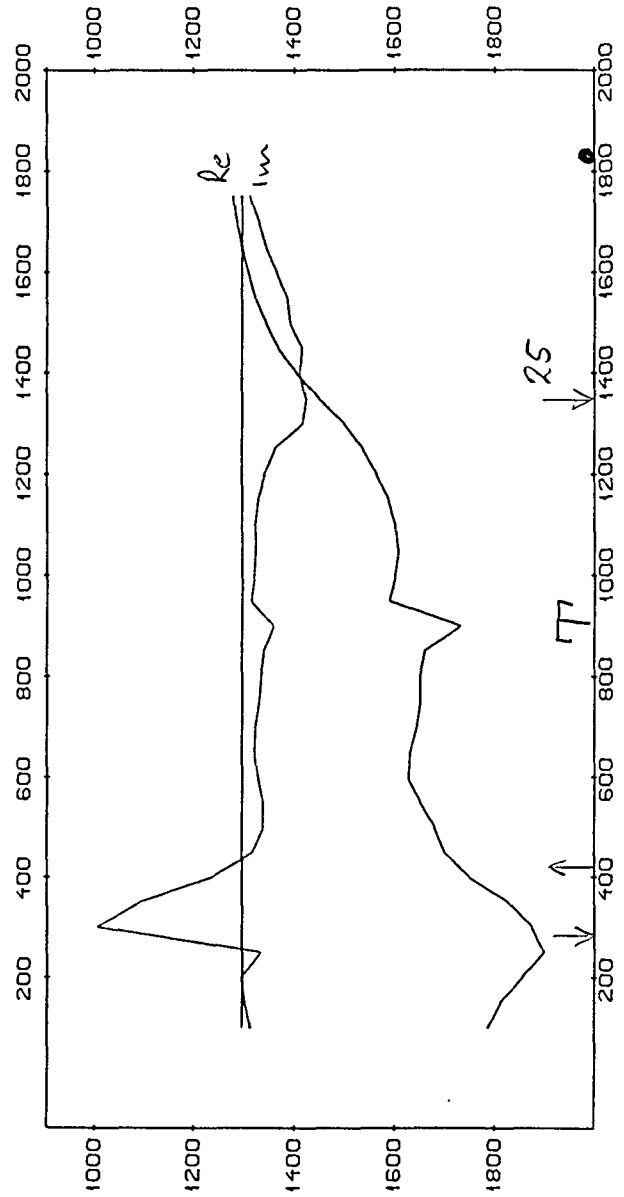
MALESTØRK	OBS. BG	JUN 1981
TEGN.	TEGN.	JUL 1981
1 : 10000	1 : 10000	TRAC.
KFR.		
NORGES GELOGISK E UNDERSØKELSE	TEGNING NR.	KARTBLAD NR.
TRONDHEIM	65	1924 1



Re 25 Hz: 1 cm på kurven tilsvarer skjæringspunktet med målelinjen tilsvarer 10.00 s.

Im 25 Hz: 1 cm på kurven tilsvarer skjæringspunktet med målelinjen tilsvarer 5.00 s.

NGU-GRONG GRUBER A/S	OBS. BO	JUN 1987
TTEM 25 Hz, PROFIL B (SHORT), G-CABLE (N)	TEGN.	JUL 1987
JOMA	1:2500	TRAC.
RØYRVIK, NORD-TRONDALAG	KFR.	
NORGES GEOLOGISKE UNDERØKELSE	TEGNING NR.	KARTBLAD NR.
TRONDHEIM	16	1924 1



Re 25 Hz: 1 cm på kurven tilsvarer 20.00 m
skjæringspunktet med målelinjen tilsvarer 100.00 m

Im 25 Hz: 1 cm på kurven tilsvarer 5.00 m
skjæringspunktet med målelinjen tilsvarer 1.00 m

NGU-GRONG GRUBER A/S

TFEM 25 Hz, PROFIL B, G-CABLE (S)

JGMA

RØYRVIK, NORD-TRONDALAG

NORGES GEOLOGISKE UNDERSØKELSE

KARTBLAD NR.

1924 1

MALESTØKK	OBS. BG	JUN 1991
1 : 10000	TEGN.	JUL 1991
KFR.	TRAC.	

NOV 1991

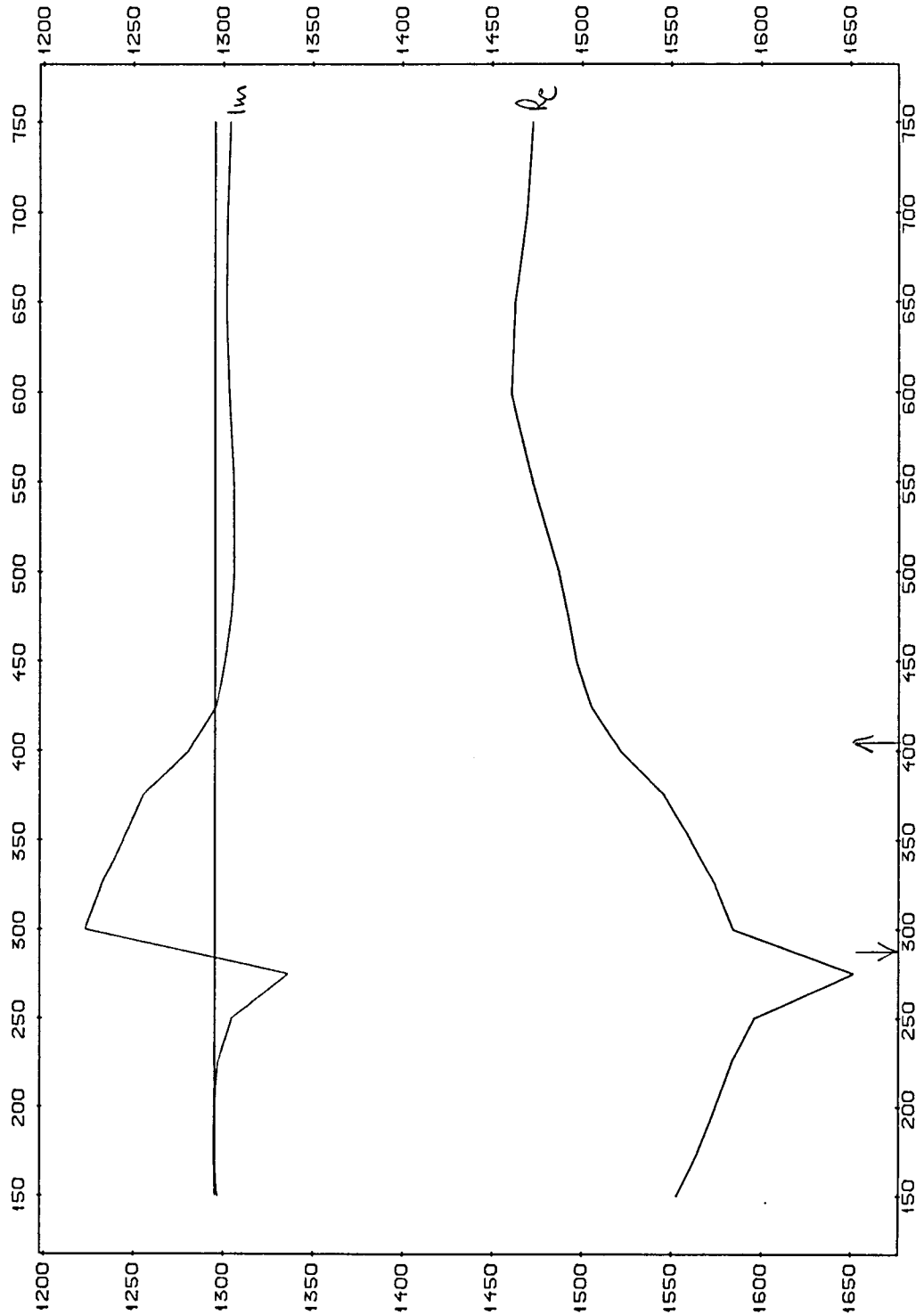
PROFIL B

G-CABLE (S)

JGMA

RØYRVIK, NORD-TRONDALAG

1924 1



RE 25 Hz : 1 CM PÅ KURVEN TILSVARER 10.00 Ω
SKJERINGSPUNKTET MED MÅLELINJEN TILSVARER 100.00 Ω

IW 25 Hz : 1 CM PÅ KURVEN TILSVARER 5.00 Ω
SKJERINGSPUNKTET MED MÅLELINJEN TILSVARER 50.00 Ω

NGU-GRONG GRUBER A/S
TFEM 25 Hz, PROFIL B(SHORT), G-CABLE (S)

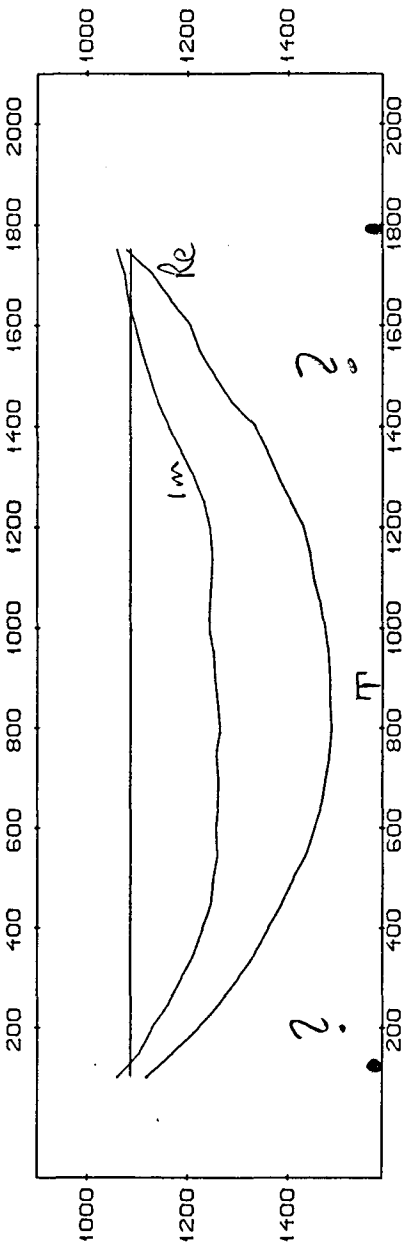
JOMA

RØTRVIK, NORD-TRONDALAG

NORGES GEOLOGISKE UNDERSØKELSE
TRONDHEIM

MÅLESTOKK	DEB. BO	JUN 1987
TEGN.		JUL 1987
1:2500	TRAC.	
KER.		

TEGNING NR.	KARTBLAD NR.
48	1924 I



Re 25 Hz: 1 cm på kurven tilsvarer 10.00 *
skjæringspunktet med målelinjen tilsvarer 100.00 *

Im 25 Hz: 1 cm på kurven tilsvarer 5.00 : 100.00 :
skjæringspunktet med målelinjen tilsvarer 100.00 :

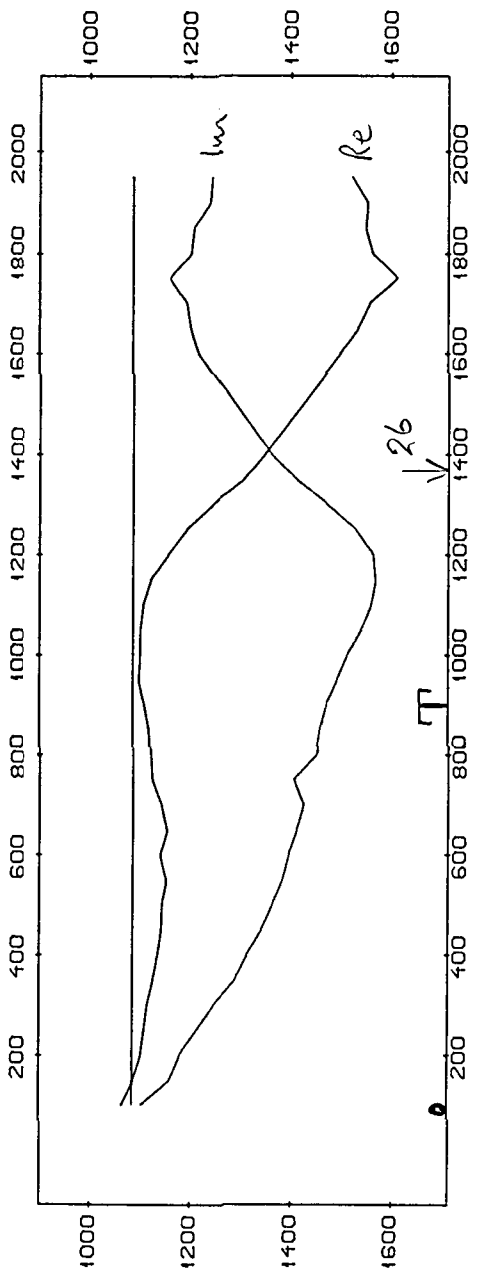
NGU-GRONG GRUBER A/S
TFEM 25 Hz. PROFIL C. LOOP
JOMA
RØYRVIK, NORD-TRONDALAG

NORGES GEOLOGISKE UNDERSØKELSE
TRONDHEIM

HALESTØKK	OBS. BA	JUN 1981
1:10000	TEGN.	JUL 1981
KFR.	TRAC.	

KARTBLAD NR.	KARTBLAD NR.
4/9	1924 1

1 km



Re 25 Hz: 1 cm på kurven tilsvarer 20.00 m
skjæringspunktet med målelinjen tilsvarer 100.00 m

Im 25 Hz: 1 cm på kurven tilsvarer 5.00 m
skjæringspunktet med målelinjen tilsvarer 100.00 m

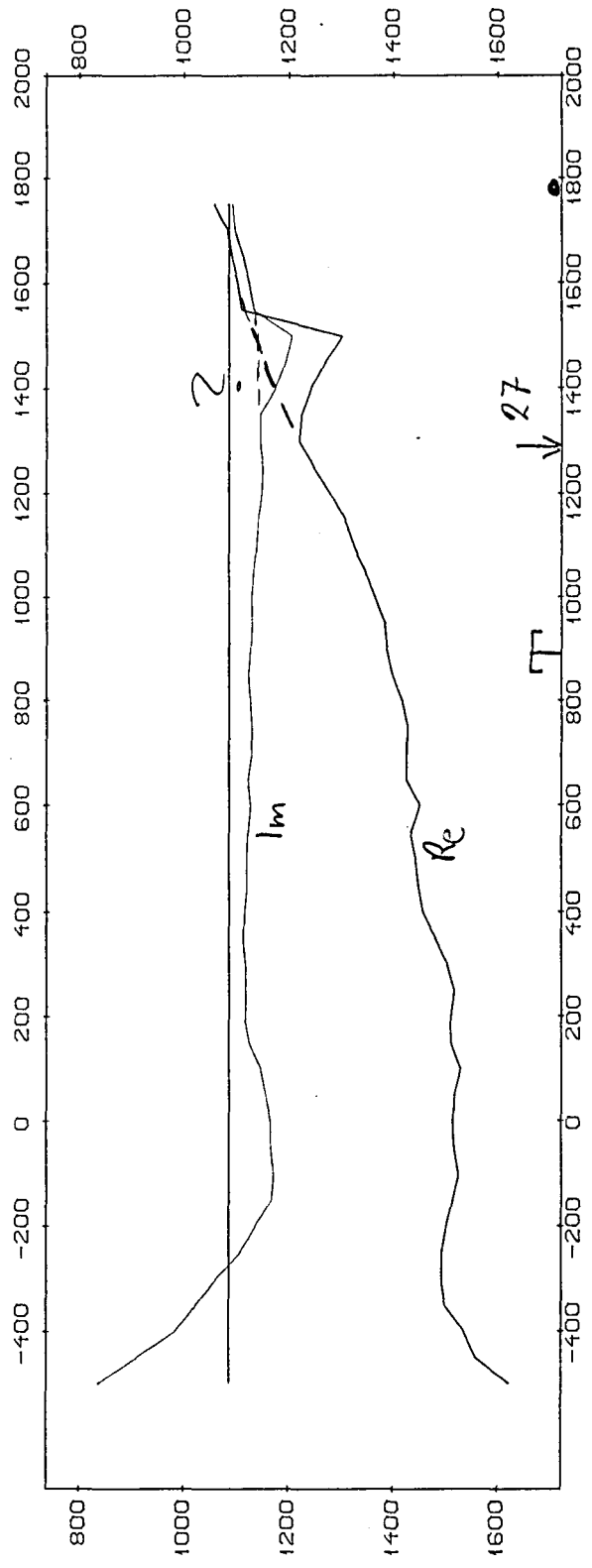
NGU-GRONG GRUBER A/S
TFEM 25 Hz, PROFIL C, G-CABLE (N)

JOMA

ROFYVIK, NORD-TRONDELAG

NORGES GEOLOGISKE	TEGNING NR.	KARTBLAD NR.
TRONDHEIM	50	1924 I

HALESTOKK	OBS. 60	JUN 1987
TEGN.	JUL 1987	
1:10000	TRAC.	
	KFR.	



Re 25 Hz: 1 CM PÅ KURVEN TILSVARER 20.00 z
SKJØRINGSPOINTE MED MÅLELINJEN TILSVARER 100.00 z

Im 25 Hz: 1 CM PÅ KURVEN TILSVARER 5.00 z
SKJØRINGER MED MÅLELINJEN TILSVARER 100.00 z

JOMA
RØYRVIK, NORD-TRONDALAG

NORGES GELOGISKE UNDERSØKELSE
TRONDHEIM

1 KM

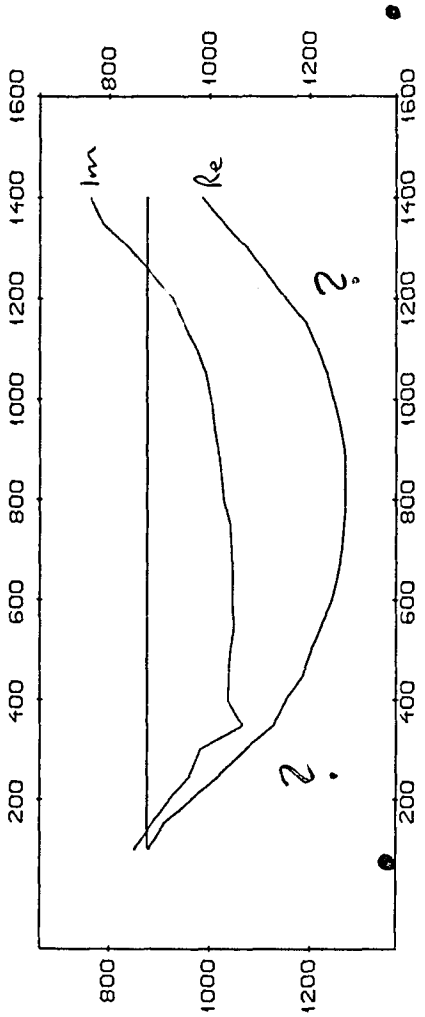
NGU-GRONG GRUBER A/S
TFEM 25 Hz, PROFIL C, G-CABLE (S)

JOMA
RØYRVIK, NORD-TRONDALAG

KF.R.
NORGES GELOGISKE UNDERSØKELSE
TRONDHEIM

MALESTOKK	OBS. BO	JUN 1987
1:10000	TEGN.	JUL 1987
	TRAC.	
	KFR.	

TEGNING NR.	KARTBLAD NR.
5 /	1924 I



R_e 25 Hz: 1 CM PÅ KURVEN TILSVARER 10.00^x
SKJØRINGSPOINTET MED MÅLELINJEN TILSVARER 100.00^x

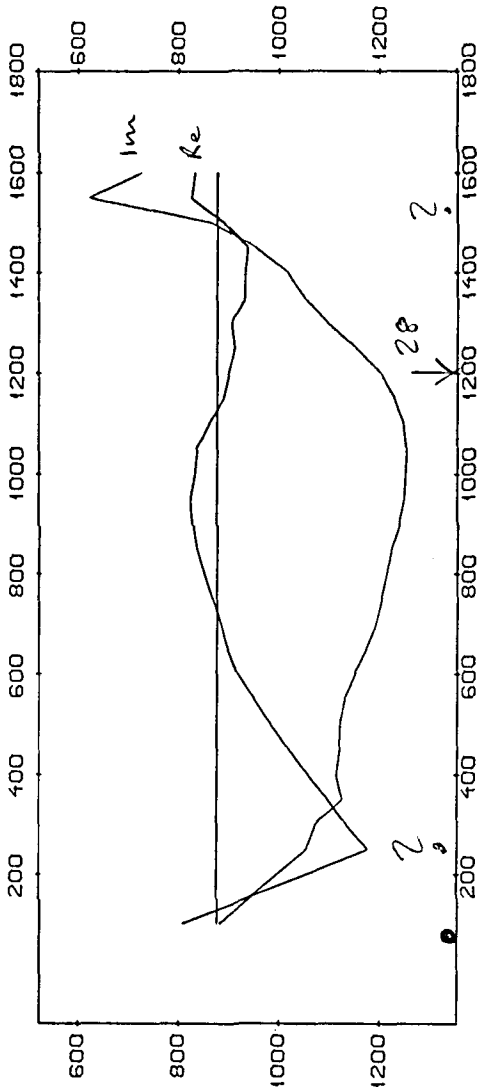
I_m 25 Hz: 1 CM PÅ KURVEN TILSVARER 5.00^x
SKJØRINGSPOINTET MED MÅLELINJEN TILSVARER 50.00^x

RØRVIK, NORD-TRONDALAG

NORGES GEODISKE UNDERØKELSE
TRONDHEIM

1 KM

NGU-GRØNG GRUBER A/S	OBS. BG	JUN 1961
TFEM 25 Hz, PROFIL D, LOOP	TEGN.	JUL 1961
JOMA	1:10000	TRAC.
		KFR.
NORGES GEODISKE UNDERØKELSE	TEGNING NR.	KARTBLAD NR.
TRONDHEIM	52	1924 I



R_e 25 Hz : 1 cm på kurven tilsvarer 20.00 m
skjæringspunktet med målet innen tilsvarer 100.00 m

I_m 25 Hz : 1 cm på kurven tilsvarer 5.00 m
skjæringspunktet med målet innen tilsvarer 100.00 m

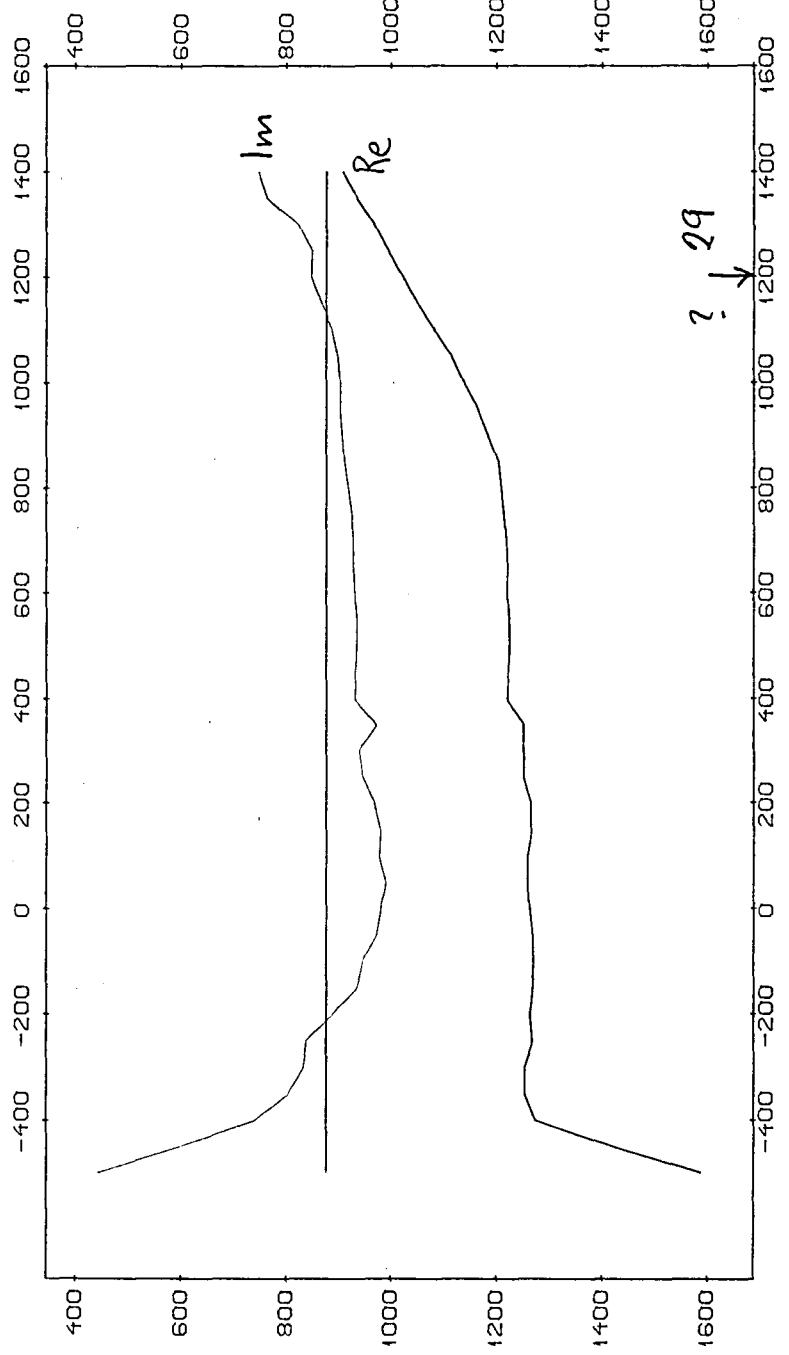
JOMA

RØYRK., NORD-TRONDELAG

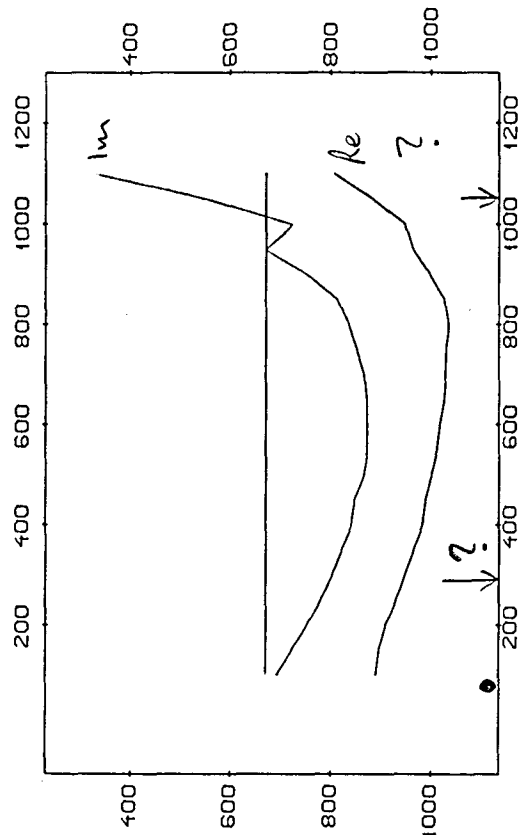
NORGES GELOGISKE UNDERSØKELSE
TRONDHEIM

1 km

MALESTOKK	OBS. BQ	JUN 1987
TEGN.		JUL 1987
1:10000	TRAC.	
KFR.		
NORGES GELOGISKE UNDERSØKELSE	TEGNING NR.	KARTBLAD NR.
TRONDHEIM	53	1924 1



NGU-GRONG GRUBER A/S	MALESTOKK	OBS.	BQ	JUN	1987
TFEM 25 Hz, PROFIL D, G-CABLE (S)	1:10000	TEGN		JUL	1987
JOMA		TRAC.			
RØYVIK, NORD-TRONDALAG		KFR.			
NORGES GEOLOGISKE UNDERSØKELSE	TEGNING NR.	KARTBLAD NR.			
TRONDHEIM	54	1924 I			

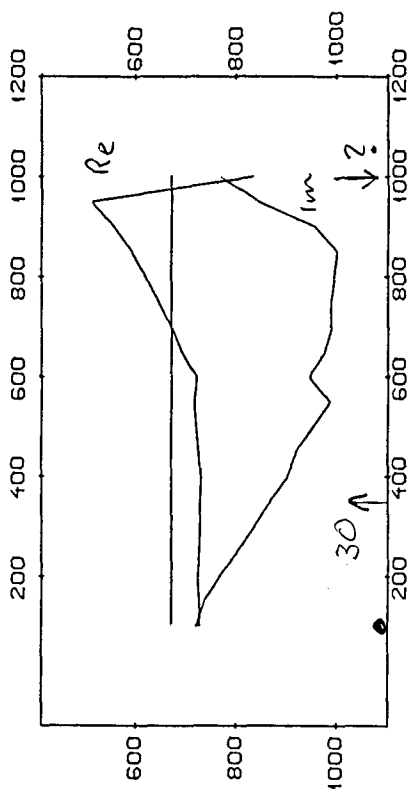


Re 25 Hz: 1 cm på kurven tilsvarer 10.00 z
skjæringspunktet med malelinjen tilsvarer 100.00 z

Im 25 Hz: 1 cm på kurven tilsvarer 10.00 z
skjæringspunktet med malelinjen tilsvarer 5.00 z

NGU-GRØNG GRUBER A/S	OBS. BD	JUN 1981
TFEM 25 Hz, PROFIL E, LOOP	MALESTØRK 1:10000	JUL 1981
JOMA	TEGN. TRAC.	
ROYRVIK, NORD-TRONDALAG	KFR.	
NORGES GEOLOGISKÉ UNDERSØKELSE		KARTBLAD NR.
TRONDHEIM	55	1924 1

1 KM

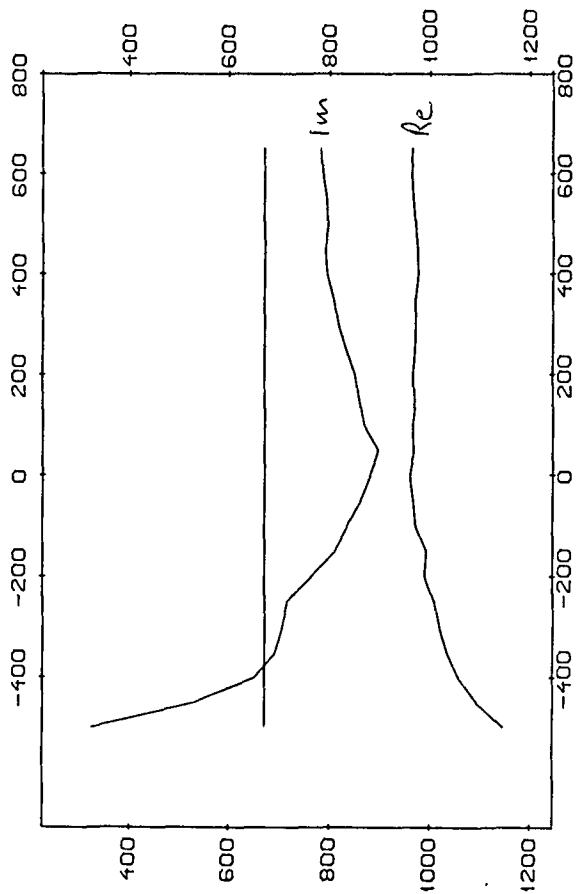


RE 25 Hz : 1 CM PÅ KURVEN TILSVARER 20.00
SKJØRINGSPOINTE MED MÅLELINJEN TILSVARER 100.00

LN 25 Hz : 1 CM PÅ KURVEN TILSVARER 5.00
SKJØRINGSPOINTE MED MÅLELINJEN TILSVARER 100.00

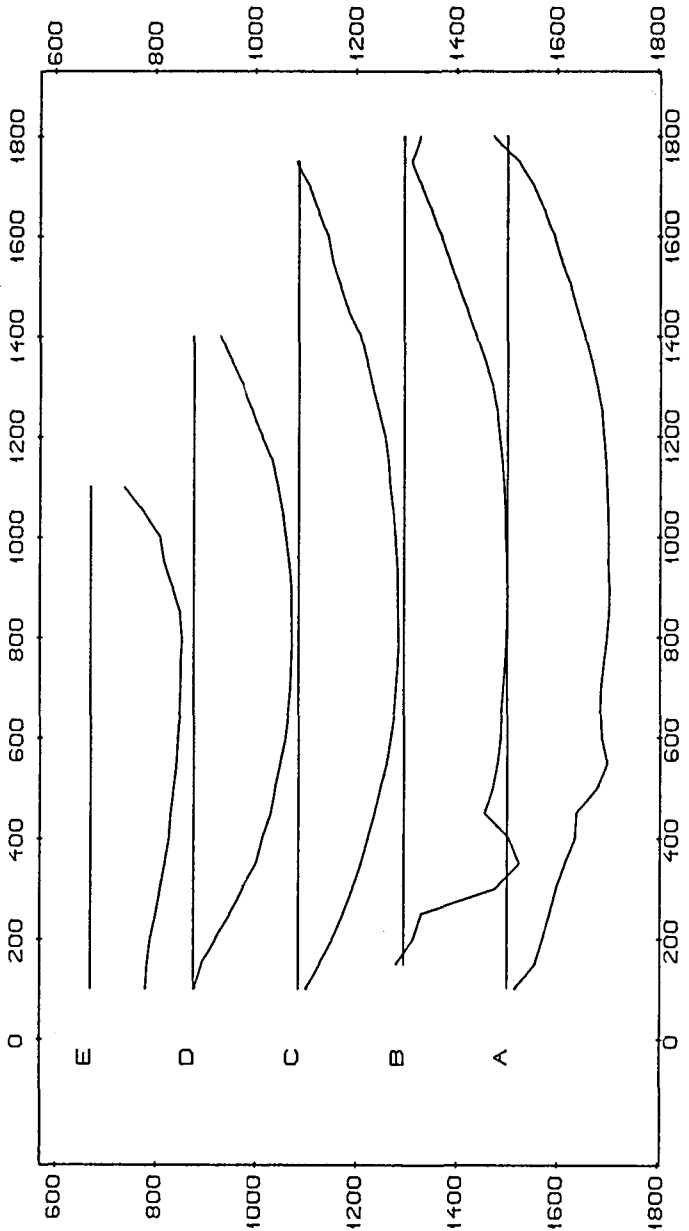
NGU-GRUND GRUBER A/S	OBS. BQ	JUN 1987
TFEM 25 Hz. PROFIL E, G-CABLE (N)	TEGN.	JUL 1987
1:10000	TRAC.	
JOMA	KFR.	
ROYVIK, NORD-TRONDALAG		
NORGES GEODOGISKE UNDERSØKELSE	TEGNING NR.	KARTBLAD NR.
TRONDHEIM	56	1924 1

1 KM



RE 25 Hz: 1 CM PA KURVEN TILSVARER 20.00 x
SKJERINGSPOINDET MED MALELINJEN TILSVARER 100.00 x

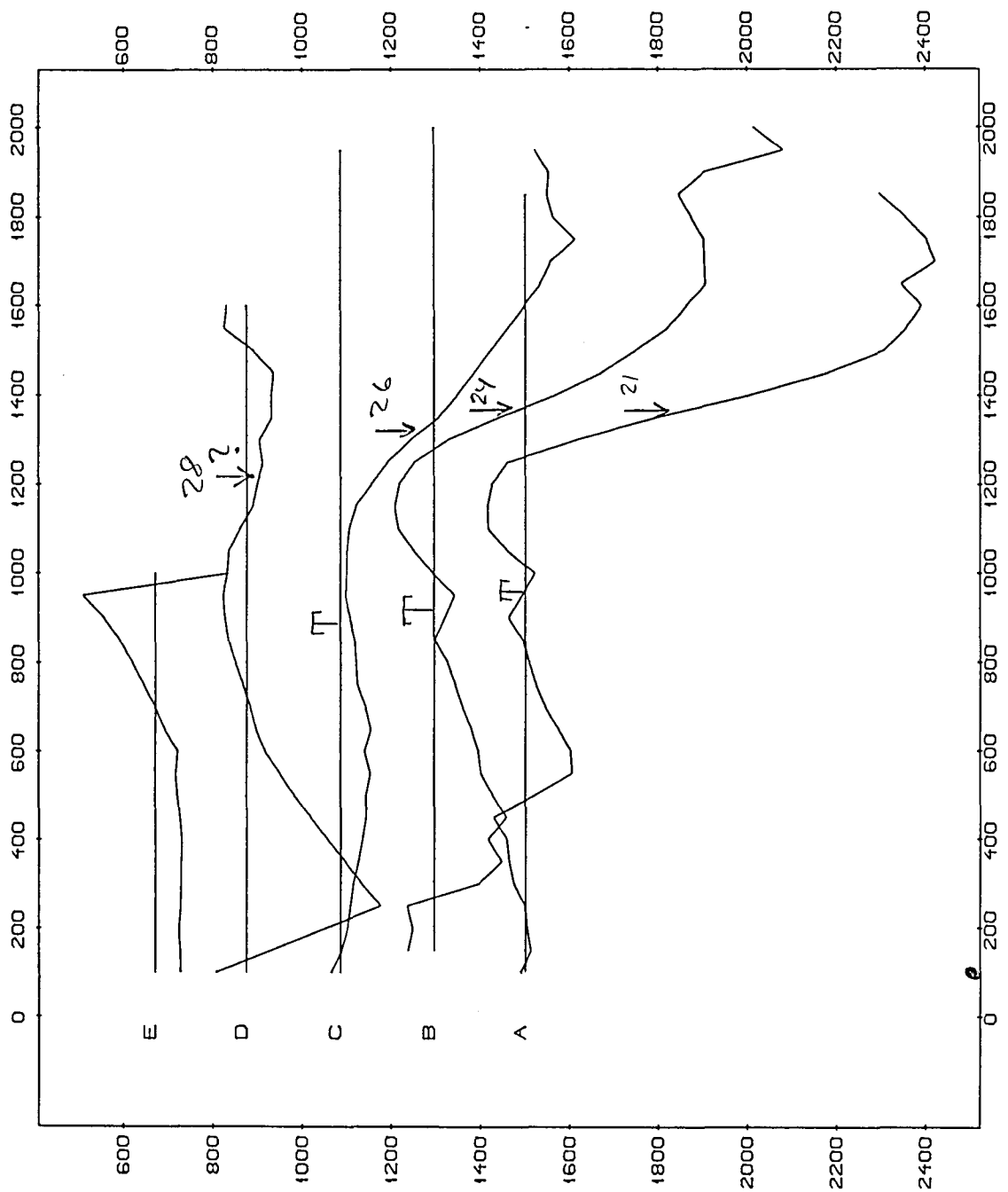
IM 25 Hz: 1 CM PA KURVEN TILSVARER 5.00 x SKJERINGSPOINDET MED MALELINJEN TILSVARER .00 x	NGU-GRONG GRUBER A/S TFEM 25 Hz. PROFIL E. G-CABLE (S)	MALESTØRK 1:10000	OBS. BO TEGN. TRAC.	JUN 1987 JUL 1987 KFR.
JOMA RØYRVIK, NORD-TRØNDELAG	NORGES GELOGISKE TRONDHEIM			
		KARTBLAD NR. 57	TEGNING NR. 1924 1	



R₀ 25 Hz : 1 cm på kurven tilsvarer 20.00 x
SKJØRINGSPOINTE MED MÅLELINJEN TILSVARER 100.00 :

NGU-GRONG GRUBER A/S	MALESTOKK	OBS. BD	JUN 1987
R ₀ 25 Hz, NORMALIZED, LOOP	TEGN.	TEGN.	JUL 1987
JOMA	1:1000	TRAC.	
ROYRVIK, NORD-TRONDALAG	KFR.		
NORGES GELOGISKE UNDERSØKELSE	TEGNING NR.	KARTBLAD NR.	
TRONDHEIM	58	1924 I	

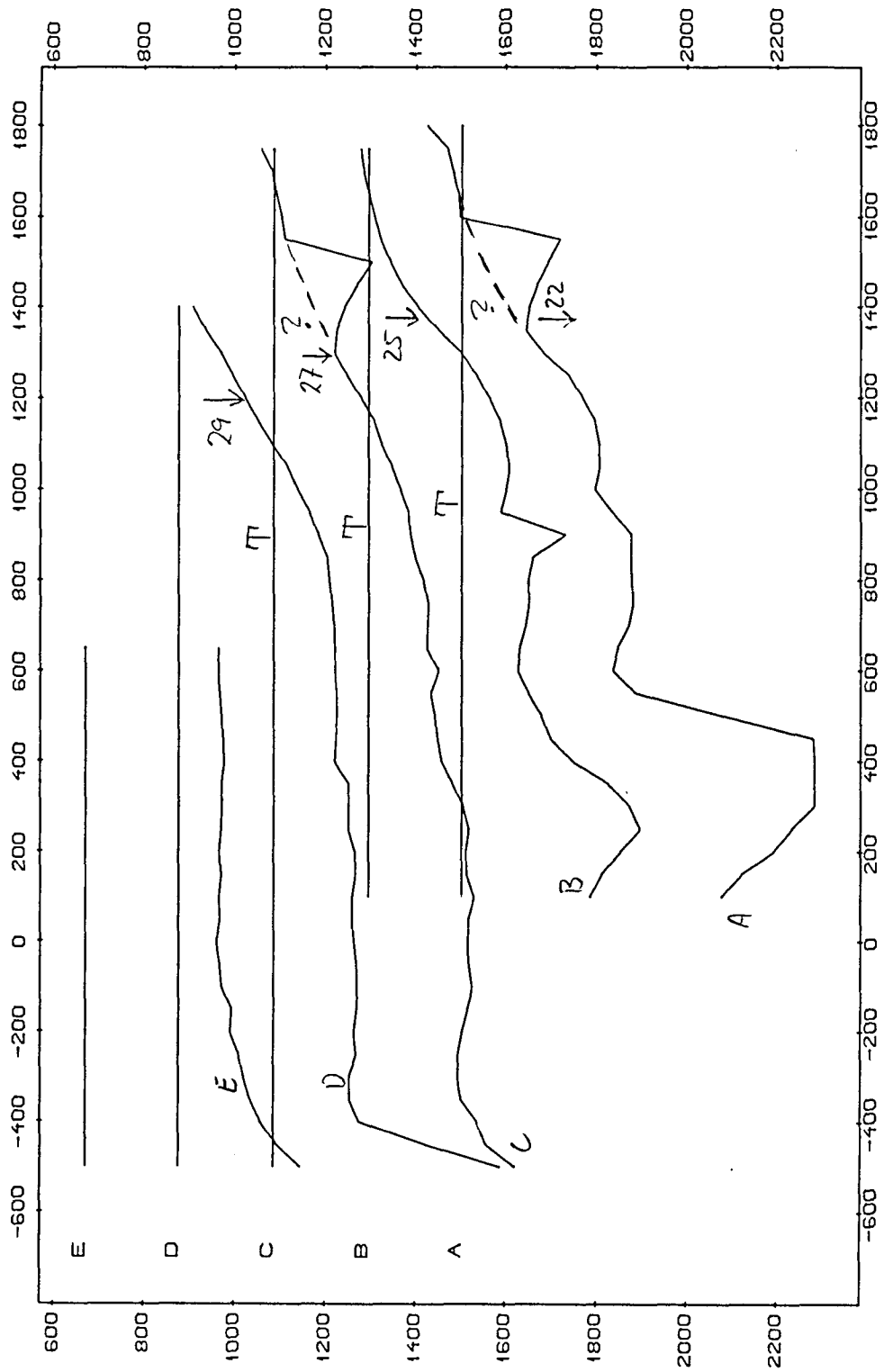
1 KM



RE 25 Hz: 1 CM PÅ KURVEN TILSVARER 20.00 *
SKJØRINGSPOINTE MED MÅLELINJEN TILSVARER 100.00 *

NGU-GRONG GRUBER A/S RE 25 Hz, NORMALIZED, G-CABLE (N)	MALESOKK	OBS. BG	JUN 1987
	TEGN.	TEGN.	JUL 1987
	1:10000	TRAC.	
	KFR.		
JOMA RØYRVIK, NORD-TRONDALAG			
NORGES GELOGISKE UNDERSØKELSE		KARTBLAD NR.	
TRONDHEIM	59	1924 I	

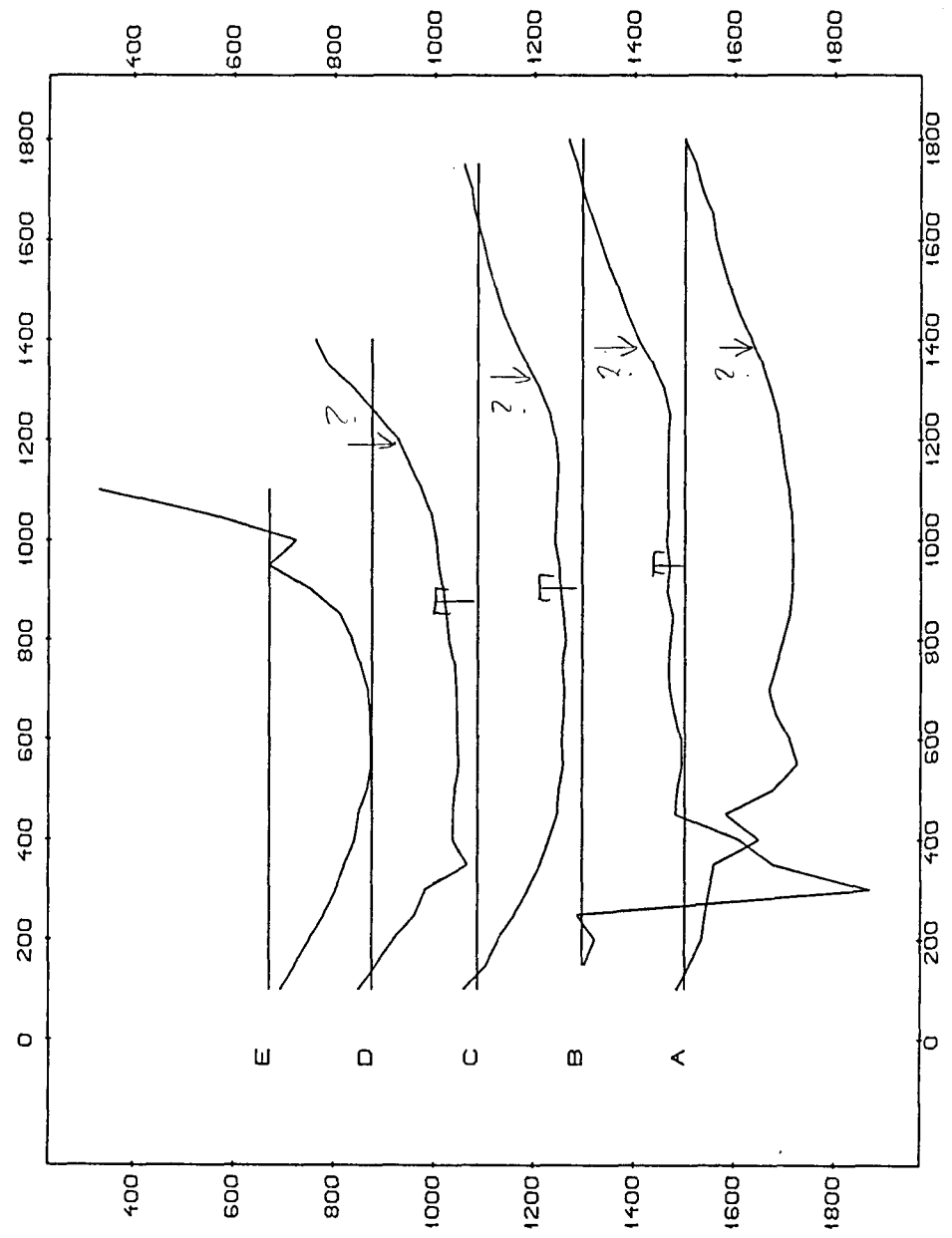
1 KM



RE 25 Hz : 1 CM PÅ KURVEN TILSVARER
SKJØRKNINGSPUNKTET MED MÅLELINJEN TILSVARER 20.00 m
100.00 m

NGU-GRONG GRUBER A/S	OS. BG	JUN 1981
RE 25 Hz. NORMALIZED. G-CABLE (S)	TEGN.	JUL 1981
JOMA	1:10000	TRAC.
RØRVIK, NORD-TRONDALAG	KFR.	
NORGES GEOLOGISKE UNDERSØKELSE	TEGNING NR.	KARTBLAD NR.
TRONDHEIM	60	1924 1

1 KM



1 m 25 Hz: 1 cm på kurven tilsvarer 5.00 z .00 z
SKJØRINGSPOINTE MED MÅLELINJEN TILSVARER

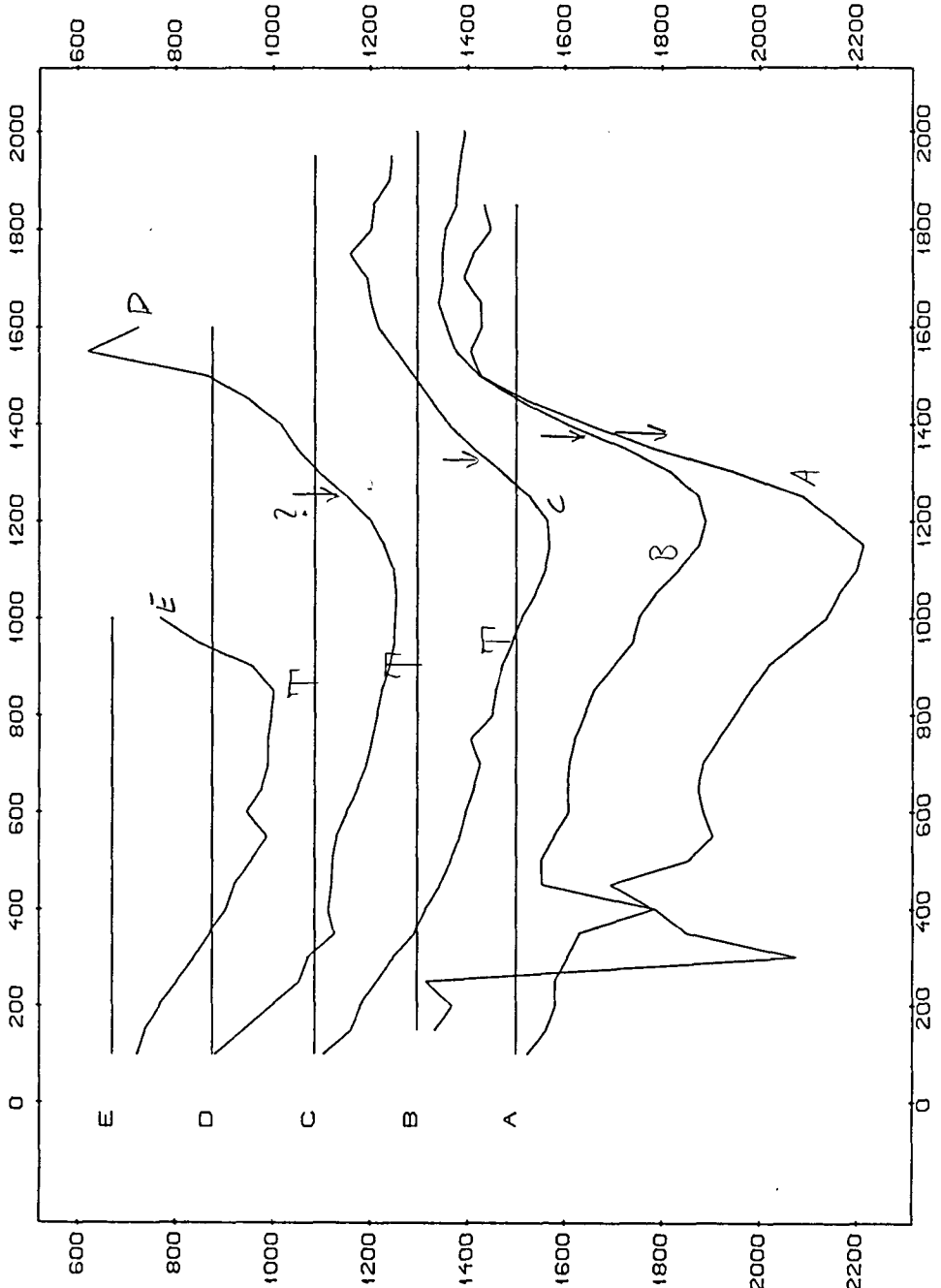
NGU-GRONG GRUBER A/S
1m 25 Hz, NORMALIZED, LOOP
JOMA
RØYRVIK, NORD-TRONDALAG

NORGES GEOLOGISKE
UNDERØKELSE
TRONDHEIM

1 KM

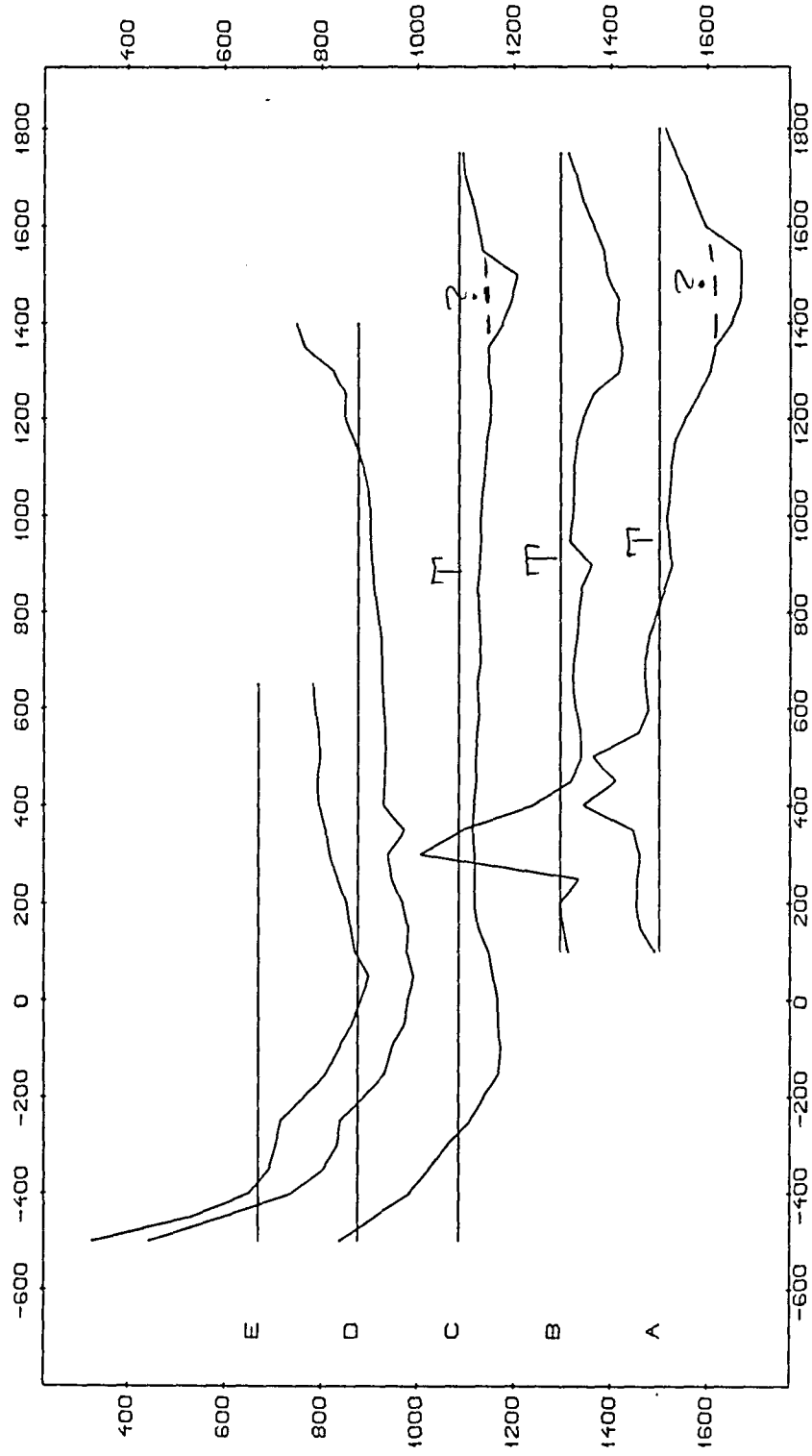
HALESTØRK	OBS. BO	JUN 1987
TEGN.	JUL. 1987	
1:10000	TRAC.	
	KFR.	

NORGES GEOLOGISKE UNDERØKELSE TRONDHEIM	TEGNING NR. 6 /	KARTBLAD NR. 1924 1



1 m 25 Hz : 1 cm på kurven tilsvarer 5.00 .
SKJERINGSPOINDET MED MÅLELINJEN TILSVARER 5.00 .

NGU-GRONG GRUBER A/S	OBS. BD	JUN 1987
1m 25 Hz. NORMALIZED. G-CABLE (N)	TEGN.	JUL 1987
JOMA	1:10000	TRAC.
RØYRVIK, NORD-TRONDALAG	KFR.	
NORGES GELOGISKE UNDERSØKELSE	TEGNING NR.	KARTBLAD NR.
TRONDHEIM	62	1924 1



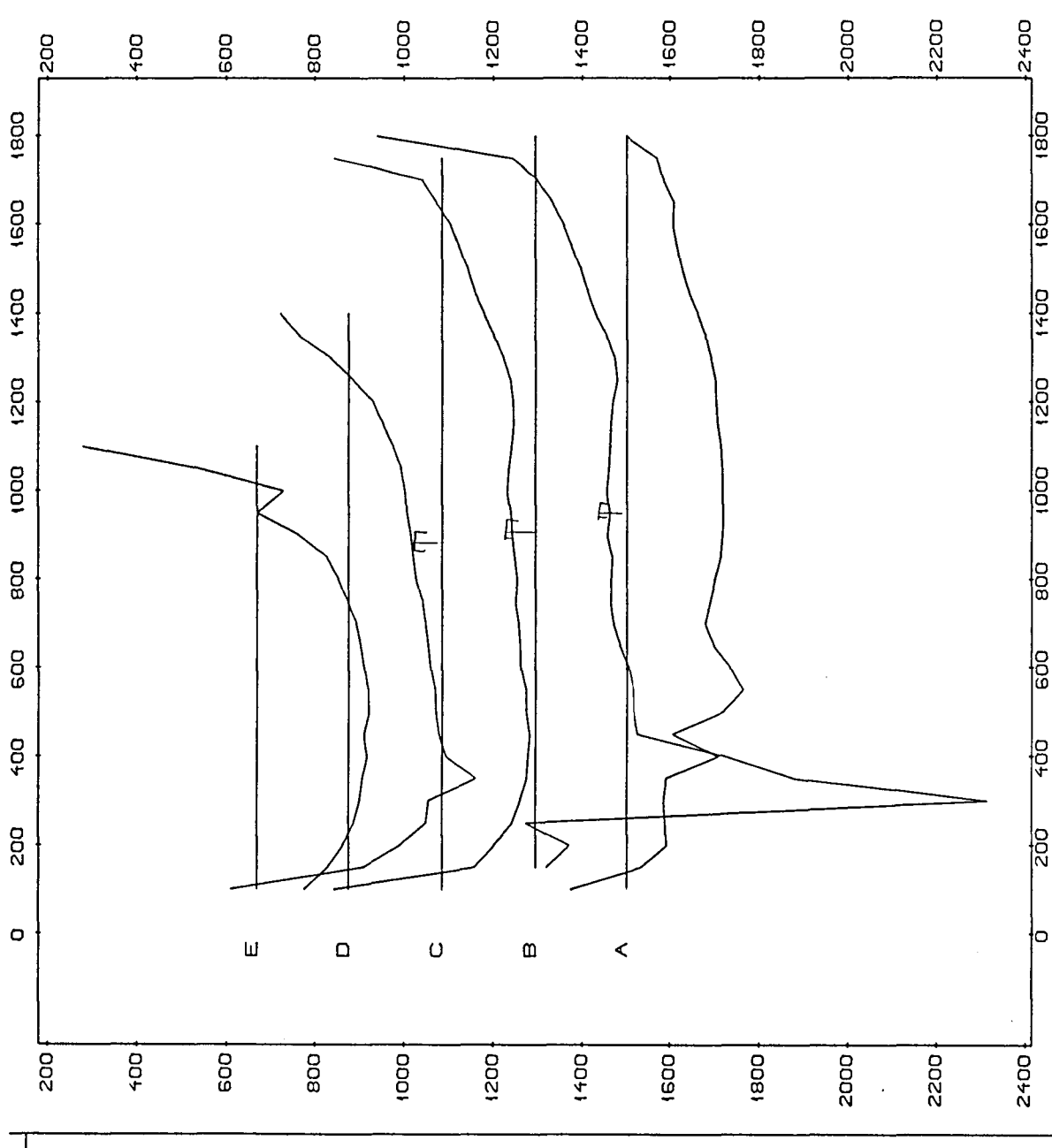
1 m 25 Hz: 1 cm på kurven tilsvarer 5.00 : .00 :

SKJØRINGSPOINDET MED MÅLELINJEN TILSVARER

NGU-GRONG	GRUBER A/S	OBS. BØ	JUN 1987
TEGN.		TEGN.	JUL 1987
1:10000	NORMALIZED, G-CABLE (S)	TRAC.	
KFR.			

JOMA			
RØYRVIK, NORD-TRONDALAG			
NORGES	GEOLOGISK	UNDERSØKELSE	KARTBLAD NR.
TRONDHEIM			63

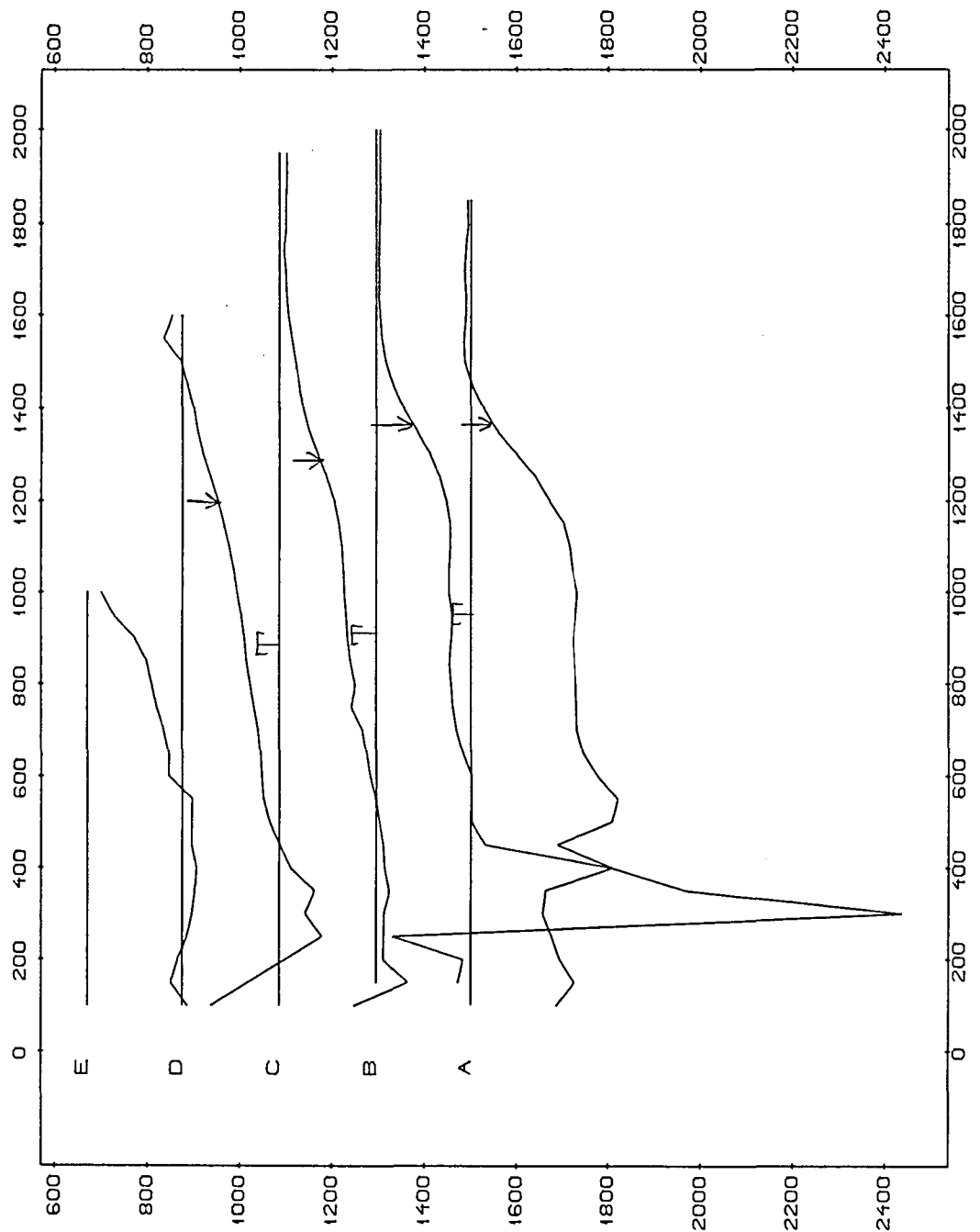
TEGNING NR.	KARTBLAD NR.
1924	63



1 m 25 Hz: 1 cm på kurven tilsvarer 2.00 μ V
SKJÆRINGSPUNKTET MED MÅLELINJEN TILSVARER .00 μ V

NGU-GRONG GRUBER A/S	MALESTOKK	JUN 1987
1 m 25 Hz. UNNORMALIZED. LOOP	TEGN.	JUL 1987
1:10000	TRAC.	
JOMA	KFR.	
RØYVIK, NORD-TRONDALAG		
NORGES GEOLOGISKE UNDERSØKELSE		
TRONDHEIM		

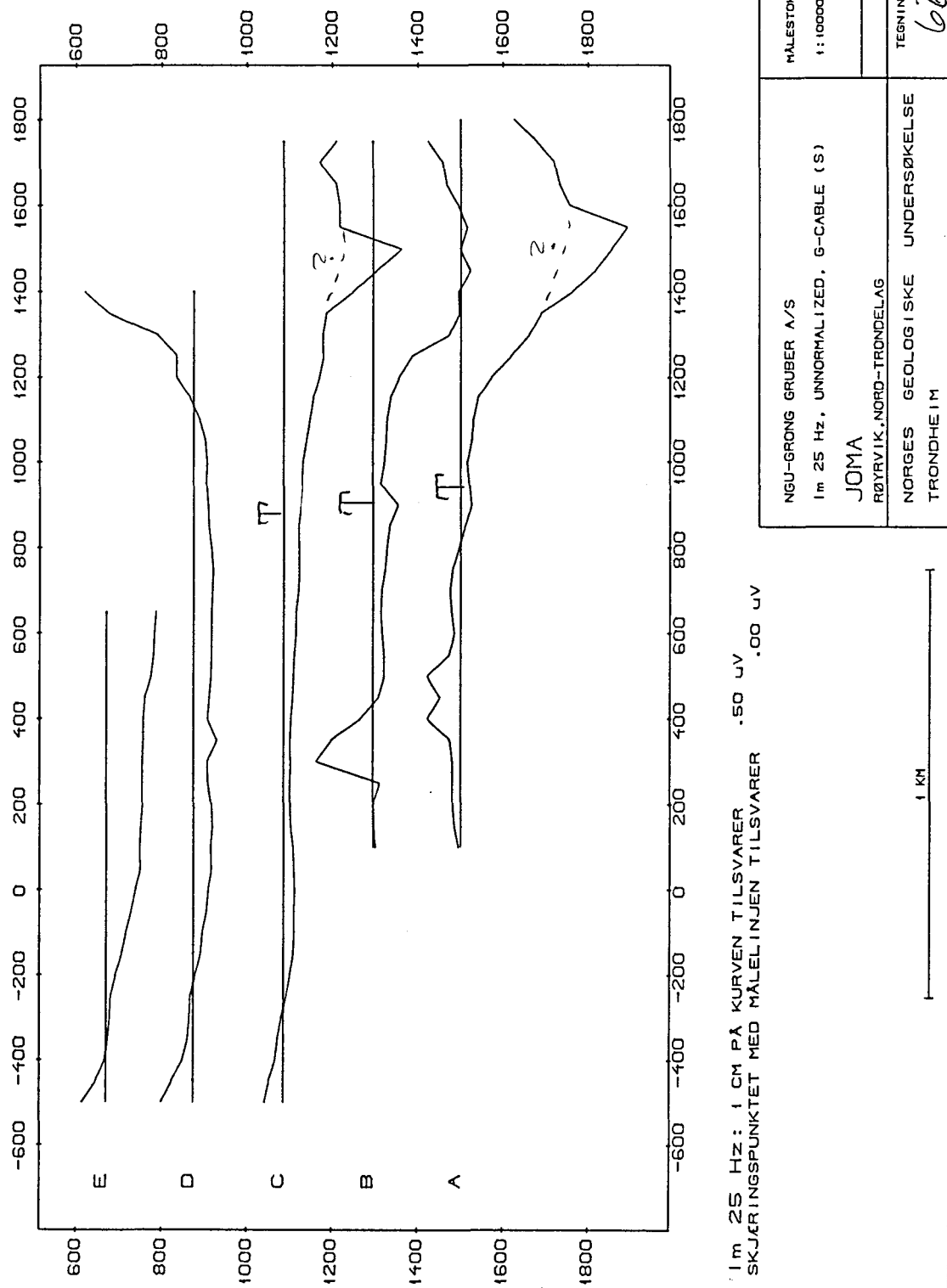
TEGNING NR.	KARTBLAD NR.
64	1924

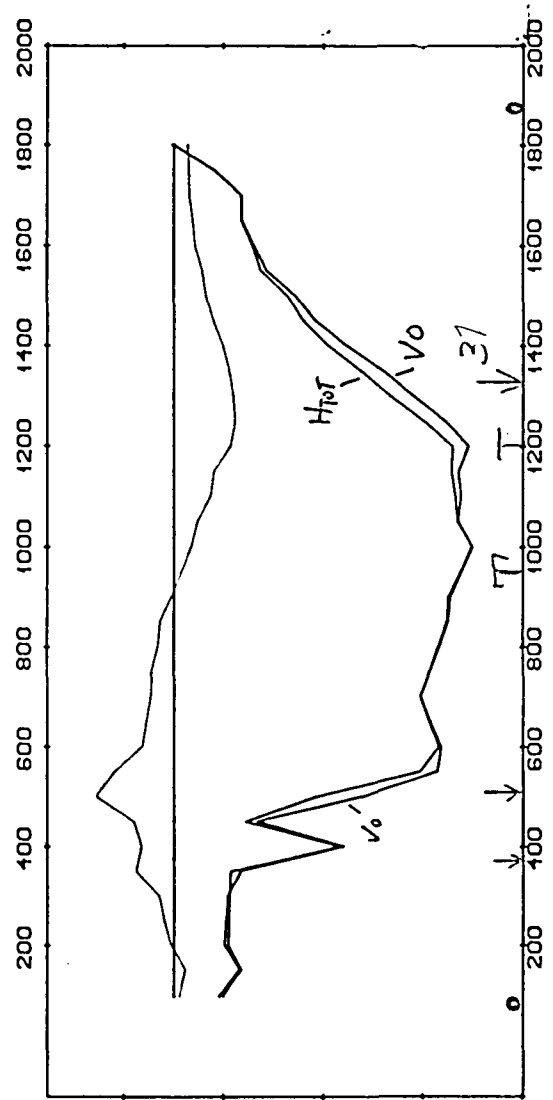


I m 25 Hz: 1 cm på kurven tilsvarer 1.00 m.uv
Skjøringspunktet med måelinjen tilsvarer .00 uv

NGU-GRÖNG GRUBER A/S	HALESTØK	OBS. BG	JUN 1987
1m 25 Hz. UNNORMALIZED. G-CABLE (N)	TEGN.	TEGN.	JUL 1987
JOMA	1:10000	TRAC.	
RØYVIK, NORD-TRØNDALAG	KFR.		
NORGES GEOLOGISKE UNDERSØKELSE		TEGNING NR.	KARTBLAD NR.
TRONDHEIM		65	1924 I

1 KM





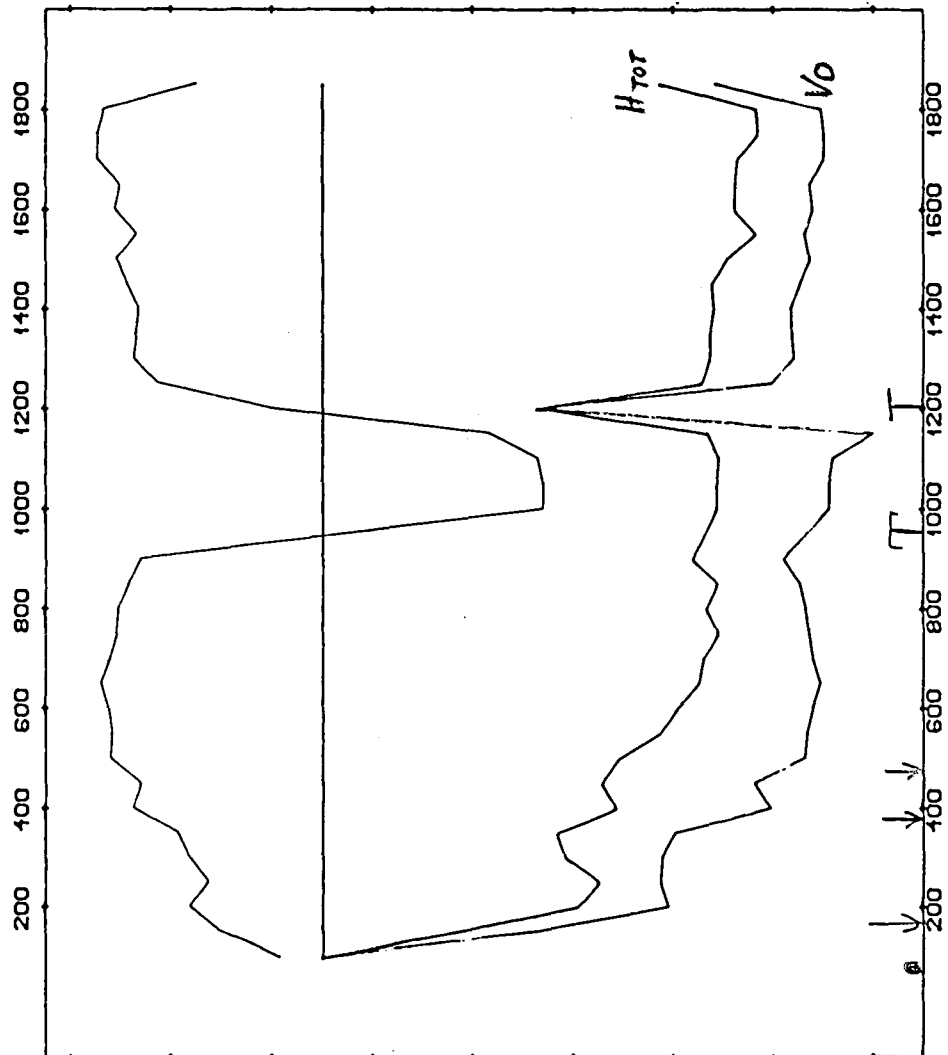
HØYDE I CM PÅ KURVEN TILSVARER 10.00
SKJÆRINGSSTED MED MÅLELINJEN TILSVARER 100.00

VO NORM : CM PÅ KURVEN TILSVARER 10.00
SKJÆRINGSSTED MED MÅLELINJEN TILSVARER 100.00

ALFA NORM : CM PÅ KURVEN TILSVARER 20.00 DEG
SKJÆRINGSSTED MED MÅLELINJEN TILSVARER .00 DEG

1 KM

NGU - GRONG GRUBER A/S	MÅLESTOKK	OBS. 80	JUNI 67
TFER. MULTI FREQUENCY LOOP	TEBN.	AUG 1967	
JOMA, PROFIL A	TRAC.		
RØYAVIK, NORD TRØNDELAG	KPR.		
NORGES GEODISKE UNDERSØKELSE	TEKNING NR.	67	KARTBLAD NR.
TRONDHEIM			1924 1



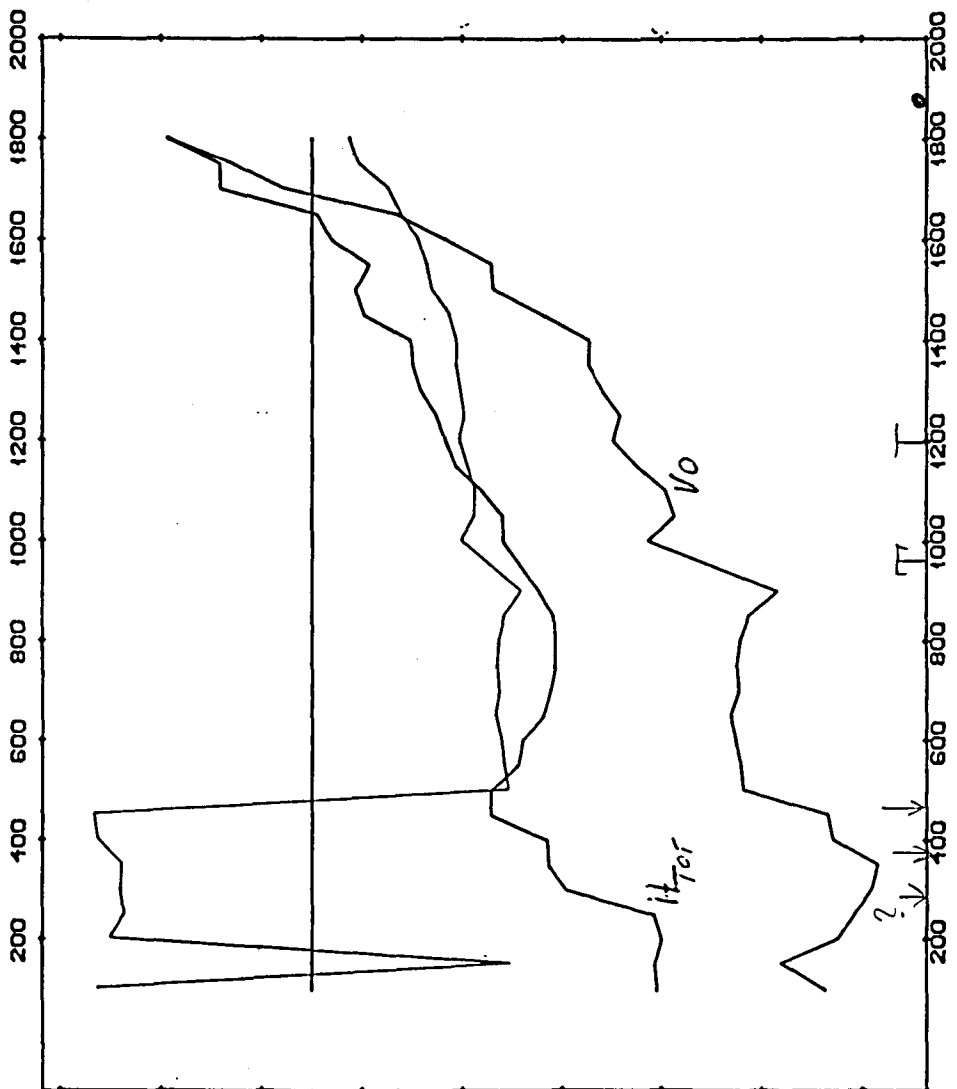
HØYNNORM : 0,7 CM PÅ KURVEN TILSVÄRER 10.00 %
SKJÄRINGSPOINTET MED MÄLELINJEN TILSVÄRER 100.00 %

VO NORM : 0,7 CM PÅ KURVEN TILSVÄRER 10.00 %
SKJÄRINGSPOINTET MED MÄLELINJEN TILSVÄRER 100.00 %

ALFA : 0,7 CM PÅ KURVEN TILSVÄRER 20.00 DEG
SKJÄRINGSPOINTET MED MÄLELINJEN TILSVÄRER .00 DEG

1 KM

NGU - GRONG BRUBER ÅS	OMS. 1921	JUNI 1966
TFEN. MULTI FREQUENCY, GROUNDED NORTH	TRIM.	AUG 1967
JOMA, PROFIL A	THAC.	
RØYRVIK, NORD-TRENDELAG	TRIM.	
NORGES GELOGISKE UNDERSEKSE	TRONDHEIM	KARTBLAD NR.
TRONDHEIM	68	1924 1



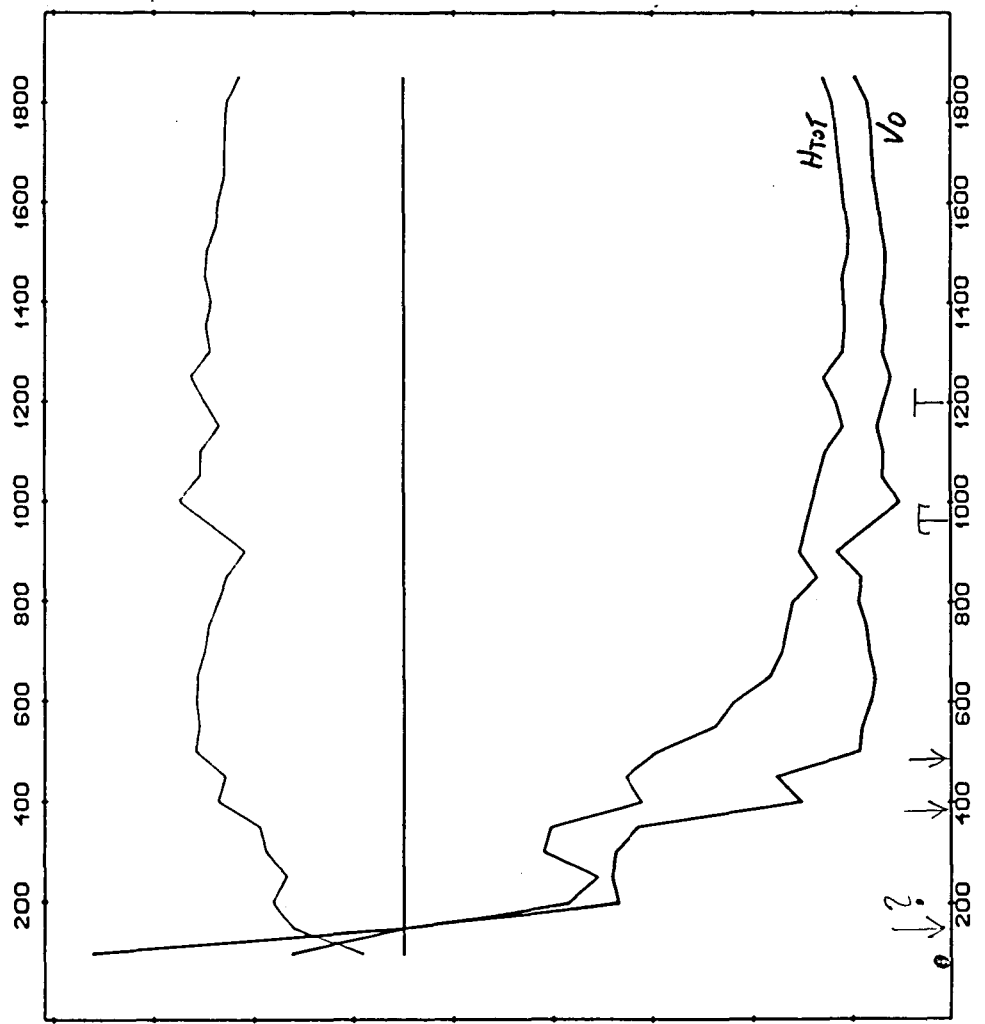
HØY NORM: 0,7 CM PÅ KURVEN TILSVARER
SKJERINGSPOINDET MED MÅLELINJEN TILSVARER 100.00 s

VØ NORM : 0,7 CM PÅ KURVEN TILSVARER 10.00 s
SKJERINGSPOINDET MED MÅLELINJEN TILSVARER 100.00 s

ALFA : 0,7 CM PÅ KURVEN TILSVARER 20.00 DEG
SKJERINGSPOINDET MED MÅLELINJEN TILSVARER .00 DEG

TRONDHEIM
1924 1

NORGE PROFILO RØSTVIK, NORO-TRENDELAB	DATA TIDSPUNKT ÅRSTID	DATA TIDSPUNKT ÅRSTID
	DATA TIDSPUNKT ÅRSTID	DATA TIDSPUNKT ÅRSTID
NORGE GEOL. OG UNDERSEKELSE TRONDHEIM	TRONDHEIM 1924 1	KARTLAGD 1924 1



HØSTNORM: CM PÅ KURVEN TILSVARER 10.00
SKJØRINGSPOINDET MED MÅLELINJEN TILSVARER 100.00

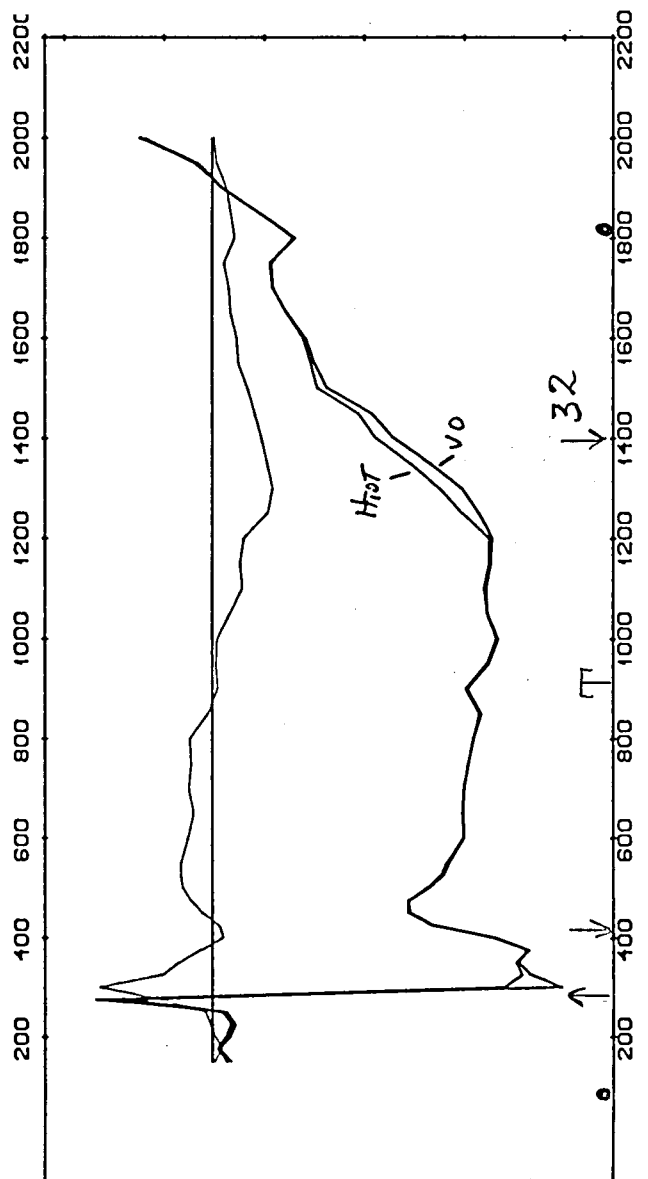
VØ NORM: CM PÅ KURVEN TILSVARER 10.00
SKJØRINGSPOINDET MED MÅLELINJEN TILSVARER 100.00

ALFA: CM PÅ KURVEN TILSVARER 20.00 DEG
SKJØRINGSPOINDET MED MÅLELINJEN TILSVARER .00 DEG

NORGES GELOGISKE
TRONDHEIM

1 KH

NGU - GRONG GRUBER A/S	OBS. NR.	JAN 67
TFEM, MULTI FREQUENCY, GROUND. F.	TEBN.	AUS 1967
JOMA, PROFIL A	TRAC.	
RØYRVIK, NORD TRØNDALAG	KPR.	
NORGES GELOGISKE TRONDHEIM	TEBNING NR.	KARTBLAD NR.
	70	1924 1



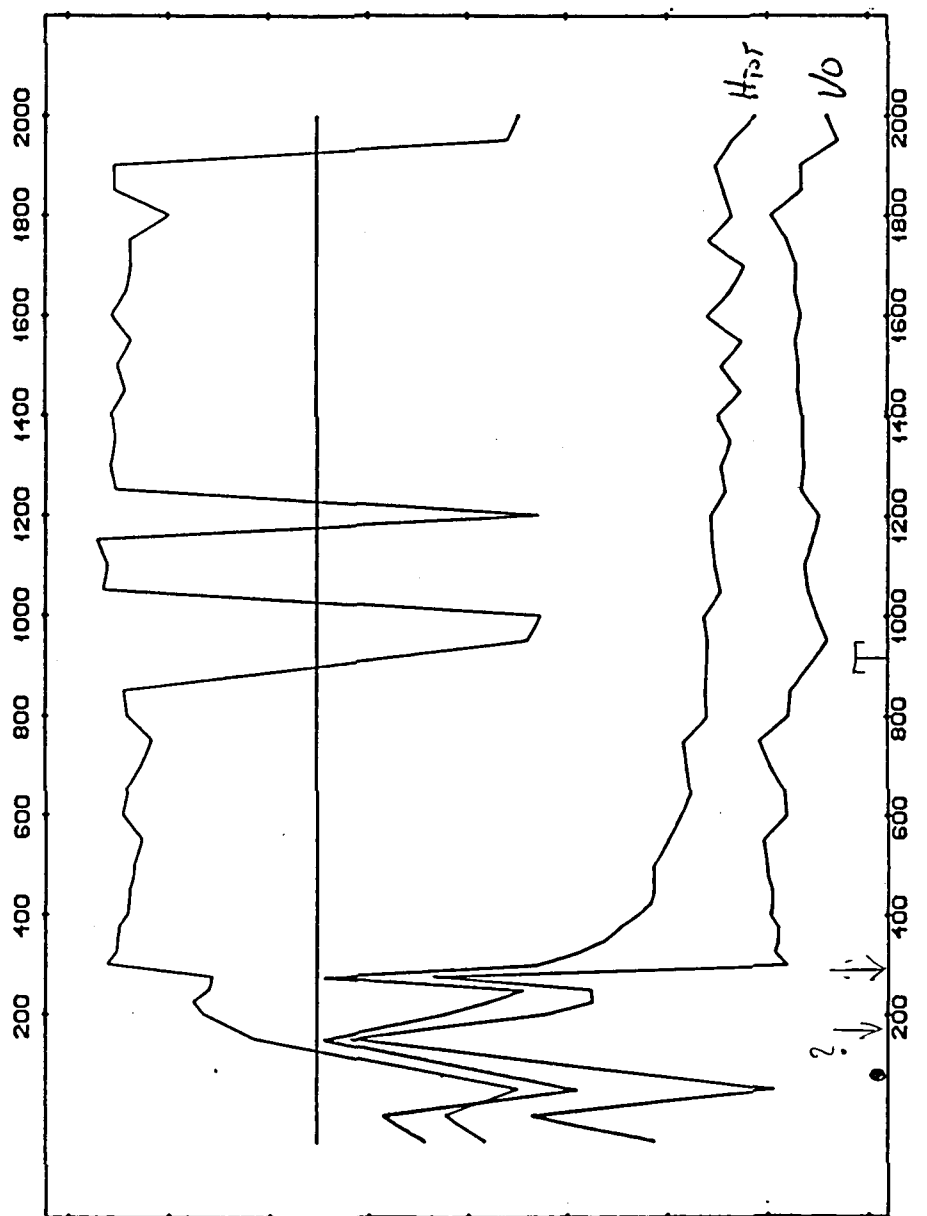
HLOTNORM : CM PÅ KURVEN TILSVÄRER 10.00 *
SKJÄRINGSPOINTET MED MÄLELINJEN TILSVÄRER 100.00 *

VO NORM : CM PÅ KURVEN TILSVÄRER 10.00 *
SKJÄRINGSPOINTET MED MÄLELINJEN TILSVÄRER 100.00 *

ALFA SKJÄRINGSPOINTET MED MÄLELINJEN TILSVÄRER 20.00 DEG
RØYRVIK, NORD TRØNDELAG .00 DEG

1 km

NGU - GRONG GRUBER AS	MÅLESTOK	JUNI 67
TTEM. MULTI FREQUENCY LOOP	TEKN.	AUG 1967
JOMA, PROFIL B	TRAC.	
RØYRVIK, NORD TRØNDELAG	KTF.	
NORGES GEOLOGISKE UNDERSØKELSE		
TRONDHEIM	KARTBLAD NR.	1924 1



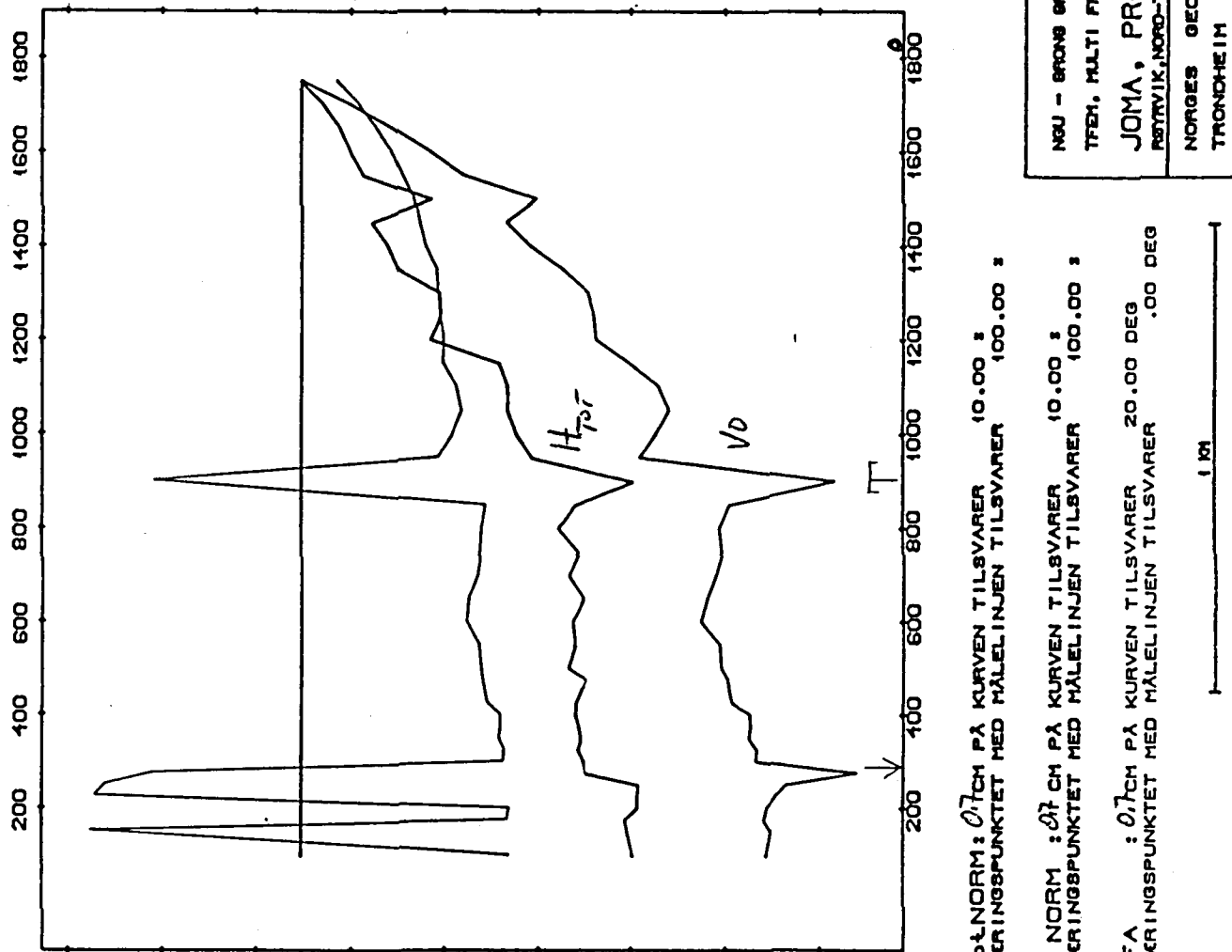
HLOT NORM : 0,7 CM PÅ KURVEN TILSVÄRER 10.00 °
SKJÄRINGSPOKET MED MÄLLEN INJEN TILSVÄRER 100.00 °

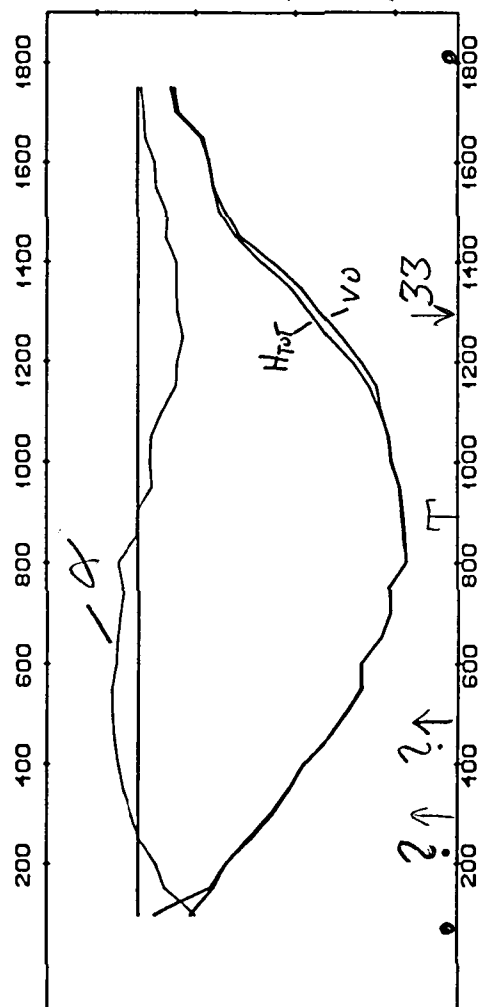
VO NORM : 0,7 CM PÅ KURVEN TILSVÄRER 10.00 °
SKJÄRINGSPOKET MED MÄLLEN INJEN TILSVÄRER 100.00 °

ÅLFA NORM : 0,7 CM PÅ KURVEN TILSVÄRER 20.00 DEG
SKJÄRINGSPOKET MED MÄLLEN INJEN TILSVÄRER .00 DEG

TRONDHEIM 1924 I
1 MA

NORGE - ERONG GRUBER AS TFEN, MULTI FREQUENCY, GROUNDED NORTH JOMA, PROFIL B Rørvik, Nord-Trøndelag	HALSTOK LASSO	OBS. NO	JUNI 1968
	LASSO	TEM.	JUNI 1967
		TRAC.	
		KOM.	
NORGES GEOL OGISKE UNDERSEKELSE	TERMIN. NR.	KARTLAGD NR.	
TRONDHEIM	72	1924 I	





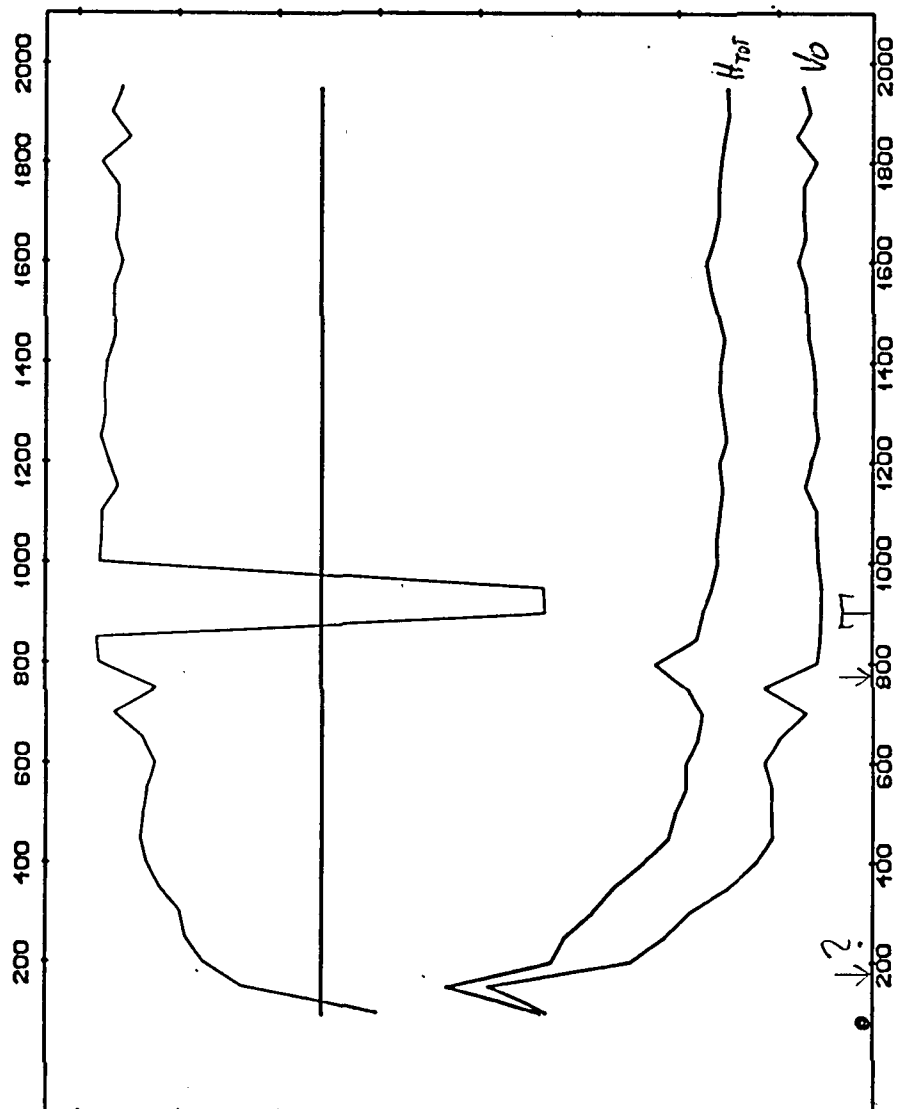
HØYNNORM : CM PÅ KURVEN TILSVARER 10.00³
SKJØRINGSUNKET MED MÅLELINJEN TILSVARER 100.00³

VO NORM : CM PÅ KURVEN TILSVARER 10.00³
SKJØRINGSUNKET MED MÅLELINJEN TILSVARER 100.00³

ALFA : CM PÅ KURVEN TILSVARER 20.00 DEG
SKJØRINGSUNKET MED MÅLELINJEN TILSVARER .00 DEG

1 KM

NGU - GRONG GRUBER A/S TFEN. MULTI FREQUENCY. LOOP JOMA, PROFIL C RØSTVIK, NORD TRONDALAG	MÅLESTOKK	OBS. 80	JUNI 87
	TRAC.	AUG 1987	KPR.
NORGES GELOGISKE UNDERSØKELSE	TERMINAL NR.	KARTBLAD NR.	
TRONDHEIM	74	1924 I	



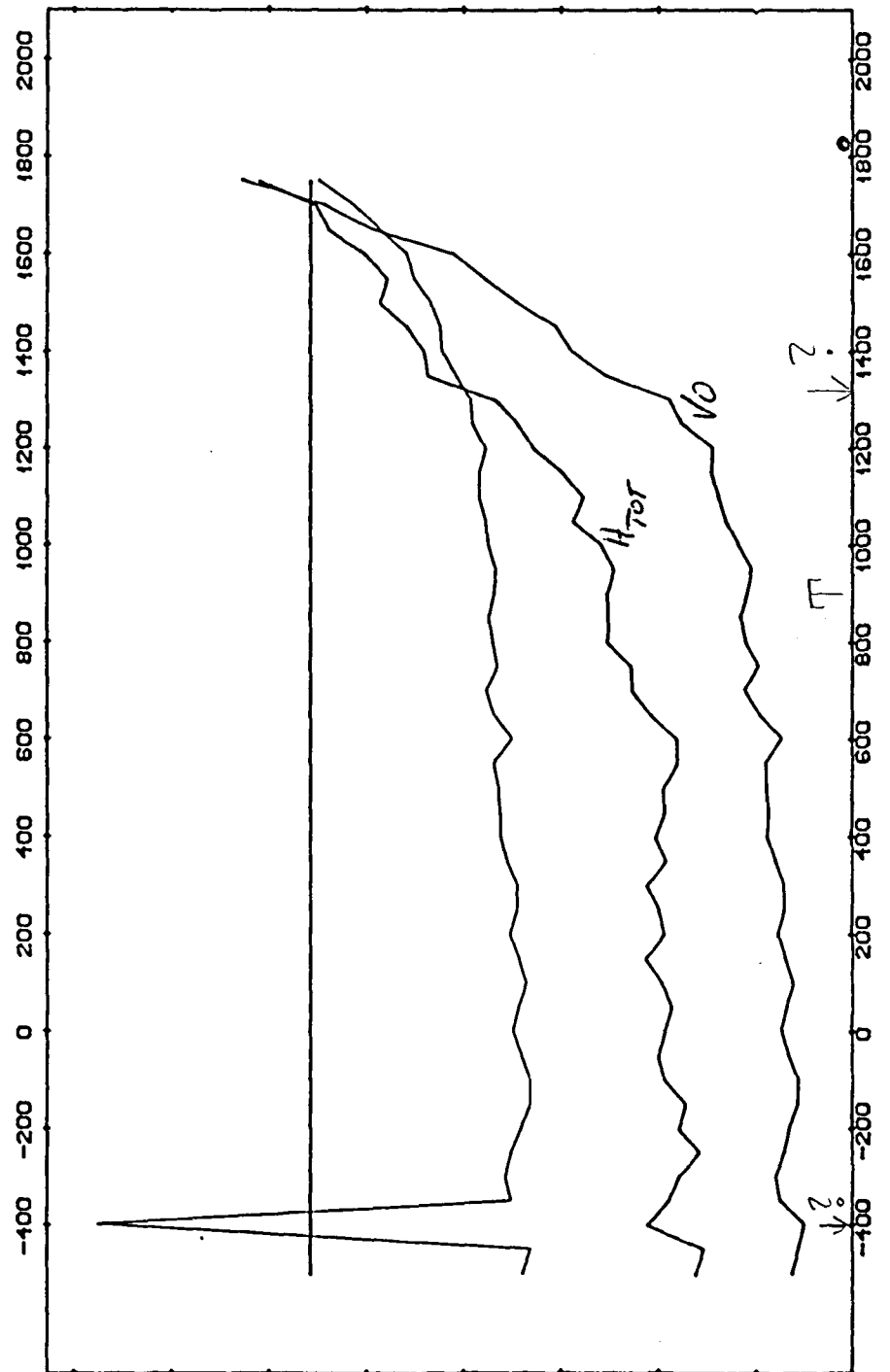
HØYT NORM : 0,7 CM PÅ KURVEN TILSVÄRER 10.00 $\frac{m}{s}$
SKJÄRINGSPOINTET MED MÄLELINJEN TILSVÄRER 100.00 $\frac{m}{s}$

VO NORM : 0,1 CM PÅ KURVEN TILSVÄRER 10.00 $\frac{m}{s}$
SKJÄRINGSPOINTET MED MÄLELINJEN TILSVÄRER 100.00 $\frac{m}{s}$

ALFA : 0,7 CM PÅ KURVEN TILSVÄRER 20.00 DEG
SKJÄRINGSPOINTET MED MÄLELINJEN TILSVÄRER .00 DEG

NUU - GRONG GRUBER AS	HALSTADSK	OMS. 100	JUNI 1966
TFEM. MULTI FREQUENCY. GROUNDED NORTH	HØYDØ	TEM.	ALB 1967
JOMA. PROFIL C	TRÅD.		
RANVIK, NORO-TRENDLA	KOM.		

NORGES GELOGISKE UNDERSEKELSE	TRONDHEIM	KARTLAGD NR.
TRONDHEIM	75	1924 1



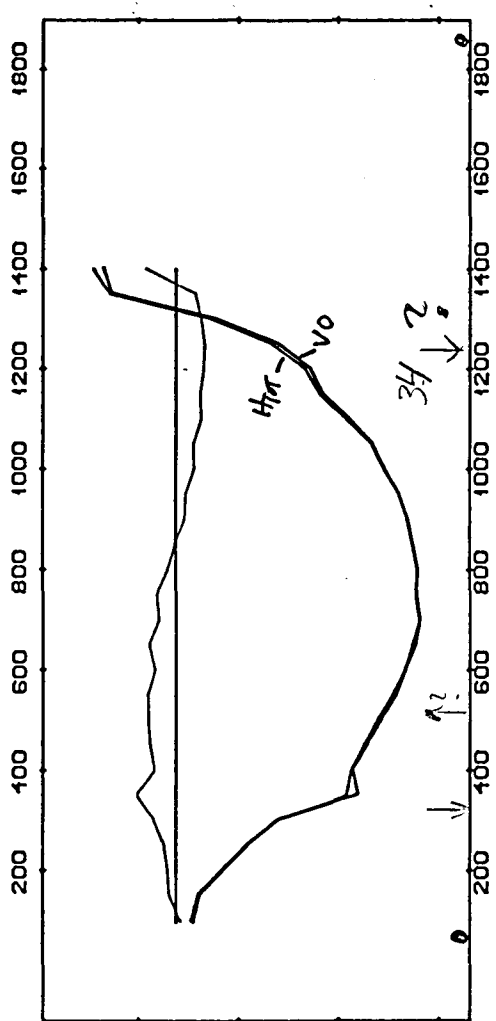
HØYT NORM: 07 CM PÅ KURVEN TILSVARER 10.00 °
SKJÆRINGSPOINDET MED MÅLELINJEN TILSVARER 100.00 °

V0 NORM : 07 CM PÅ KURVEN TILSVARER 10.00 °
SKJÆRINGSPOINDET MED MÅLELINJEN TILSVARER 100.00 °

ALFA : 07 CM PÅ KURVEN TILSVARER 20.00 DEG
SKJÆRINGSPOINDET MED MÅLELINJEN TILSVARER .00 DEG

1 KM

NUU - BRONG BRUBER AS	MÅLESTOKK ÅRENSBO	Dato. 1982 Tidsp. 1987
TTEM. MULTI FREQUENCY, GROUNDED SOUTH	TRAC.	
JOMA, PROFIL C	KPR.	
ØSTVIK, NORD-TRONDHEIM		
NORGES GEOLOGISKE UNDERSEKSE	TRIMING NR.	KARTBLAD NR.
TRONDHEIM	76	1924 1



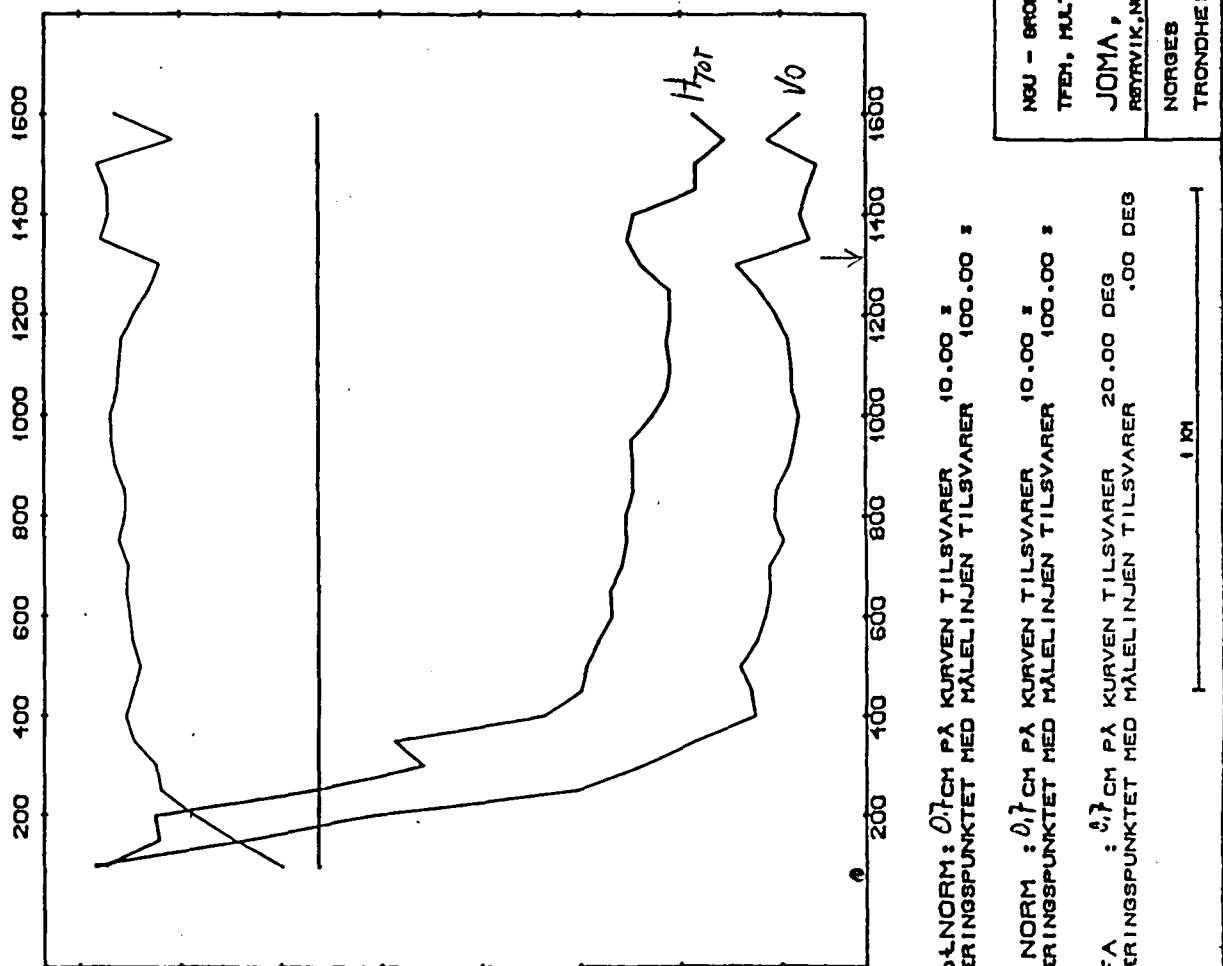
HITNORM : 0.7 CM PÅ KURVEN TILSVARER 10.00 ° SKJØRINGSPOINTE MED MÅLELINJEN TILSVARER 100.00 °

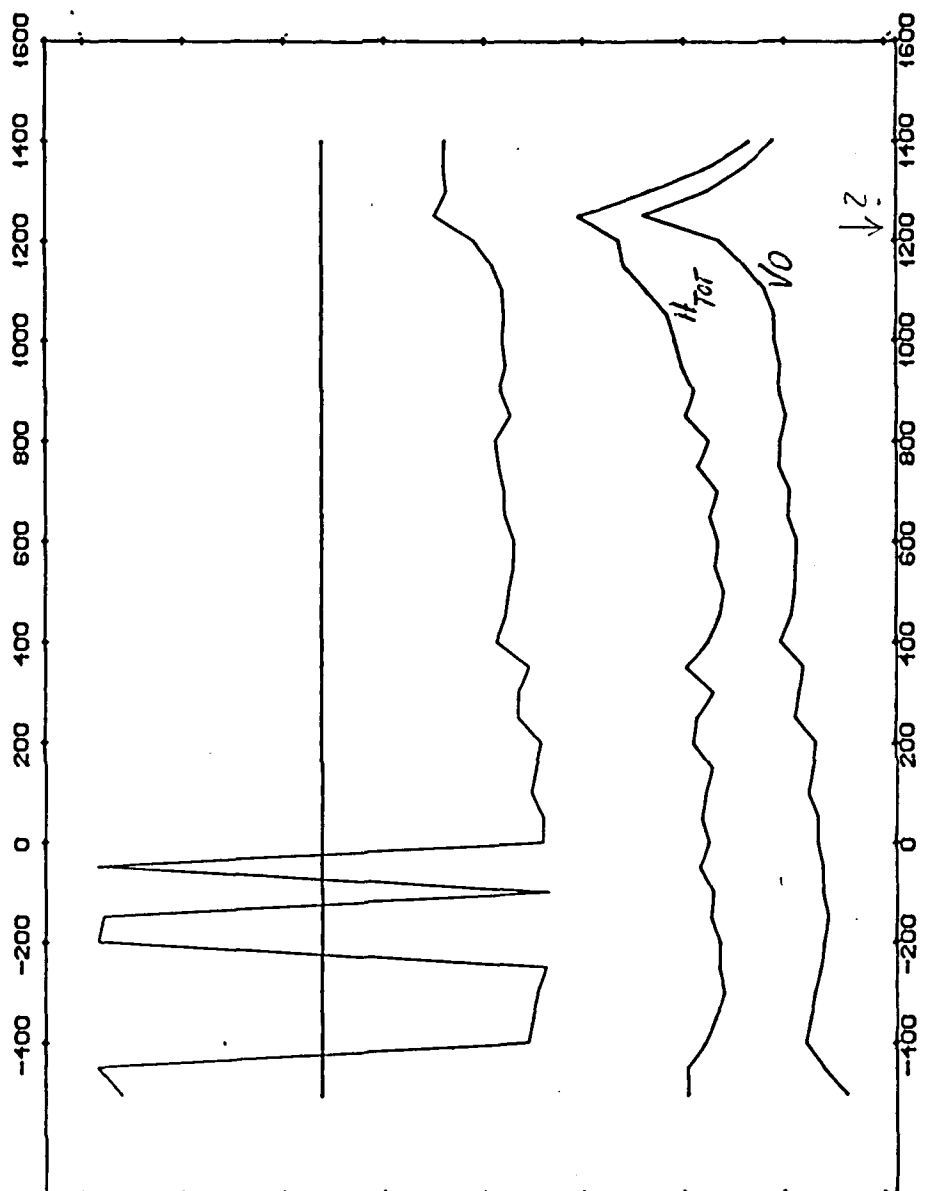
VO NORM : 0.7 CM PÅ KURVEN TILSVARER 10.00 ° SKJØRINGSPOINTE MED MÅLELINJEN TILSVARER 100.00 °

ALFA SKJØRINGSPOINTE : 0.7 CM PÅ KURVEN TILSVARER 20.00 DEG SKJØRINGSPOINTE MED MÅLELINJEN TILSVARER .00 DEG

1 KM

NGU - GRONG GRUBER AS	HALSTAD	OSLO	JANI ST.
TEM. 1	TEM. 1	AUS 1967	
MULTI FREQUENCY.	LOOP		
JOMA, PROFIL D			
RØYVIK, NORD TRØNDALAG			
NORGES GEOLOGISKE UNDERSØKELSE	TERMINO NR.	KARTBLAD NR.	
	7	1924 1	



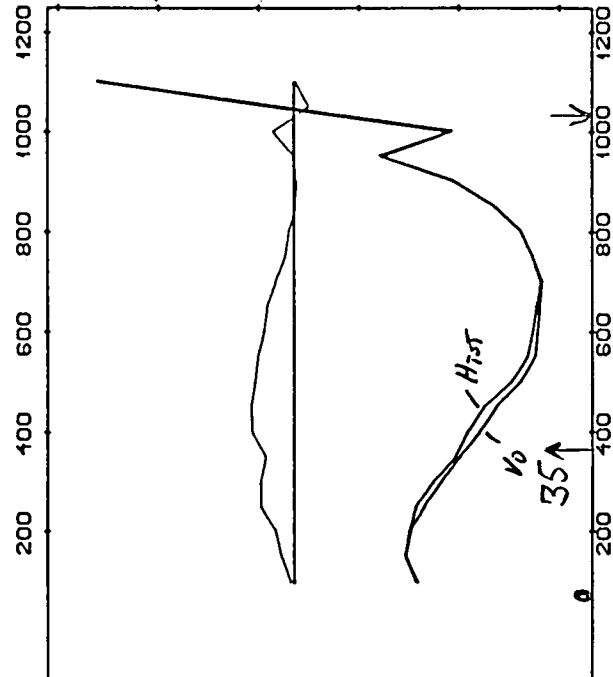


HÅTTNORM: ØTCH PÅ KURVEN TILSVARER 10.00 $\frac{1}{s}$
SKJØRINGSPOINDET MED MÅLELINJEN TILSVARER 100.00 $\frac{1}{s}$

VG NORM: ØTCH PÅ KURVEN TILSVARER 10.00 $\frac{1}{s}$
SKJØRINGSPOINDET MED MÅLELINJEN TILSVARER 100.00 $\frac{1}{s}$

ALFA : ØTCH PÅ KURVEN TILSVARER 20.00 DEG
SKJØRINGSPOINDET MED MÅLELINJEN TILSVARER .00 DEG

NU - BRONS BRUBER A/S	DATA IN	JUNI 1982
	TEM.	ALB 1987
TFEM. MULTI FREQUENCY, GROUNDED SOUTH	DATA OUT	TRAC.
	4-4000Hz	SPR.
JOMA, PROFIL D NORDVIK, NORD-TROMSØLA	DATA IN	KARTLAGD NR.
	UNDERSEKSELSE	79
NORGES GEOL OG ISKE	TRONDHEIM	1924 1

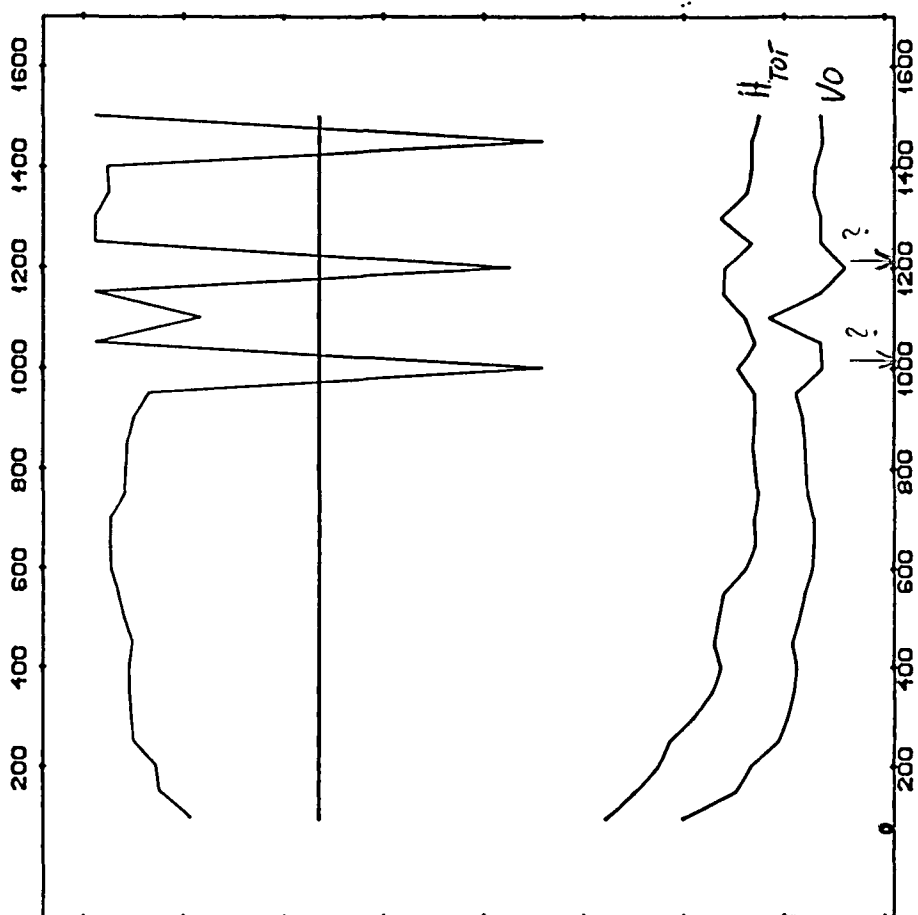


HØTTNORM: CM PÅ KURVEN TILSVÄRER 10.00 x
SKJÄRINGSPOINTET MED MÄLELINJEN TILSVÄRER 100.00 x

VO NORM : CM PÅ KURVEN TILSVÄRER 10.00 x
SKJÄRINGSPOINTET MED MÄLELINJEN TILSVÄRER 100.00 x

ALFA : CM PÅ KURVEN TILSVÄRER 20.00 DEG
SKJÄRINGSPOINTET MED MÄLELINJEN TILSVÄRER .00 DEG

NGU - GRONG GRUBER AS	DEB. NO.	JUNI 87
TFEM, MULTI FREQUENCY, LOOP	TELEM.	AUG 1987
JOMA, PROFIL E	TRAC.	
RØYVIK, NORD TRØNDELAG	NTR.	
NORGES GEOLOGISKE UNDERSØKELSE	TERMINAL NR.	KARTBLAD NR.
TRONDHEIM	80	1924 1

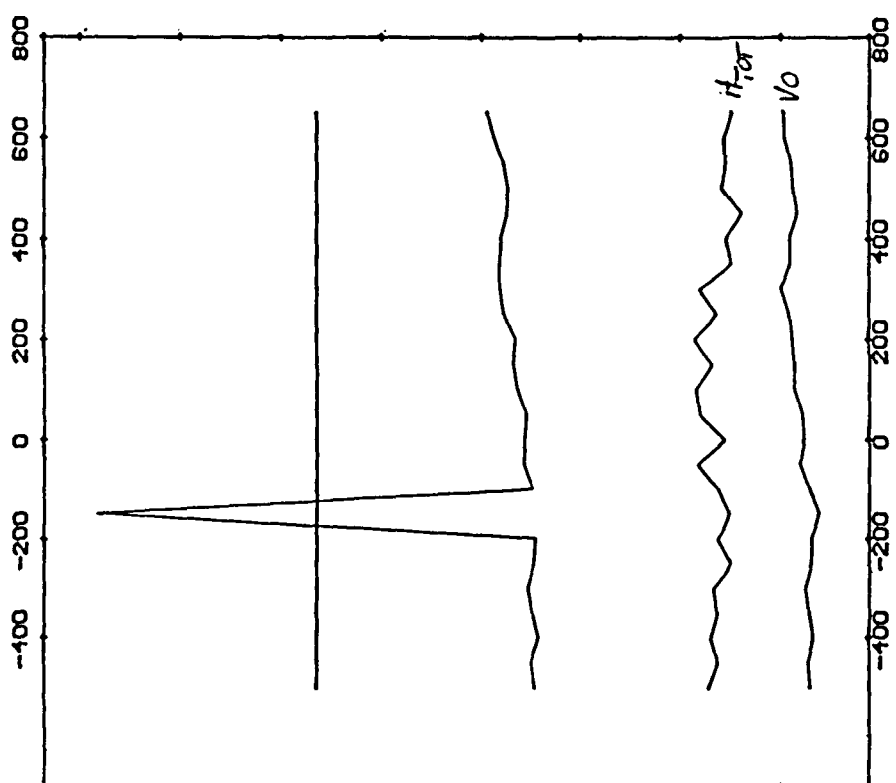


H = 0,7 CM PÅ KURVEN TILSVARER 10.00 S
SKJØRINGSPOINTET MED MÅLELINJEN TILSVARER 100.00 :

V = 0,7 CM PÅ KURVEN TILSVARER 10.00 S
SKJØRINGSPOINTET MED MÅLELINJEN TILSVARER 100.00 :

ALFA : 0,7 CM PÅ KURVEN TILSVARER 20.00 DEG
SKJØRINGSPOINTET MED MÅLELINJEN TILSVARER .00 DEG

NU - GRUND SPUBER A/S	JUNI 1962
TFEM. MULTI FREQUENCY. GROUNDED NORTH	ALB 1967
JOMA, PROFIL E	TRAG.
RETTRIVIK, NORD-TRENDDELAS	1971
NORGES GEOL OG JEGE UNDERSEKELSE	TERMINO NR.
TRONDHEIM	KARTLAGD NR.
	8/
	1924 1



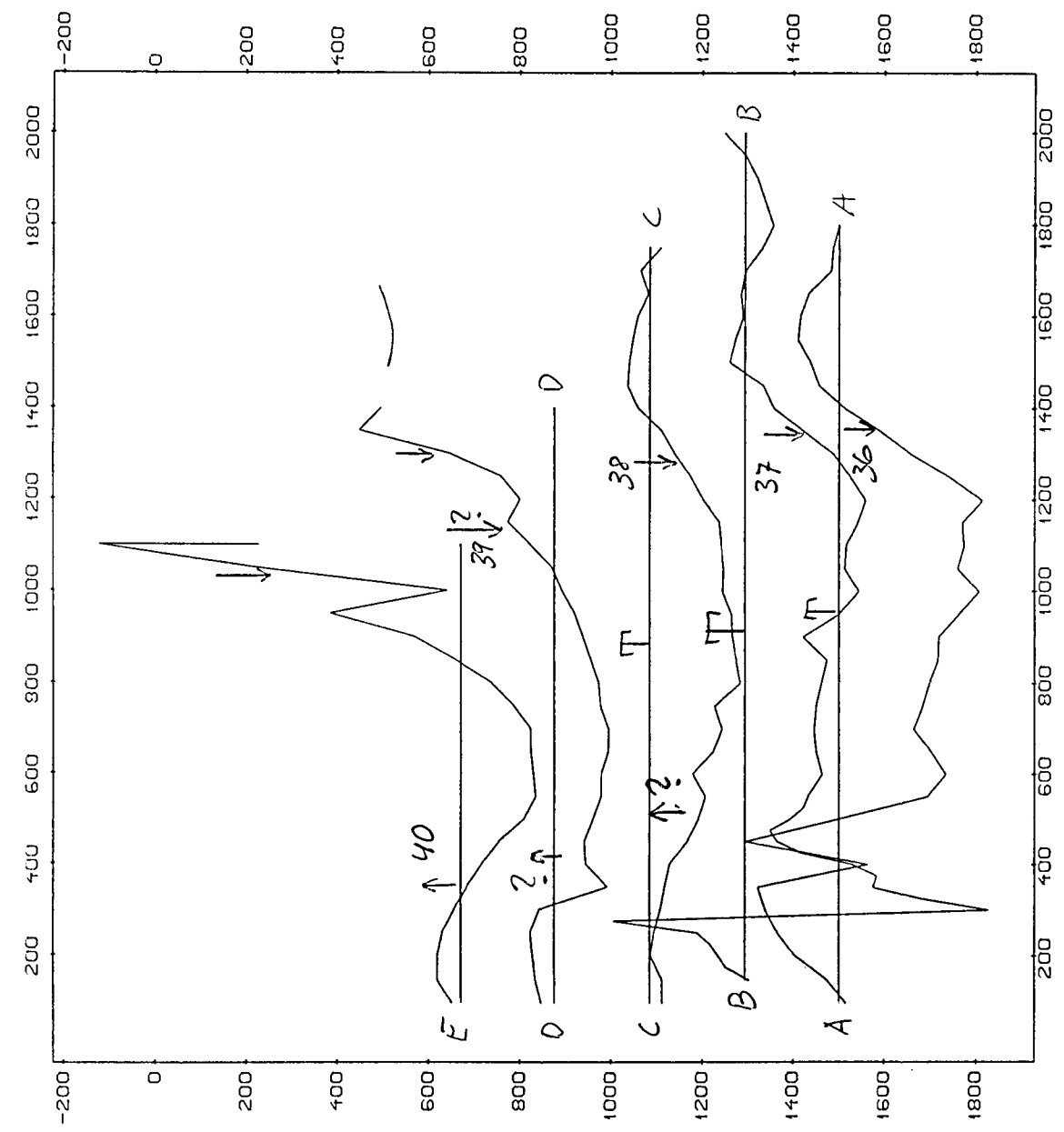
HJØRNORM: 0,7 CM PÅ KURVEN TILSVÄRER 10.00 1
SKJERINGSPUNKTET MED MÅLELINJEN TILSVÄRER 100.00 1

VO NORM : 0,7 CM PÅ KURVEN TILSVÄRER 10.00 1
SKJERINGSPUNKTET MED MÅLELINJEN TILSVÄRER 100.00 1

ALFA : 0,7 CM PÅ KURVEN TILSVÄRER 20.00 DEG
SKJERINGSPUNKTET MED MÅLELINJEN TILSVÄRER 20.00 DEG

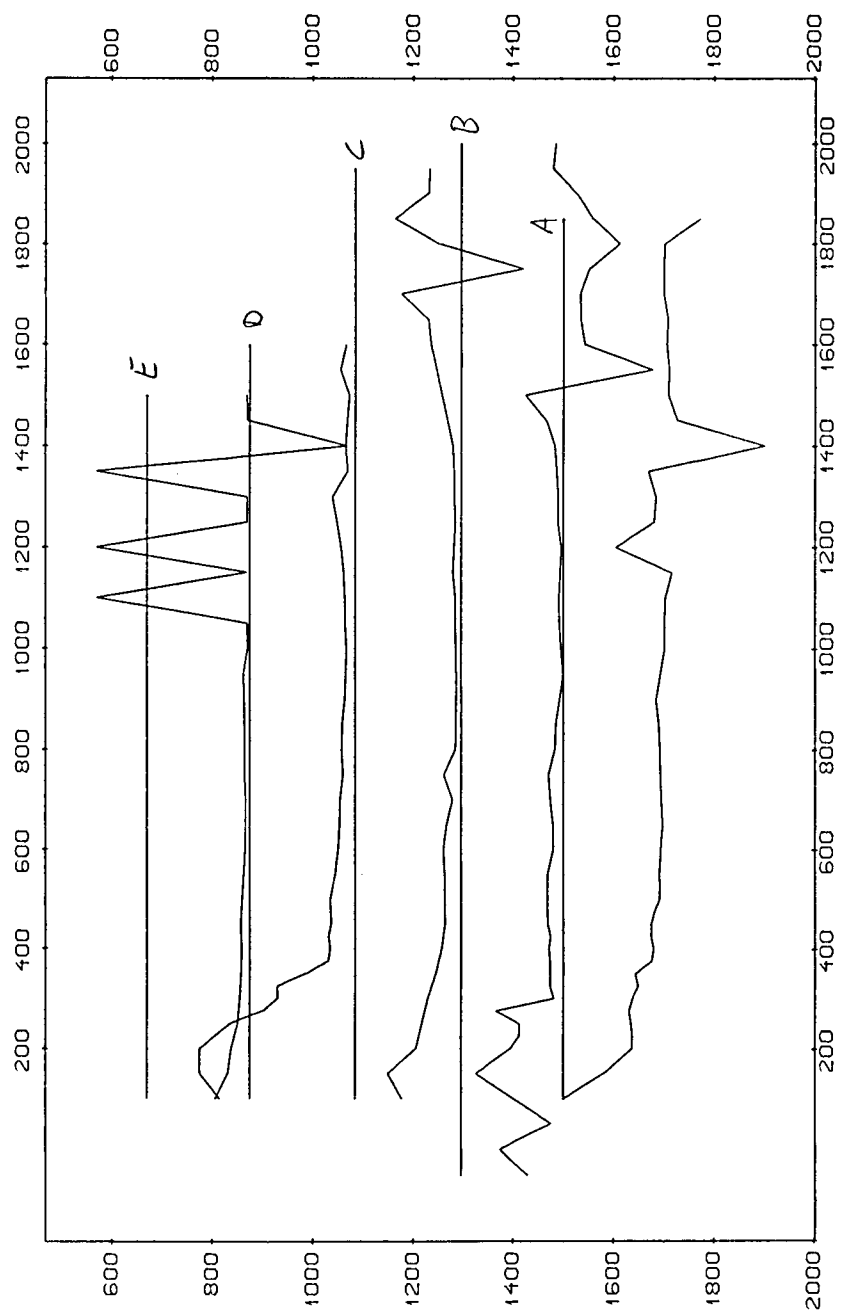
1 KM

NUU - STRØM BRÜBER A/S	DATA NR.	JAN 1981
TENSI. MULTI FREQUENCY. SURROUNDED SOUTH	MÅLESTOKK MÅLENR.	AUG 1981
JOMA, PROFILE E	TRÅD.	
NORTEK, NORO-TRENDELAB	KOM.	
NORGES GEOL OG ISKE UNDERSØKELSE	TERNING NR.	KARTBLAD NR.
TRONDHEIM	82	1924 1



VØ/RØ 25: 1 CM PÅ KURVEN TILSVARER SKJØRINGSPOINTE MED MÅLELINJEN TILSVARER 100.00 *

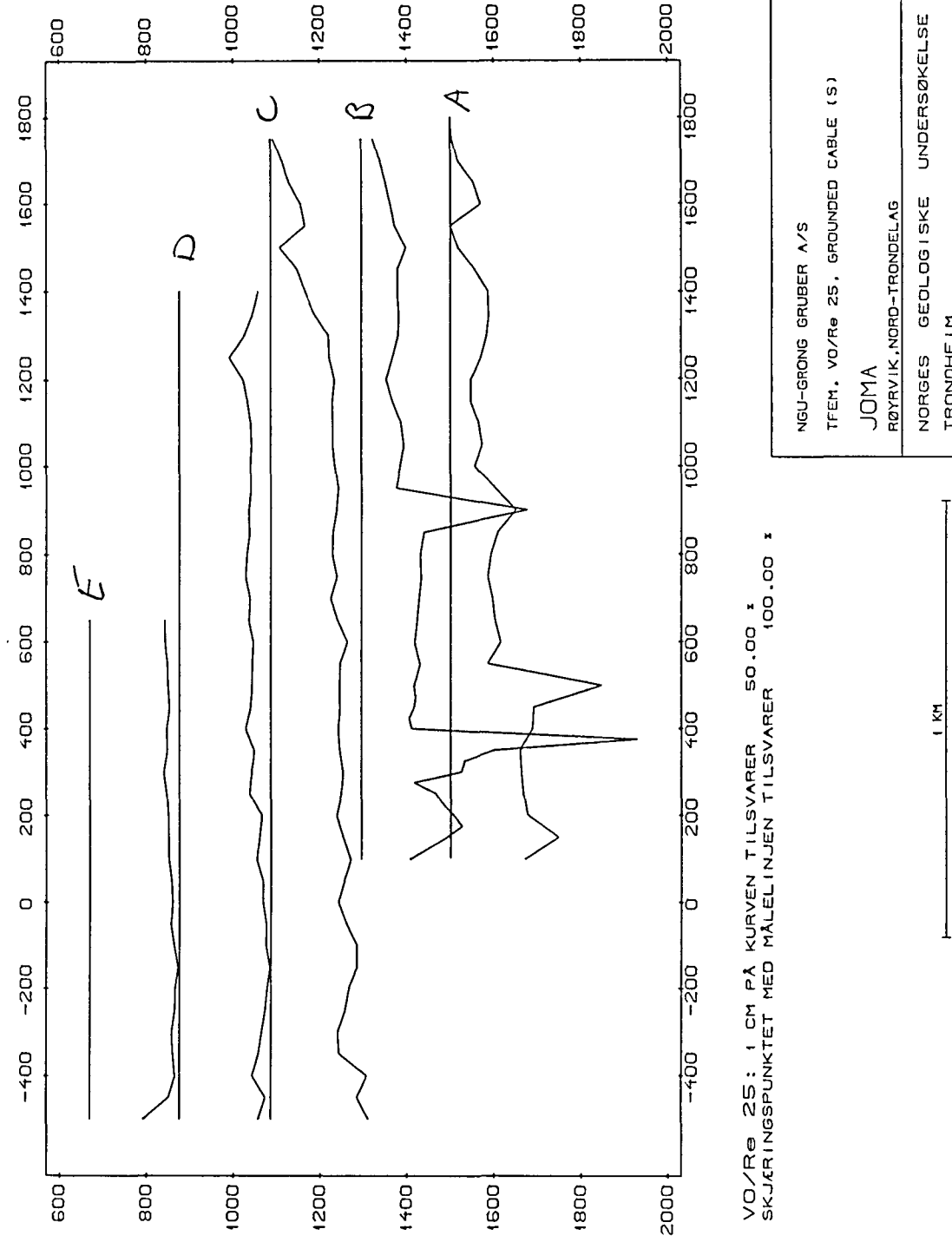
NGU-GRONG GRUBER A/S	MALESSTOKK	OBS. B.G.	JUN. 1981
TFEM. VØ/RØ 25. LOOP	TEGN.	SEP. 1981	
JOMA	1:10000	TRAC.	
ROYRVIK, NORD-TRONDELAG	KFR.		
NORGES GEOLOG ISKE	UNDERØKELSE	TEGNING NR.	KARTRALD NR.
TRONDHEIM		E3	1924 1

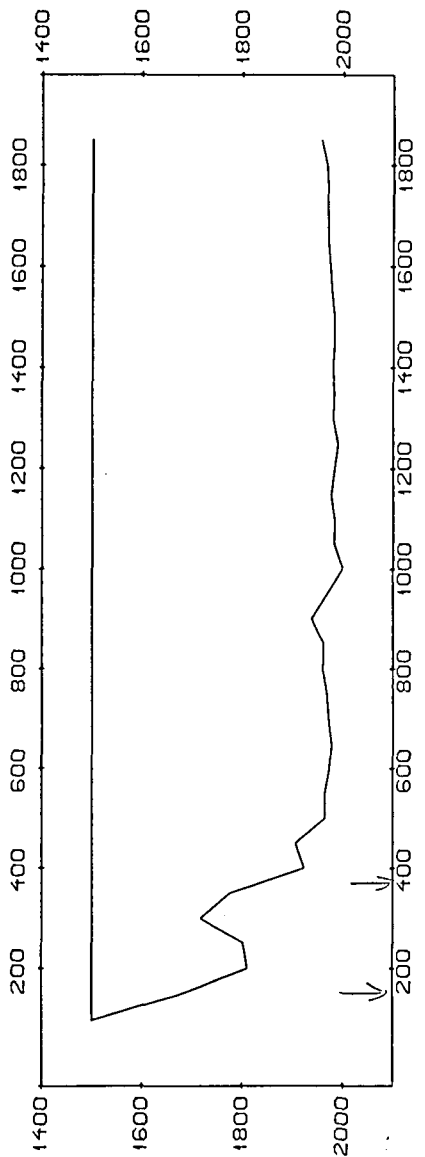


VO/Re 25: 1 CM PÅ KURVEN TILSVARER
SKJØRINGSPOINTET MED MÅLELINJEN TILSVARER 50.00²
100.00¹

NGU-GRØNG GRUBER A/S	MÅLESOKK	OBS. B.G.	JUN 1987
TFEM, VO/Re 25, GROUNDED CABLE (N)	1:10000	TEGN.	SEP 1987
JOMA		TRAC.	
RØYRVIK, NORD-TRONDALAG		KFR.	
NORGES GEOLOGISKE UNDERSØKELSE	REGNING NR.	KARTBLAD NR.	
TRONDHEIM	E4	1924 1	

1 KM

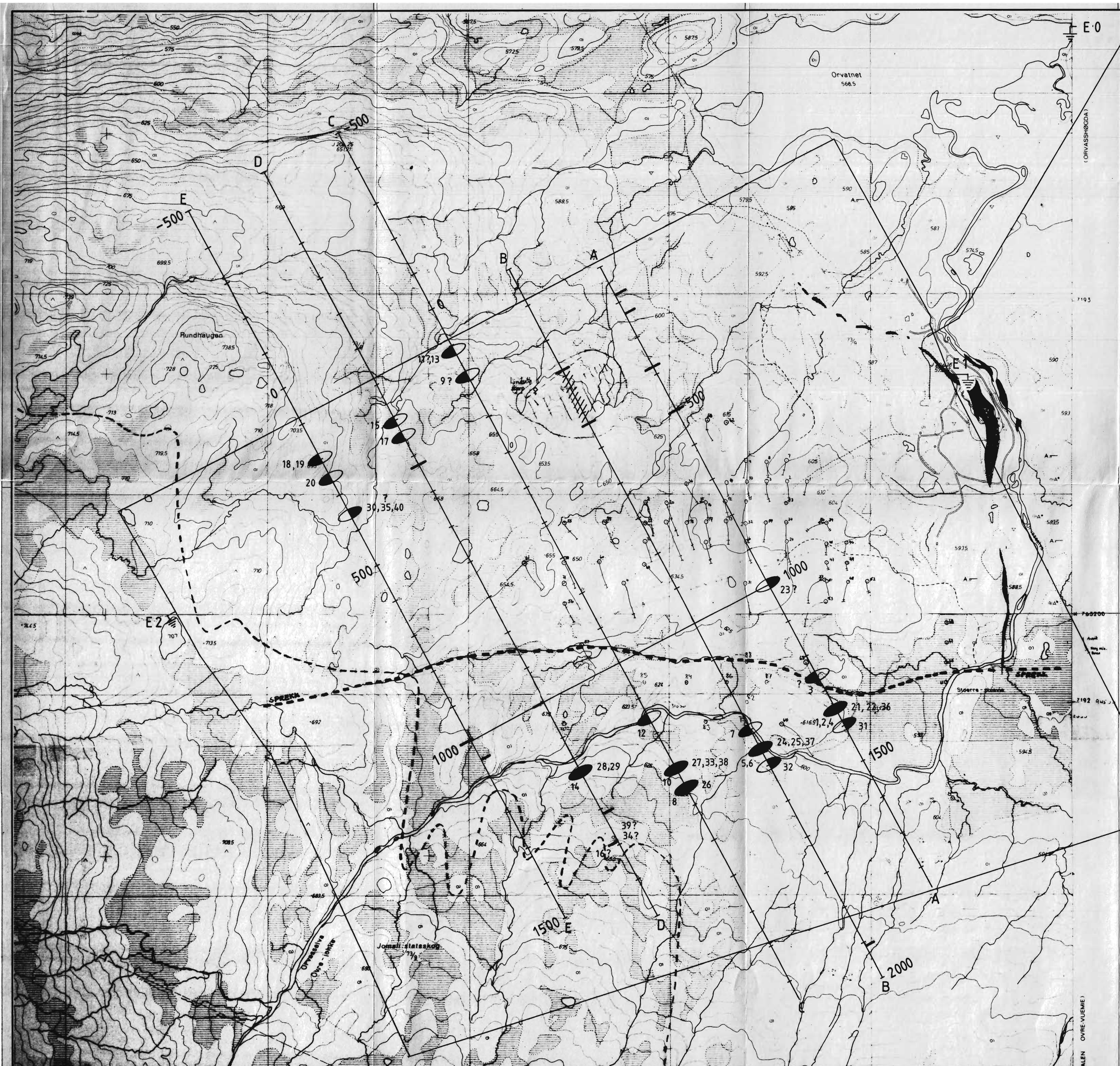




NORGE GELOGISK E UNDERSØKELSE
TRONDHEIM

NGU-GRONG GRUBER A/S	OBS. B.G.	JUN 1987
TFEM, V ₀ /R _e 2S, FREEING GROUNDING	TEGN.	SEP 1987
JOMA	1:10000	TRAC.
ROFRVIK, NORD-TRONDALAG	KFR.	
NORGES GELOGISK E UNDERSØKELSE	TEGNING NR.	KARTBLAD NR.
TRONDHEIM	86	1924 1

1 KM



TEGNFORKLARING

- A — 500 MÅLT PROFIL M/ KOORDINAT
- DYP - ANOMALI I TIDSDOMENET
- DYP - ANOMALI I FREKVENTSDOMENET
- 1, 2, 4 ANOMALI NR. (SE TABELL 3 OG 5)
- GRUNN ANOMALI I TIDSDOMENET
- GRUNN ANOMALI I FREKVENTSDOMENET
- PLATE MED KANTSTRØMMER
- E1 JORDINGSELEKTRODE

NGU - GRONG GRUBER A/S
OVERSIKTS- OG TOLKINGSKART TFEM
JOMA
RØYRVIK, NORD-TRØNDALAG
NORGES GEOLISKE UNDERSØKELSE
TRONDHEIM

MÅLESTOKK	OBS. B.G.	JUNI - 87
1:5000	TEGN. J.S.R.	DES. - 87
	TRAC. T.H.	JAN - 88
	KFR.	—
TEGNING NR.		KARTBLAD NR.
88.016-01		1924 I